



UNIVERSIDADE FEDERAL DE MATO GROSSO – UFMT  
CAMPUS UNIVERSITÁRIO DE VÁRZEA GRANDE  
FACULDADE DE ENGENHARIA  
ENGENHARIA DE COMPUTAÇÃO

**Filipe Chagas Ferraz**

**DLQ - um projeto de linguagem de  
programação declarativa de alto nível  
de abstração para computação quântica**



**Filipe Chagas Ferraz**

**DLQ - um projeto de linguagem de  
programação declarativa de alto nível  
de abstração para computação quântica**

Trabalho de Conclusão de Curso apresentado à  
Faculdade de Engenharia como parte dos requi-  
sitos para a obtenção do título de Bacharel em  
Engenharia de Computação.

Orientador: Ronaldo Luiz Alonso

Coorientador: Frank Eduardo da Silva Steinhoff

Várzea Grande

2023



---

# Resumo

Chagas, Ferraz. **DLQ - um projeto de linguagem de programação declarativa de alto nível de abstração para computação quântica**. 134 p. Trabalho de Conclusão de Curso – Engenharia de Computação, Faculdade de Engenharia, Universidade Federal de Mato Grosso, Brasil, 2023.

Neste trabalho de conclusão de curso, desenvolveu-se uma linguagem de programação declarativa, de alto nível de abstração e de fácil aprendizagem, para a programação de computadores quânticos. A linguagem, batizada como DLQ (*Declarative Language for Quantum*), tem como elementos principais: as variáveis numéricas, os operadores aritméticos, lógicos e relacionais, e por fim, as declarações terminadoras. Ao longo deste trabalho, os circuitos quânticos correspondentes a cada um desses elementos, a gramática da linguagem e o processo de compilação dos códigos são explicados de forma detalhada. Exemplos de código na linguagem e considerações finais sobre o trabalho realizado são apresentados nos últimos capítulos.

**Palavras-chave:** Computação Quântica. Algoritmos Quânticos. Linguagem de Programação. Alto nível de abstração..



---

# Abstract

Chagas, Ferraz. **DLQ - a project of high abstraction level declarative programming language for quantum computing**. 134 p. Undergraduate Dissertation – Computing Engineering, Engineering Faculty, Federal University of Mato Grosso, Brazil, 2023.

In this end-of-course work, a declarative programming language was developed, with a high level of abstraction and easy to learn, for the programming of quantum computers. The language, baptized as DLQ (Declarative Language for Quantum), has as main elements: numerical variables; arithmetic, logical and relational operators; and finally, terminator statements. Throughout this paper, the quantum circuits corresponding to each of these elements, the grammar of the language, and the process of compiling the codes are explained in detail. Code examples in the language and final considerations about the work done are presented in the last chapters.

**Keywords:** Quantum Computing. Quantum Algorithms. Programming Language. High Abstraction Level..





---

## Lista de ilustrações

Figura 1 – Esfera de Bloch (Figura extraída de Wikimedia Commons, de autoria de Smite-Meister, sob licença CC BY-SA 3.0 < <a href="https://creativecommons.org/licenses/by-sa/3.0/">https://creativecommons.org/licenses/by-sa/3.0/</a> >)	22
Figura 2 – Estados canônicos na esfera de Bloch (Figura extraída de Wikimedia Commons, de autoria de Kevin Garapo, Mhlambululi Mafu e Francesco Petruccione, sob licença CC BY-SA 4.0 < <a href="https://creativecommons.org/licenses/by-sa/4.0/">https://creativecommons.org/licenses/by-sa/4.0/</a> >).	22
Figura 3 – Simbologia das portas lógicas quânticas em circuitos quânticos (figura extraída de Wikimedia Commons, de autoria de Rxtreme, sob licença CC BY-SA 4.0 < <a href="https://creativecommons.org/licenses/by-sa/4.0/">https://creativecommons.org/licenses/by-sa/4.0/</a> >)	28
Figura 4 – Circuito quântico que gera um estado Bell	29
Figura 5 – Decomposição da porta lógica quântica Toffoli (figura extraída de Wikimedia Commons, de autoria de Geek3, sob licença CC BY-SA 4.0 < <a href="https://creativecommons.org/licenses/by-sa/4.0/">https://creativecommons.org/licenses/by-sa/4.0/</a> >)	29
Figura 6 – Porta genérica com <i>qubit</i> de controle negado	29
Figura 7 – As três operações lógicas ( <i>not</i> , <i>and</i> e <i>or</i> ), e seus respectivos circuitos quânticos equivalentes.	32
Figura 8 – Circuito quântico de uma QFT de 3 <i>qubits</i>	33
Figura 9 – Circuito quântico do somador registrador-por-constante	33
Figura 10 – Circuito quântico de um somador registrador-por-registrador	36
Figura 11 – Exemplo de circuito quântico multiplicador que faz o mapeamento $ \phi(\mathbf{0}), \mathbf{b}, \mathbf{a}\rangle \mapsto  \phi(\mathbf{ab}), \mathbf{b}, \mathbf{a}\rangle$	37
Figura 12 – Exemplo de circuito quântico de potenciação que faz o mapeamento $ \phi(\mathbf{0}), \mathbf{a}\rangle \mapsto  \phi(\mathbf{a}^2), \mathbf{a}\rangle$	37
Figura 13 – Circuito quântico da operação de igualdade, onde $ r\rangle$ é o resultado	38
Figura 14 – Circuito quântico do operador menor-que, modo registrador-por-registrador	39
Figura 15 – Circuito quântico do operador menor-que, modo registrador-por-constante	40
Figura 16 – Circuito quântico do operador maior-que, modo registrador-por-constante	40

Figura 17 – Implementação do operador de difusão de Grover em forma de circuito quântico. . . . .	41
Figura 18 – Exemplo de oráculo que marca as soluções da expressão $2a + b = 7$ . . .	42
Figura 19 – Representação diagramática da hierarquia de Chomsky. Imagem retirada de Wikimedia Commons, de autoria de Ricardo Ferreira de Oliveira, sob licença CC BY-SA 3.0 < <a href="https://creativecommons.org/licenses/by-sa/3.0/">https://creativecommons.org/licenses/by-sa/3.0/</a> > . . . . .	47
Figura 20 – Árvore resultante da análise da frase "Fulano é cuiabano" de acordo com uma gramática livre de contexto . . . . .	49
Figura 21 – Diagrama de classes do módulo <b>ast</b> . . . . .	54
Figura 22 – Ilustração da transformação de uma AST em um circuito quântico para resolver uma expressão . . . . .	56
Figura 23 – Circuito quântico resultante da compilação do código fonte do exemplo 1 (atente-se à numeração das partes) . . . . .	72
Figura 24 – Circuito quântico resultante da compilação do código fonte do exemplo 2 (atente-se à numeração das partes) . . . . .	73

---

## Lista de tabelas

Tabela 1	–	Tabela-verdade da porta <i>Controlled-NOT</i>	27
Tabela 2	–	Dicionário de símbolos e expressões regulares do <i>DLQpiler</i>	48
Tabela 3	–	Tabela de precedência da linguagem DLQ	50
Tabela 4	–	Tabela de resultados do exemplo 1	58
Tabela 5	–	Tabela de resultados do exemplo 2	59



---

## Lista de siglas

**AST** *Abstract Syntax Tree*

**DLQ** *Declarative Language for Quantum*

**GAS** *Grover Adaptive Search*

**NISQ** *Noisy Intermediate-Scale Quantum*

**QAOA** *Quantum Approximate Optimization Algorithm*

**SIMD** *"Single Instruction, Multiple Data"*

**TCC** *trabalho de conclusão de curso*

**TRL** *Technology Readiness Level*



---

# Sumário

<b>1</b>	<b>INTRODUÇÃO . . . . .</b>	<b>15</b>
<b>1.1</b>	<b>Visão geral . . . . .</b>	<b>15</b>
<b>1.2</b>	<b>Organização . . . . .</b>	<b>16</b>
<b>2</b>	<b>INTRODUÇÃO À COMPUTAÇÃO QUÂNTICA . . . . .</b>	<b>19</b>
<b>2.1</b>	<b>Por que usar computação quântica? . . . . .</b>	<b>19</b>
<b>2.2</b>	<b><i>Qubits</i> . . . . .</b>	<b>20</b>
2.2.1	Definição . . . . .	20
2.2.2	Representação gráfica . . . . .	21
<b>2.3</b>	<b>Registradores quânticos . . . . .</b>	<b>22</b>
<b>2.4</b>	<b>Emaranhamento quântico . . . . .</b>	<b>24</b>
<b>2.5</b>	<b>Portas lógicas quânticas . . . . .</b>	<b>24</b>
2.5.1	Matrizes de Pauli . . . . .	25
2.5.2	Hadamard . . . . .	25
2.5.3	$S$ e $T$ . . . . .	26
2.5.4	$R_x(\theta)$ , $R_y(\theta)$ e $R_z(\theta)$ . . . . .	26
2.5.5	<i>Controlled-NOT</i> e demais portas controladas . . . . .	26
<b>2.6</b>	<b>Circuitos quânticos . . . . .</b>	<b>27</b>
<b>3</b>	<b>OPERAÇÕES LÓGICAS, ARITMÉTICAS E RELACIONAIS EM COMPUTAÇÃO QUÂNTICA . . . . .</b>	<b>31</b>
<b>3.1</b>	<b>Operações lógicas . . . . .</b>	<b>31</b>
<b>3.2</b>	<b>Transformada de Fourier Quântica (QFT) . . . . .</b>	<b>32</b>
<b>3.3</b>	<b>Operações aritméticas . . . . .</b>	<b>33</b>
3.3.1	Soma e subtração registrador-por-constante . . . . .	33
3.3.2	Soma registrador-por-registrador . . . . .	36
3.3.3	Multiplicação e potenciação . . . . .	36
<b>3.4</b>	<b>Operações relacionais . . . . .</b>	<b>37</b>

3.4.1	Igualdade e não-igualdade . . . . .	37
3.4.2	Maior-que e menor-que . . . . .	38
3.5	Soluções de problemas com o algoritmo Grover . . . . .	40
4	IMPLEMENTAÇÃO DO COMPILADOR . . . . .	45
4.1	Paradigma . . . . .	46
4.2	Gramática . . . . .	47
4.2.1	Gramáticas regulares e análise léxica . . . . .	47
4.2.2	Gramáticas livre de contexto e análise sintática . . . . .	48
4.3	Estrutura do compilador . . . . .	50
4.4	Processo de síntese de circuito quântico . . . . .	55
5	EXEMPLOS DE CÓDIGO . . . . .	57
5.1	Exemplo 1 - satisfatibilidade booleana . . . . .	57
5.2	Exemplo 2 - fatoração prima . . . . .	58
6	CONSIDERAÇÕES FINAIS . . . . .	61
	REFERÊNCIAS . . . . .	65

## ANEXOS 69

ANEXO A	–	CIRCUITOS QUÂNTICOS DOS EXEMPLOS . . .	71
ANEXO B	–	CÓDIGO FONTE DO DLQPILER . . . . .	75
B.1		Módulo <i>utils.py</i> . . . . .	75
B.2		Módulo <i>qunits.py</i> . . . . .	76
B.3		Módulo <i>lexer.py</i> . . . . .	89
B.4		Módulo <i>parser.py</i> . . . . .	91
B.5		Módulo <i>ast.py</i> . . . . .	98
B.6		Módulo <i>synth.py</i> . . . . .	127
B.7		Módulo <i>main.py</i> . . . . .	133



---

# Introdução

## 1.1 Visão geral

Computação Quântica é uma área em ascensão que visa o desenvolvimento de artifícios baseados em mecânica quântica para a resolução de problemas computacionais. Esta área tem vivenciado um crescimento abrupto de interesse e atividade industrial (PRESKILL, 2018), e grandes empresas como IBM, Google, Microsoft e Intel competem por posições relevantes nela (HUANG et al., 2020).

Embora o “*boom*” de interesse e atividade industrial seja recente, como apontado por Preskill (2018), o início do desenvolvimento desta área não é. No início da década de 1980, Benioff (1982) apresentou um modelo quântico de máquina de Turing. Paralelamente, Feynman (1982) abordou a possibilidade de simular sistemas quânticos utilizando máquinas quânticas hipotéticas, as quais foram chamadas de computadores quânticos ou simuladores quânticos universais pelo mesmo. Posteriormente, Deutsch (1985) apresentou um modelo de computador quântico universal que era a realização do computador quântico hipotético de Feynman, argumentando que a máquina de Turing quântica proposta por Benioff não apresentava vantagens computacionais em relação às máquinas de Turing tradicionais. Na década de 1990, diversos algoritmos para esta classe de computadores foram propostos. Dentre eles, destacam-se o algoritmo de Deutsch e Jozsa (1992), que foi criado para demonstrar que há problemas matemáticos que um computador quântico pode resolver de forma mais eficiente do que um clássico; o algoritmo de Shor (1997), criado para decompor números inteiros grandes em produtos de números primos em tempo polinomial; e o algoritmo de Grover (1996), um rápido algoritmo de busca capaz de resolver problemas NP-completos de satisfatibilidade com aceleração quadrática. Dentre as aplicações introduzidas no século XXI, destacam-se os passeios quânticos (CHILDS et al., 2003), o algoritmo quântico de otimização aproximada (FARHI; GOLDSTONE; GUTMANN, 2014) e o aprendizado de máquina quântico (LLOYD; MOHSENI; REBENTROST, 2013).

A construção de computadores quânticos reais (físicos) não se dá por um único ca-

minho. Há diversas formas de armazenar e processar dados fisicamente em sistemas quânticos. Atualmente, destacam-se três tecnologias utilizadas para construir hardware quântico: supercondução (HUANG et al., 2020), armadilha de íons (HÄFFNER; ROOS; BLATT, 2008) e sistemas óticos lineares (KOK et al., 2007).

Os computadores quânticos da era atual, a qual Preskill (2018) chama de *Noisy Intermediate-Scale Quantum* (NISQ), possuem limitações consideráveis. Computadores quânticos NISQ têm poucos *qubits*, o que é análogo a dizer que têm pouca memória; têm altos níveis de ruído, o que significa que os resultados que estes computadores dão têm altos índices de erro; e não são capazes de executar grandes quantidades de operações devido ao ruído. No entanto, diversos estudos sobre correção e mitigação de erros criam perspectivas para uma futura era de computadores quânticos tolerantes a falhas (AHARONOV; BEN-OR, 1997) (PRESKILL, 1997).

Os algoritmos quânticos, que inicialmente eram descritos de forma puramente teórica, atualmente podem ser implementados com o auxílio de ferramentas como Q#, Qiskit, Cirq, Quipper e Scaffold (HEIM et al., 2020). Todas essas ferramentas requerem conhecimentos razoáveis em matemática e física ao programador, já que não provêm níveis de abstração altos ao ponto de “esconder” as bases em mecânica quântica. Neste trabalho de conclusão de curso (TCC), foi desenvolvida uma nova linguagem de programação com o intuito de resolver parcialmente este problema. A linguagem, batizada como *Declarative Language for Quantum* (DLQ), é entendível para programadores que não conhecem mecânica quântica, e pode ser utilizada para resolver problemas de satisfatibilidade envolvendo operações aritméticas, lógicas e relacionais básicas. Esta classe de problemas pode ser descrita pela seguinte sentença: considerando uma função  $f : \mathbb{N}^n \mapsto \mathbb{B}$ , onde  $\mathbb{B}$  é o conjunto booleano ( $\mathbb{B} = \{0, 1\}$ ), encontre uma  $n$ -upla  $(x_1, x_2, \dots, x_n) \in \mathbb{N}^n$  que satisfaça  $f(x_1, x_2, \dots, x_n) = 1$ . A solução desses problemas com computação quântica é concebida através da implementação das operações aritméticas, lógicas e relacionais como circuitos quânticos (que são explicados mais adiante), e da aplicação do algoritmo de busca de Grover (que também é explicado mais adiante).

No estágio atual de desenvolvimento da linguagem, há suporte apenas para algumas (poucas) operações com números naturais, mas esta limitação pode ser superada no futuro implementando as mesmas operações (e mais outras) para números inteiros, usando notação de complemento de 2, e números com ponto flutuante, talvez usando a norma IEEE 754.

## 1.2 Organização

Esta monografia está organizada da seguinte forma:

- O capítulo 2 aborda conceitos básicos de computação quântica: *qubits*, estados de Bell, portas lógicas quânticas e circuitos quânticos.

- ❑ No capítulo 3, as implementações das operações lógicas (*not*, *and* e *or*), aritméticas (soma, subtração, multiplicação e potenciação) e relacionais ( $=$ ,  $>$ , e  $<$ ) para computadores quânticos são apresentadas. Além disso, o algoritmo de busca de Grover, bem como a forma como este algoritmo é usado para resolver problemas de satisfatibilidade, é explicado.
- ❑ No capítulo 4, a implementação do compilador de DLQ – o *DLQpiler* – é abordada.
- ❑ No capítulo 5, dois exemplos de aplicação simples da linguagem DLQ, e seus resultados em ambiente simulado, são apresentados.
- ❑ No capítulo 6, considerações finais sobre o trabalho realizado são feitas.



---

## Introdução à computação quântica

### 2.1 Por que usar computação quântica?

A principal vantagem que esta classe de computadores apresenta é o **paralelismo quântico**. Uma comparação com a computação clássica pode esclarecer o conceito de paralelismo quântico: computadores clássicos com instruções do tipo "*Single Instruction, Multiple Data*" (SIMD) são capazes de processar múltiplas tuplas de dados com uma única instrução, e eles o fazem dispondo essas tuplas para serem processadas paralelamente por múltiplos co-processadores (LEE, 1995). Computadores quânticos são dotados de um potencial semelhante de processamento paralelo. Na verdade, o poder de processamento paralelo dos computadores quânticos é significativamente maior do que o de computadores clássicos com instruções SIMD, porém, este paralelismo não é concebido nem usado da mesma forma em ambos os tipos de computador.

A diferença mais básica entre os dois tipos de computador (clássico e quântico) está no tipo de informação que estes processam: computadores clássicos processam informação clássica, e computadores quânticos processam informação quântica. Computadores clássicos armazenam informações em sequências de *bits*. Um *bit* é um termo binário, que vale 0 ou 1. Com uma sequência de  $N$  *bits*, é possível obter  $2^N$  diferentes combinações de 0s e 1s. Por outro lado, computadores quânticos armazenam informações em sequências de *qubits* (*bits* quânticos), que podem valer 0, 1, ou ambos os valores simultaneamente. Enquanto uma sequência de  $N$  *bits* só pode assumir uma das  $2^N$  possíveis combinações de 0s e 1s por vez, uma sequência de  $N$  *qubits* pode assumir várias ao mesmo tempo, e este fenômeno é conhecido como **superposição quântica**. Além disso, a forma como o processamento dessas informações é feito também difere em ambas as formas de computação: computadores clássicos processam *bits* utilizando portas lógicas *not*, *and*, *or* e *xor*, enquanto computadores quânticos processam *qubits* utilizando portas lógicas quânticas, que são operadores lineares unitários. Estes operadores são distributivos, o que significa que, quando são aplicados a *qubits* em superposição, todas as informações superpostas são processadas paralelamente (ao mesmo tempo), e esta capacidade de processamento

paralelo de informações superpostas é o chamado paralelismo quântico.

Ao longo deste capítulo, conceitos básicos de computação quântica serão explicados de forma detalhada, tomando como base, principalmente, a obra de Nielsen e Chuang (2000), bem como outras que também são citadas.

## 2.2 Qubits

### 2.2.1 Definição

Como já mencionado na seção 2.1, *qubits* são *bits* quânticos. Fisicamente, *qubits* são concebidos como sistemas quânticos de dois níveis, como fótons polarizados e partículas de spin-1/2 (D’ALESSANDRO; DAHLEH, 2001). Algebricamente, o estado de um *qubit* é definido como:

$$|\psi\rangle = w_0|0\rangle + w_1|1\rangle, \quad \|w_0\|^2 + \|w_1\|^2 = 1 \quad (1)$$

onde  $|0\rangle$  e  $|1\rangle$  são vetores ortonormais em  $\mathbb{C}^2$  que representam os estados independentes do sistema de dois níveis. Esses vetores são:

$$|0\rangle = \begin{bmatrix} 1 \\ 0 \end{bmatrix}, \quad |1\rangle = \begin{bmatrix} 0 \\ 1 \end{bmatrix} \quad (2)$$

O símbolo  $|\cdot\rangle$  é denominado *ket*. Um *ket* é uma notação de Dirac que representa um estado quântico (um vetor ou uma função de onda) associado a um símbolo ou valor numérico. Os vetores  $\begin{bmatrix} 1 \\ 0 \end{bmatrix}$  e  $\begin{bmatrix} 0 \\ 1 \end{bmatrix}$  são estados quânticos associados a, respectivamente, 0 e 1, e por este motivo são grafados como  $|0\rangle$  e  $|1\rangle$ . Também existe a notação  $\langle\cdot|$ , denominada *bra*, que representa a transposta conjugada de  $|\cdot\rangle$ , e a notação  $\langle\cdot|\cdot\rangle$ , chamada *braket*, que representa um produto interno de dois vetores pertencentes a um espaço vetorial  $\mathbb{C}^n$  ou duas funções pertencentes a um espaço de Hilbert.

Como também já foi dito na seção 2.1, um *qubit* pode assumir os valores 0, 1, ou ambos simultaneamente através do fenômeno da superposição. Na eq. 1, o *qubit* vale 0 quando  $(w_0, w_1) = (1, 0)$ , ou seja,  $|\psi\rangle = |0\rangle$ ; e vale 1 quando  $(w_0, w_1) = (0, 1)$ , ou seja,  $|\psi\rangle = |1\rangle$ . A superposição dos valores 0 e 1 ocorre quando ambos os pesos  $w_0$  e  $w_1$  são diferentes de zero.

Quando o estado de um *qubit* em superposição é aferido experimentalmente, ocorre um fenômeno conhecido como **colapso do estado quântico** ou **colapso da função de onda**, que faz com que o estado se manifeste de forma indeterminística como 0 ou 1. Nessa aferição, a probabilidade do valor 0 ser observado é  $\|w_0\|^2$ , e a probabilidade do valor 1 ser observado é  $\|w_1\|^2$ . Desse modo, o colapso do estado  $|\psi\rangle$  (eq. 1) pode ser interpretado como uma variável aleatória de alfabeto  $\Omega_\psi = \{0, 1\}$  e probabilidades  $P_\psi(0) = \|w_0\|^2$  e  $P_\psi(1) = \|w_1\|^2$ .

Em geral, o estado  $|\psi\rangle$  de um *qubit* é uma combinação linear de dois estados independentes  $|s_0\rangle \in \mathbb{C}^2$  e  $|s_1\rangle \in \mathbb{C}^2$ , o que significa que  $\{|s_0\rangle, |s_1\rangle\}$  é uma base do espaço de estados de um *qubit* para qualquer par L.I. ( $|s_0\rangle, |s_1\rangle$ ). O conjunto  $\{|0\rangle, |1\rangle\}$  é conhecido como **base computacional**. Existem infinitas outras bases. Outros dois exemplos de bases são  $\{|+\rangle, |-\rangle\}$  e  $\{|i\rangle, |-i\rangle\}$ , onde:

$$|+\rangle = \frac{|0\rangle + |1\rangle}{\sqrt{2}} \quad (3)$$

$$|-\rangle = \frac{|0\rangle - |1\rangle}{\sqrt{2}} \quad (4)$$

$$|i\rangle = \frac{|0\rangle + i|1\rangle}{\sqrt{2}} \quad (5)$$

$$|-i\rangle = \frac{|0\rangle - i|1\rangle}{\sqrt{2}} \quad (6)$$

Para qualquer base  $\{|s_0\rangle, |s_1\rangle\}$ , os pesos  $w_0$  e  $w_1$  da combinação linear  $|\psi\rangle = w_0|s_0\rangle + w_1|s_1\rangle$  podem ser definidos como  $w_0 = \langle s_0|\psi\rangle$  e  $w_1 = \langle s_1|\psi\rangle$ .

## 2.2.2 Representação gráfica

O estado de um *qubit* pode ser definido em função de dois parâmetros  $\theta \in \mathbb{R}$  e  $\phi \in \mathbb{R}$  da seguinte forma:

$$|\psi\rangle = \cos\left(\frac{\theta}{2}\right)|0\rangle + e^{i\phi}\sin\left(\frac{\theta}{2}\right)|1\rangle \quad (7)$$

O parâmetro  $\phi$  da eq. 7 é frequentemente chamado de “ângulo de fase” do estado  $|1\rangle$ , enquanto  $e^{i\phi}$  é chamado de “fator de fase” de  $|1\rangle$ . Este parâmetro não altera as probabilidades  $P_\psi(0)$  e  $P_\psi(1)$  do colapso de  $|\psi\rangle$ , mas é importante para muitos algoritmos.

A partir da eq. 7, é possível representar o estado de um *qubit* graficamente em coordenadas esféricas, como mostram as figuras 1 e 2. Esta representação é conhecida como **esfera de Bloch**.

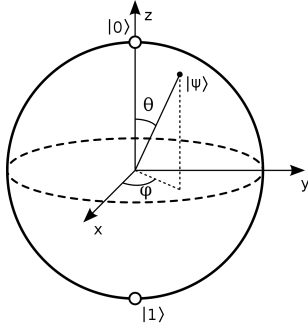


Figura 1 – Esfera de Bloch (Figura extraída de Wikimedia Commons, de autoria de Smite-Meister, sob licença CC BY-SA 3.0 <<https://creativecommons.org/licenses/by-sa/3.0/>>)

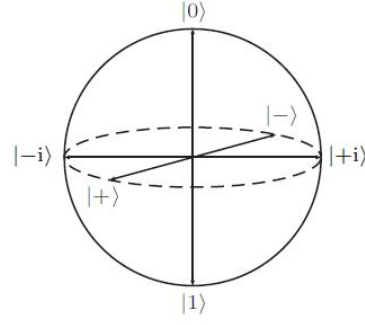


Figura 2 – Estados canônicos na esfera de Bloch (Figura extraída de Wikimedia Commons, de autoria de Kevin Garapo, Mhlambululi Mafu e Francesco Petruccione, sob licença CC BY-SA 4.0 <<https://creativecommons.org/licenses/by-sa/4.0/>>).

## 2.3 Registradores quânticos

Em computação clássica, sequências de *bits* são utilizadas para codificar valores de conjuntos discretos não binários. Os conjuntos discretos mais simples de codificar são os subconjuntos dos naturais. Qualquer valor  $\mathbf{x} \in \{\lambda \in \mathbb{N} : \lambda < 2^n\}$  para  $n \in \mathbb{N}$  pode ser codificado como uma sequência de  $n$  valores binários  $[x_1, x_2, \dots, x_n]$  tal que:

$$\mathbf{x} = \sum_{i=1}^n 2^{i-1} x_i \quad (8)$$

O conjunto de todas as possíveis sequências de  $n$  valores binários  $[x_1, x_2, \dots, x_n]$  é definido como  $\{0, 1\} \times \{0, 1\} \times \dots \times \{0, 1\} = \{0, 1\}^n$ , onde  $\cdot \times \cdot$  é o produto cartesiano.

Em computação quântica, sequências de *qubits* são chamadas de registradores quânticos. Tal qual os *qubits*, os estados dos registradores quânticos são vetores. O estado  $|x_1, x_2, \dots, x_n\rangle$  de um registrador de  $n$  *qubits* independentes é definido como  $|x_1, x_2, \dots, x_n\rangle = |x_1\rangle \otimes |x_2\rangle \otimes \dots \otimes |x_n\rangle = \bigotimes_{i=1}^n |x_i\rangle$ , onde  $|x_i\rangle \in \mathbb{C}^2$  é o estado do  $i$ -ésimo *qubit* e  $\cdot \otimes \cdot$  é o produto de Kronecker. Pode-se dizer que o produto de Kronecker é um análogo do produto cartesiano para espaços vetoriais.

O produto de Kronecker de um par de matrizes  $(A, B)$  é definido como:



$$A \otimes B = \begin{bmatrix} a_{1,1}B & \dots & a_{1,m}B \\ \vdots & \ddots & \vdots \\ a_{n,1}B & \dots & a_{n,m}B \end{bmatrix} \quad (9)$$

No caso de um par de estados  $|a\rangle = [a_1, a_2]^\top$  e  $|b\rangle = [b_1, b_2]^\top$ , o produto de Kronecker é:

$$|a, b\rangle = |a\rangle \otimes |b\rangle = \begin{bmatrix} a_1 \\ a_2 \end{bmatrix} \otimes \begin{bmatrix} b_1 \\ b_2 \end{bmatrix} = \begin{bmatrix} a_1 \begin{bmatrix} b_1 \\ b_2 \end{bmatrix} \\ a_2 \begin{bmatrix} b_1 \\ b_2 \end{bmatrix} \end{bmatrix} = \begin{bmatrix} a_1 b_1 \\ a_1 b_2 \\ a_2 b_1 \\ a_2 b_2 \end{bmatrix} \quad (10)$$

Considerando  $a \in \{0, 1\}$  e  $b \in \{0, 1\}$ , temos os seguintes possíveis estados  $|a, b\rangle$ :

$$|0, 0\rangle = \begin{bmatrix} 1 \\ 0 \end{bmatrix} \otimes \begin{bmatrix} 1 \\ 0 \end{bmatrix} = \begin{bmatrix} 1 \\ 0 \\ 0 \\ 0 \end{bmatrix} \quad (11)$$

$$|0, 1\rangle = \begin{bmatrix} 1 \\ 0 \end{bmatrix} \otimes \begin{bmatrix} 0 \\ 1 \end{bmatrix} = \begin{bmatrix} 0 \\ 1 \\ 0 \\ 0 \end{bmatrix} \quad (12)$$

$$|1, 0\rangle = \begin{bmatrix} 0 \\ 1 \end{bmatrix} \otimes \begin{bmatrix} 1 \\ 0 \end{bmatrix} = \begin{bmatrix} 0 \\ 0 \\ 1 \\ 0 \end{bmatrix} \quad (13)$$

$$|1, 1\rangle = \begin{bmatrix} 0 \\ 1 \end{bmatrix} \otimes \begin{bmatrix} 0 \\ 1 \end{bmatrix} = \begin{bmatrix} 0 \\ 0 \\ 0 \\ 1 \end{bmatrix} \quad (14)$$

Em geral, para qualquer sequência de valores binários  $[x_1, x_2, \dots, x_n]$ , o vetor equivalente a  $|x_1, x_2, \dots, x_n\rangle$  é  $[\lambda_1, \lambda_2, \dots, \lambda_{2^n}]^\top$  tal que:

$$\lambda_i = \begin{cases} 1, & i = 1 + \mathbf{x} \\ 0, & i \neq 1 + \mathbf{x} \end{cases}, \quad \mathbf{x} = \sum_{j=1}^n 2^{j-1} x_j \quad (15)$$

Um *bra* ou *ket* também pode conter um valor numérico correspondente a uma sequência de valores binários. Exemplos:  $|\mathbf{0}\rangle = |0, 0\rangle$ ,  $|\mathbf{1}\rangle = |0, 1\rangle$ ,  $|\mathbf{2}\rangle = |1, 0\rangle$ ,  $|\mathbf{3}\rangle = |1, 1\rangle$ . Especificamente neste trabalho, o uso de negrito em números ou símbolos pode indicar que o número ou símbolo corresponde a uma sequência de valores binários.

Algumas propriedades importantes do produto de Kronecker são:

$$\square A \otimes (\sum_{i=1}^n B_i) = \sum_{i=1}^n (A \otimes B_i), \text{ onde } A \text{ e } B_i \text{ são matrizes.}$$

$$\square (\sum_{i=1}^n A_i) \otimes B = \sum_{i=1}^n (A_i \otimes B), \text{ onde } A_i \text{ e } B \text{ são matrizes.}$$

□  $(\sum_{i=1}^n A_i) \otimes (\sum_{j=1}^m B_j) = \sum_{i=1}^n \sum_{j=1}^m (A_i \otimes B_j)$ , onde  $A_i$  e  $B_j$  são matrizes.

□  $(kA) \otimes B = A \otimes (kB) = k(A \otimes B)$ , onde  $A$  e  $B$  são matrizes e  $k$  é um escalar.

## 2.4 Emaranhamento quântico

Quando um sistema de  $n$  *qubits* possui um estado quântico que não pode ser definido como um produto de Kronecker de  $n$  estados independentes em  $\mathbb{C}^2$ , é dito que este sistema está **emaranhado** ou **entrelaçado**. Um exemplo clássico de emaranhamento quântico com dois *qubits* é o estado de Bell, definido na equação 16.

$$|\mathbf{Bell}\rangle = \frac{|0, 0\rangle + |1, 1\rangle}{\sqrt{2}} \quad (16)$$

Não existe nenhum par de estados  $(|q_1\rangle, |q_2\rangle)$  tal que  $|q_2\rangle \otimes |q_1\rangle = |\mathbf{Bell}\rangle$ , e portanto  $|\mathbf{Bell}\rangle$  é um estado de dois *qubits* emaranhados. Em geral, para sistemas de dois *qubits*, é possível determinar se há um emaranhamento no estado verificando as amplitudes de probabilidade deste. Para fins explicativos, considere o seguinte estado de 2 *qubits*:

$$\begin{aligned} |a, b\rangle &= (\alpha_0|0\rangle + \alpha_1|1\rangle) \otimes (\beta_0|0\rangle + \beta_1|1\rangle) \\ &= \alpha_0\beta_0|0, 0\rangle + \alpha_0\beta_1|0, 1\rangle + \alpha_1\beta_0|1, 0\rangle + \alpha_1\beta_1|1, 1\rangle \end{aligned} \quad (17)$$

Considerando  $\omega_0 = \alpha_0\beta_0$ ,  $\omega_1 = \alpha_0\beta_1$ ,  $\omega_2 = \alpha_1\beta_0$  e  $\omega_3 = \alpha_1\beta_1$ , temos:

$$|a, b\rangle = \omega_0|0, 0\rangle + \omega_1|0, 1\rangle + \omega_2|1, 0\rangle + \omega_3|1, 1\rangle \quad (18)$$

É óbvio constatar que  $(\alpha_0\beta_0)(\alpha_1\beta_1) = (\alpha_0\beta_1)(\alpha_1\beta_0)$ , e dada esta afirmação, é possível deduzir que:

$$\omega_0\omega_3 = \omega_1\omega_2 \quad (19)$$

A equação 19 é uma regra que deve ser satisfeita para que se prove que um estado de 2 *qubits* com amplitudes  $\omega_0, \omega_1, \omega_2$  e  $\omega_3$  é um produto tensorial de dois estados independentes  $|a\rangle \in \mathbb{C}^2$  e  $|b\rangle \in \mathbb{C}^2$ . O estado Bell descrito na equação 16 tem coeficientes  $\omega_0 = \omega_3 = \frac{1}{\sqrt{2}}$  e  $\omega_1 = \omega_2 = 0$ , que não satisfazem a equação 19.

De modo geral, um estado  $|\psi\rangle$  de  $n$  *qubits* não possui emaranhamento caso satisfaça:

$$|\psi\rangle = \bigotimes_{i=1}^n |q_i\rangle, \quad |q_i\rangle \in \mathbb{C}^2 \quad (20)$$

## 2.5 Portas lógicas quânticas

Como já foi dito na seção 2.1, as ditas portas lógicas quânticas são operadores lineares unitários (matrizes unitárias, mais especificamente). Uma matriz unitária é, basicamente,

uma matriz quadrada cuja transposta conjugada é também sua inversa. Em linguagem matemática, essa afirmação pode ser descrita como  $U^\dagger = U^{-1}$ , onde  $U$  é uma matriz quadrada,  $U^\dagger$  é sua transposta conjugada e  $U^{-1}$  é sua inversa. Em alguns casos, a matriz  $U$  é sua própria transposta conjugada e inversa; nesses casos, a matriz é dita autoadjunta. Exemplos de matrizes autoadjuntas são as matrizes de Pauli, a porta Hadamard e a porta *Controlled-NOT*.

Existe uma infinidade de portas lógicas quânticas. Em teoria, qualquer matriz unitária cujas quantidades de linhas e colunas são potências de 2 pode ser considerada uma porta lógica quântica. No entanto, existe um conjunto de portas lógicas quânticas que são universais, que inclui as portas Clifford (*Controlled-NOT*, Hadamard,  $S$ , Pauli- $X$ , Pauli- $Y$  e Pauli- $Z$ ) e a porta  $T$ . Além dessas, existem as portas parametrizadas  $R_x(\theta)$ ,  $R_y(\theta)$  e  $R_z(\theta)$ . Todas essas portas lógicas serão descritas nas próximas seções.

### 2.5.1 Matrizes de Pauli

As matrizes Pauli- $X$  (eq. 28), Pauli- $Y$  (eq. 22) e Pauli- $Z$  (eq. 29) são portas lógicas quânticas básicas de 1 *qubit*. O papel dessas portas é rotacionar o estado do *qubit* em  $\pi$  radianos na esfera de Bloch em torno dos respectivos eixos  $x$ ,  $y$  e  $z$ . A porta  $X$ , em particular, é frequentemente usada como um análogo quântico da porta lógica clássica *NOT*, pois faz os mapeamentos  $|0\rangle \mapsto |1\rangle$  e  $|1\rangle \mapsto |0\rangle$ . Essas três matrizes podem ser grafadas como  $(X, Y, Z)$ ,  $(\sigma_x, \sigma_y, \sigma_z)$  ou  $(\sigma_1, \sigma_2, \sigma_3)$ . Em computação quântica, a primeira notação é a mais usada.

$$X = \begin{bmatrix} 0 & 1 \\ 1 & 0 \end{bmatrix} \quad (21)$$

$$Y = \begin{bmatrix} 0 & -i \\ i & 0 \end{bmatrix} \quad (22)$$

$$Z = \begin{bmatrix} 1 & 0 \\ 0 & -1 \end{bmatrix} \quad (23)$$

### 2.5.2 Hadamard

A porta Hadamard (eq. 24) equivale a uma transformada discreta de Fourier  $2 \times 2$ . Esta porta é frequentemente utilizada para transformar um estado da base computacional em uma superposição, pois mapeia os estados  $|0\rangle$  e  $|1\rangle$  para, respectivamente,  $|+\rangle$  e  $|-\rangle$ . Outro uso comum da porta Hadamard é como parte da transformada de Fourier quântica, que será apresentada mais adiante.

$$H = \frac{1}{\sqrt{2}} \begin{bmatrix} 1 & 1 \\ 1 & -1 \end{bmatrix} \quad (24)$$

### 2.5.3 $S$ e $T$

As portas  $S$  (também chamada de Phase ou  $P$ ) e  $T$  são, assim como a porta Pauli- $Z$ , matrizes que rotacionam o estado de um *qubit* em torno do eixo  $z$  na esfera de Bloch. Enquanto a porta Pauli- $Z$  faz rotações de  $\pi$  radianos, as portas  $S$  e  $T$  fazem rotações de, respectivamente,  $\pi/2$  radianos e  $\pi/4$  radianos.

$$S = \begin{bmatrix} 1 & 0 \\ 0 & i \end{bmatrix} \quad (25)$$

$$T = \begin{bmatrix} 1 & 0 \\ 0 & e^{i\frac{\pi}{4}} \end{bmatrix} \quad (26)$$

### 2.5.4 $R_x(\theta)$ , $R_y(\theta)$ e $R_z(\theta)$

As portas  $R_x(\theta)$  (eq. 28),  $R_y(\theta)$  (eq. 22) e  $R_z(\theta)$  (eq. 29) são matrizes que fazem rotações de ângulo livre na esfera de Bloch, onde o ângulo de rotação é dado por  $\theta$ . Os eixos de rotação das três portas são, respectivamente,  $x$ ,  $y$  e  $z$ . Pode-se dizer que essas portas são generalizações das matrizes de Pauli, uma vez que  $R_x(\pi) = X$ ,  $R_y(\pi) = Y$  e  $R_z(\pi) = Z$ . Além disso, essas três matrizes de rotação de ângulo livre são definidas a partir das matrizes de Pauli como  $R_x(\theta) = e^{-i\theta X/2}$ ,  $R_y(\theta) = e^{-i\theta Y/2}$  e  $R_z(\theta) = e^{-i\theta Z/2}$ .

$$R_x(\theta) = \begin{bmatrix} \cos \frac{\theta}{2} & -i \sin \frac{\theta}{2} \\ -i \sin \frac{\theta}{2} & \cos \frac{\theta}{2} \end{bmatrix} \quad (27)$$

$$R_y(\theta) = \begin{bmatrix} \cos \frac{\theta}{2} & -\sin \frac{\theta}{2} \\ \sin \frac{\theta}{2} & \cos \frac{\theta}{2} \end{bmatrix} \quad (28)$$

$$R_z(\theta) = \begin{bmatrix} e^{-i\frac{\theta}{2}} & 0 \\ 0 & e^{i\frac{\theta}{2}} \end{bmatrix} \quad (29)$$

### 2.5.5 *Controlled-NOT* e demais portas controladas

*Controlled-NOT* (eq. 30 e tab. 1) é a porta de múltiplos *qubits* mais básica. Fisicamente, o uso dessa porta lógica induz um emaranhamento entre os *qubits* operandos. Do ponto de vista computacional, o emaranhamento criado pela porta *Controlled-NOT* pode ser interpretado como um análogo quântico da porta lógica clássica *XOR* ou como uma aplicação da porta  $X$  sobre um *qubit* alvo condicionada por um *qubit de controle*. Essas duas interpretações se devem ao fato de que, para um registrador de estado  $|c, t\rangle$ , onde

$|c\rangle$  é o estado do *qubit* de controle e  $|t\rangle$  é o estado do *qubit* alvo, o mapeamento de CNOT pode ser definido como  $|c, t\rangle \mapsto |c, t \oplus c\rangle$ .

$$\text{CNOT} = \begin{bmatrix} 1 & 0 & 0 & 0 \\ 0 & 1 & 0 & 0 \\ 0 & 0 & 0 & 1 \\ 0 & 0 & 1 & 0 \end{bmatrix} \quad (30)$$

$ c, t\rangle$	CNOT $ c, t\rangle$
$ 0, 0\rangle$	$ 0, 0\rangle$
$ 0, 1\rangle$	$ 0, 1\rangle$
$ 1, 0\rangle$	$ 1, 1\rangle$
$ 1, 1\rangle$	$ 1, 0\rangle$

Tabela 1 – Tabela-verdade da porta *Controlled-NOT*

De modo geral, é possível criar uma versão controlada de qualquer unitário  $U$ , inclusive com múltiplos *qubits* de controle, combinando as portas descritas acima. Há dois exemplos de portas controladas que, por serem utilizadas no presente trabalho, devem ser mencionadas: a porta *Toffoli* (eq. 31), que é similar à porta *Controlled-NOT*, porém com 2 *qubits* de controle, fazendo o mapeamento  $|c_1, c_2, t\rangle \mapsto |c_2, c_2, t \oplus c_1 c_2\rangle$ , e a porta  $CR_z$  (eq. 32), que é a versão controlada da porta  $R_z$ .

$$\text{Toffoli} = \begin{bmatrix} 1 & 0 & 0 & 0 & 0 & 0 & 0 & 0 \\ 0 & 1 & 0 & 0 & 0 & 0 & 0 & 0 \\ 0 & 0 & 1 & 0 & 0 & 0 & 0 & 0 \\ 0 & 0 & 0 & 1 & 0 & 0 & 0 & 0 \\ 0 & 0 & 0 & 0 & 1 & 0 & 0 & 0 \\ 0 & 0 & 0 & 0 & 0 & 1 & 0 & 0 \\ 0 & 0 & 0 & 0 & 0 & 0 & 0 & 1 \\ 0 & 0 & 0 & 0 & 0 & 0 & 1 & 0 \end{bmatrix} \quad (31)$$

$$CR_z = \begin{bmatrix} 1 & 0 & 0 & 0 \\ 0 & 1 & 0 & 0 \\ 0 & 0 & e^{-i\theta/2} & 0 \\ 0 & 0 & 0 & e^{i\theta/2} \end{bmatrix} \quad (32)$$

## 2.6 Circuitos quânticos

Circuitos quânticos são modelos diagramáticos de algoritmos quânticos onde *qubits* são representados por linhas retas horizontais, e portas lógicas quânticas são representadas por blocos e linhas verticais sobre os *qubits*. Por serem análogos a circuitos digitais reversíveis,

os circuitos quânticos são representações gráficas relativamente amigáveis para pessoas que já têm familiaridade com lógica digital. Uma outra forma bastante útil de representar algoritmos quânticos graficamente é por meio do Cálculo-ZX (WETERING, 2020). No entanto, Cálculo-ZX só costuma ser usado para fins de otimização.

Em circuitos quânticos, cada porta lógica quântica tem seu próprio símbolo, como mostra a figura 3.









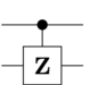
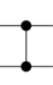

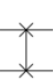
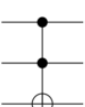
Operator	Gate(s)	Matrix
Pauli-X (X)	 	$\begin{bmatrix} 0 & 1 \\ 1 & 0 \end{bmatrix}$
Pauli-Y (Y)		$\begin{bmatrix} 0 & -i \\ i & 0 \end{bmatrix}$
Pauli-Z (Z)		$\begin{bmatrix} 1 & 0 \\ 0 & -1 \end{bmatrix}$
Hadamard (H)		$\frac{1}{\sqrt{2}} \begin{bmatrix} 1 & 1 \\ 1 & -1 \end{bmatrix}$
Phase (S, P)		$\begin{bmatrix} 1 & 0 \\ 0 & i \end{bmatrix}$
$\pi/8$ (T)		$\begin{bmatrix} 1 & 0 \\ 0 & e^{i\pi/4} \end{bmatrix}$
Controlled Not (CNOT, CX)		$\begin{bmatrix} 1 & 0 & 0 & 0 \\ 0 & 1 & 0 & 0 \\ 0 & 0 & 0 & 1 \\ 0 & 0 & 1 & 0 \end{bmatrix}$
Controlled Z (CZ)	 	$\begin{bmatrix} 1 & 0 & 0 & 0 \\ 0 & 1 & 0 & 0 \\ 0 & 0 & 1 & 0 \\ 0 & 0 & 0 & -1 \end{bmatrix}$
SWAP	 	$\begin{bmatrix} 1 & 0 & 0 & 0 \\ 0 & 0 & 1 & 0 \\ 0 & 1 & 0 & 0 \\ 0 & 0 & 0 & 1 \end{bmatrix}$
Toffoli (CCNOT, CCX, TOFF)		$\begin{bmatrix} 1 & 0 & 0 & 0 & 0 & 0 & 0 & 0 \\ 0 & 1 & 0 & 0 & 0 & 0 & 0 & 0 \\ 0 & 0 & 1 & 0 & 0 & 0 & 0 & 0 \\ 0 & 0 & 0 & 1 & 0 & 0 & 0 & 0 \\ 0 & 0 & 0 & 0 & 1 & 0 & 0 & 0 \\ 0 & 0 & 0 & 0 & 0 & 1 & 0 & 0 \\ 0 & 0 & 0 & 0 & 0 & 0 & 0 & 1 \\ 0 & 0 & 0 & 0 & 0 & 0 & 1 & 0 \end{bmatrix}$

Figura 3 – Simbologia das portas lógicas quânticas em circuitos quânticos (figura extraída de Wikimedia Commons, de autoria de Rxtreme, sob licença CC BY-SA 4.0 <<https://creativecommons.org/licenses/by-sa/4.0/>>)

Usemos, como exemplo introdutório, um circuito quântico para criar um estado Bell:

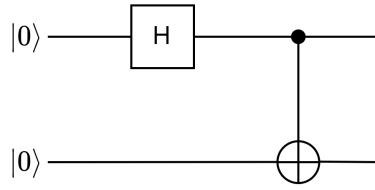


Figura 4 – Circuito quântico que gera um estado Bell

Como pode ser visto na figura acima, o circuito gerador do estado Bell é composto por um registrador de dois *qubits* inicializado como  $|0, 0\rangle$ , uma porta Hadamard sobre o primeiro *qubit*, e uma porta *Controlled-NOT* tomando o primeiro *qubit* como controle e o segundo *qubit* como alvo. Este circuito pode ser descrito algebricamente como um operador  $U$  tal que  $U|0, 0\rangle = (|0, 0\rangle + |1, 1\rangle)/\sqrt{2}$ , definido como  $U = \text{CNOT}_{(q_1, q_2)} \times (I \otimes H)$ , onde  $I$  é uma matriz identidade  $2 \times 2$  e  $\text{CNOT}_{(q_1, q_2)}$  é a matriz da porta *Controlled-NOT* tomando o primeiro *qubit* como controle e o segundo como alvo.

Como segundo exemplo introdutório, tomemos a decomposição da porta Toffoli em portas *Controlled-NOT*, Hadamard,  $T$  e  $T^\dagger$ :

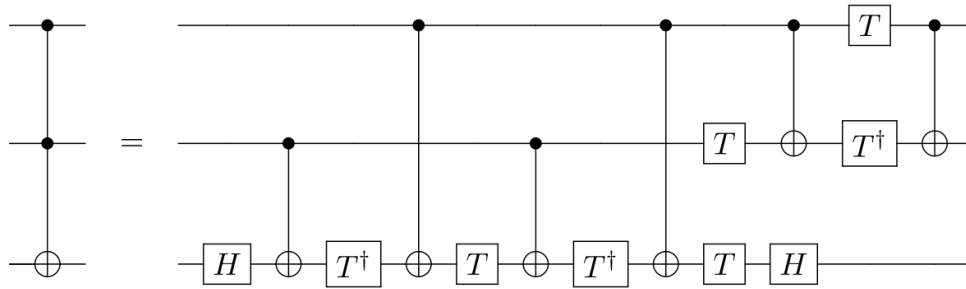
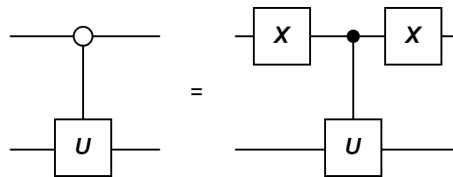


Figura 5 – Decomposição da porta lógica quântica Toffoli (figura extraída de Wikimedia Commons, de autoria de Geek3, sob licença CC BY-SA 4.0 <<https://creativecommons.org/licenses/by-sa/4.0>>)

Observe que as linhas verticais com pontos escuros indicam que há *qubits* de controle na porta. Também há casos em que os pontos são claros, indicando que *qubits* de controle estão negados, como mostra a figura a seguir:

Figura 6 – Porta genérica com *qubit* de controle negado





## Operações lógicas, aritméticas e relacionais em computação quântica

Como já mencionado no primeiro capítulo, uma das ideias centrais da linguagem DLQ é a “tradução” de operações lógicas, aritméticas e relacionais em circuitos quânticos. Na versão atual do compilador *DLQpiler*, há suporte para a síntese dos operadores *not*, *and*, *or*, soma (+), subtração (−), multiplicação (\*), potenciação ( $\wedge$ ), maior-que (>), menor-que (<), igual (=) e diferente ( $\neq$ ). Há três modalidades de síntese para esses operadores: **registrador-por-registrador**, onde a operação é feita entre duas variáveis; **registrador-por-constante**, onde a operação é feita entre uma variável do lado esquerdo e uma constante do lado direito; e **constante-por-registrador**, onde a operação é feita entre uma constante do lado esquerdo e uma variável do lado direito. Há também casos em que uma operação é feita com apenas operadores constantes. Nesses casos, o resultado da operação é computado pelo próprio compilador.

Neste capítulo, serão apresentados os circuitos quânticos utilizados para computar as operações citadas acima. Além disso, a forma como o algoritmo de Grover é usado para obter resultados relevantes é explicada.

### 3.1 Operações lógicas

Implementar as operações lógicas *not*, *and* e *or* como circuitos quânticos é bastante simples. Em primeiro lugar, deve-se pensar em um *qubit* como uma variável booleana. Seguindo este raciocínio, é trivial constatar que a porta lógica quântica Pauli-X pode ser usada como o operador *not*. Já o operador *and* pode ser traduzido em uma porta lógica Toffoli, uma vez que esta porta faz o mapeamento  $|c_1, c_2, 0\rangle \mapsto |c_1, c_2, c_1 c_2\rangle$ . Neste caso, toma-se como alvo um *qubit* auxiliar inicializado como  $|0\rangle$ , o qual chamamos de *qubit* resultado. Por fim, a partir da junção dos operadores *not* e *and*, é possível criar um operador *or* com base no teorema de De Morgan, segundo o qual  $A \vee B = \overline{\overline{A} \wedge \overline{B}}$ . A figura 7 mostra os circuitos quânticos dos operadores lógicos *not*, *and* e *or*.

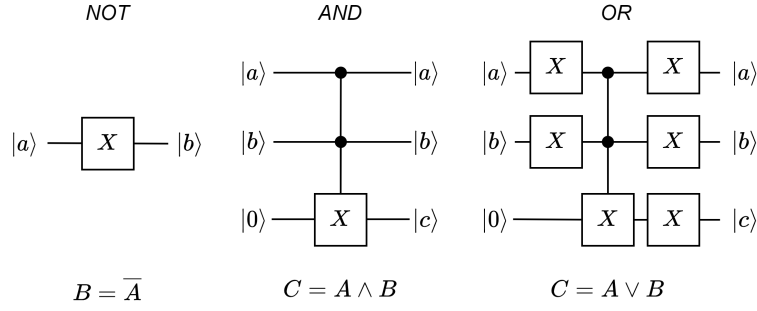


Figura 7 – As três operações lógicas (*not*, *and* e *or*), e seus respectivos circuitos quânticos equivalentes.

### 3.2 Transformada de Fourier Quântica (QFT)

Antes de partir para as operações aritméticas, é necessário abordar a transformada de Fourier quântica (QFT), que é usada como parte dos circuitos quânticos aritméticos que são apresentados adiante. Este artifício é, basicamente, uma implementação da transformada discreta de Fourier em forma de circuito quântico, proposta inicialmente por Coppersmith (1994). Esta transformada mapeia o espaço vetorial da base computacional para outro espaço vetorial onde é mais fácil fazer algumas operações aritméticas. Costuma-se chamar a base do contra-domínio da QFT de “base de Fourier”. O uso de QFT em aritmética já foi explorado em trabalhos como os de Draper (2000) e Ruiz-Perez & Garcia-Escartin (2017).

Algebricamente, a QFT faz o mapeamento descrito na equação 33, podendo ser definida como um operador  $U_{\text{QFT}}$  na notação de Dirac (eq. 34) ou na forma matricial (eq. 35). Nessas três equações,  $\omega = e^{\frac{2\pi i}{2^N}}$ ,  $l$  é o índice-coluna (começando em 0) e  $r$  é o índice-linha (também começando em 0).

$$|j\rangle \mapsto \frac{1}{\sqrt{N}} \sum_{k=0}^{N-1} \omega_N^{jk} |k\rangle \quad (33)$$

$$U_{\text{QFT}} = \frac{1}{\sqrt{N}} \sum_{j=0}^{N-1} \sum_{k=0}^{N-1} \omega_N^{jk} |k\rangle \langle j| \quad (34)$$

$$U_{\text{QFT}} = \frac{1}{\sqrt{2^N}} \begin{bmatrix} \omega^0 & \dots & \omega^{0l} & \dots & \omega^{0(2^N-1)} \\ \vdots & \ddots & \vdots & & \vdots \\ \omega^{0r} & \dots & \omega^{lr} & \dots & \omega^{r(2^N-1)} \\ \vdots & & \vdots & \ddots & \vdots \\ \omega^{0(2^N-1)} & \dots & \omega^{l(2^N-1)} & \dots & \omega^{(2^N-1)^2} \end{bmatrix} \quad (35)$$

O circuito quântico tradicional da QFT tem complexidade  $\mathcal{O}(n^2)$ , onde  $n$  é o número de *qubits*. Este circuito é composto majoritariamente por portas Hadamard e  $R_z$  controladas.

A figura 8 mostra um exemplo de circuito quântico de QFT de 3 *qubits*, e o algoritmo 1 mostra o procedimento de construção da QFT para um número arbitrário de *qubits*  $n$ .

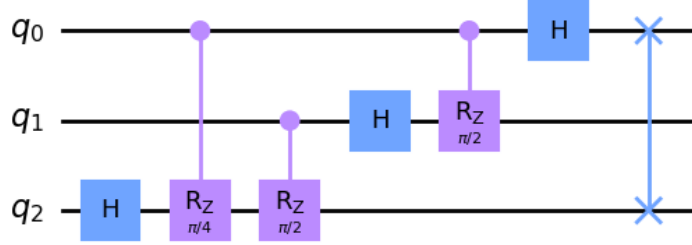


Figura 8 – Circuito quântico de uma QFT de 3 *qubits*

---

**Algoritmo 1** Construção algorítmica da QFT para qualquer número de *qubits*

---

**Data:**  $n \in \mathbb{Z} \cap [1; \infty)$  #Número de qubits

**Data:**  $q_1, q_2, \dots, q_n$  #Qubits alvo

$m \leftarrow n$

**while**  $m > 0$  **do**

$H(\text{alvo} = q_{m-1})$  #Porta Hadamard

**for**  $i \in [0, \dots, m-1]$  **do**

$CR_z(\theta = \frac{\pi}{2^{m-1-i}}, \text{controle} = q_i, \text{alvo} = q_{m-1})$  #Porta  $R_z$  controlada

**end**

$m \leftarrow m - 1$

**end**

**for**  $m \in [0, \dots, \lfloor n/2 \rfloor]$  **do**

$\text{Swap}(\text{alvo}_1 = q_m, \text{alvo}_2 = q_{n-m-1})$  # Porta Swap

**end**

---

### 3.3 Operações aritméticas

#### 3.3.1 Soma e subtração registrador-por-constante

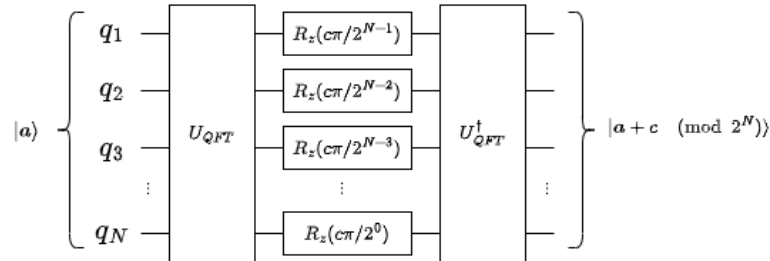


Figura 9 – Circuito quântico do somador registrador-por-constante

O circuito quântico aritmético mais básico utilizado neste trabalho é o somador registrador-por-constante. Este circuito quântico, que aqui é representado algebricamente por  $U_+(c) \in$

$\mathbb{C}^{2^n \times 2^n}$ , faz o mapeamento  $|\mathbf{x}\rangle \mapsto |\mathbf{x} + \mathbf{c} \pmod{2^n}\rangle$ , onde  $c$  é o valor constante inteiro que deseja-se somar ao registrador, e  $n$  é o número de *qubits* no registrador. A implementação do somador registrador-por-constante que foi utilizada, apresentada na figura 9, é uma modificação, original do presente trabalho, do somador baseado em QFT proposto por Draper (2000). Algebricamente, define-se este somador simplificado da seguinte forma:

$$U_+(c) = U_{\text{QFT}}^\dagger \times U_{\phi(+)}(c) \times U_{\text{QFT}} \quad (36)$$

Os operadores  $U_{\text{QFT}}$  e  $U_{\text{QFT}}^\dagger$  são, respectivamente, a transformada de Fourier quântica e a transformada inversa de Fourier quântica, e o operador  $U_{\phi(+)}(c)$  é o somador registrador-por-constante para uma constante  $c$  na base de Fourier. O operador  $U_{\phi(+)}(c)$  é definido para  $n$  *qubits* como:

$$U_{\phi(+)}(c) = \bigotimes_{\tau=1}^n R_z \left( \frac{c\pi}{2^{n-\tau}} \right) = R_z \left( \frac{c\pi}{2^{n-n}} \right) \otimes \dots \otimes R_z \left( \frac{c\pi}{2^{n-1}} \right) \quad (37)$$

onde  $t = N - (\tau - 1)$ .

Uma vez que se tem os somadores  $U_+(c)$  e  $U_{\phi(+)}(c)$ , é trivial constatar que os subtratores são simplesmente as transposições dos somadores, ou seja,  $U_-(c) = U_+(c)^\dagger$  e  $U_{\phi(-)}(c)^\dagger$ .

A corretude do somador registrador-por-constante pode ser demonstrada analisando-o na forma matricial. Primeiramente, expandimos o estado de  $n$  *qubits*  $|a\rangle$  tal que  $a \in \{x \in \mathbb{N} : 0 \leq x \leq 2^n - 1\}$  na forma matricial:

$$|a\rangle = [\lambda_j] \in \mathbb{C}^{2^N \times 1}, \quad \lambda_j = \begin{cases} 1, & j = a \\ 0, & j \neq a \end{cases} \quad (38)$$

Na equação 38, a expressão  $[\lambda_j] \in \mathbb{C}^{2^N \times 1}$  corresponde a uma matriz de  $2^n$  linhas e 1 coluna. A variável  $j$  corresponde ao índice-linha da respectiva entrada  $\lambda_j$  da matriz, tal que  $0 \leq j \leq 2^n - 1$ .

Em seguida, expandimos  $U_{\text{QFT}}$  na forma matricial como:

$$U_{\text{QFT}} = \frac{1}{\sqrt{2^n}} [\omega^{jk}] \in \mathbb{C}^{2^n \times 2^n} \quad (39)$$

Na equação 39, a expressão  $\frac{1}{\sqrt{2^n}} [\omega^{jk}] \in \mathbb{C}^{2^n \times 2^n}$  corresponde a uma matriz de  $2^n$  linhas e  $2^n$  colunas cujas entradas são  $\omega^{jk}$ , onde  $j$  é o índice-linha da entrada e  $k$  é o índice-coluna da entrada. O símbolo  $\omega$  é uma constante definida como  $\omega = e^{\frac{2\pi i}{2^n}}$ .

A operação  $U_{\text{QFT}}|\mathbf{a}\rangle$  resulta em uma matriz coluna equivalente à coluna de índice  $\mathbf{a}$  da matriz  $U_{\text{QFT}}$ . Descrevendo esta operação algebricamente, temos:

$$U_{\text{QFT}}|a\rangle = \frac{1}{\sqrt{2^n}}[\omega^{ja}] \in \mathbb{C}^{2^n \times 1} \quad (40)$$

Na equação 40, a expressão  $\frac{1}{\sqrt{2^n}}[\omega^{ja}] \in \mathbb{C}^{2^n \times 1}$  corresponde a uma matriz coluna com  $2^n$  linhas cujas entradas são  $\frac{1}{\sqrt{2^n}}\omega^{ja}$ , onde  $j$  é o índice-linha da entrada. Esta expressão é equivalente a  $\frac{1}{\sqrt{2^n}}[\dots, \omega^{ja}, \dots]^\top$ .

A aplicação de  $U_{\text{QFT}}^\dagger$  sobre  $U_{\text{QFT}}|\mathbf{a}\rangle$  resulta no próprio  $|\mathbf{a}\rangle$ , o que nos leva a seguinte constatação:

$$U_{\text{QFT}}^\dagger \left( \frac{1}{\sqrt{2^n}}[\dots, \omega^{ja}, \dots]^\top \right) = |a\rangle, \quad 0 \leq a \leq 2^n - 1 \quad (41)$$

A equação 41 é restrita a  $0 \leq \mathbf{a} \leq 2^n - 1$ . Porém, para qualquer  $\mathbf{a} \in \mathbb{N}$ , a expressão  $U_{\text{QFT}}^\dagger \left( \frac{1}{\sqrt{2^n}}[\dots, \omega^{ja}, \dots]^\top \right)$  resulta em  $|\mathbf{a} \pmod{2^n}\rangle$ , e isto se deve à periodicidade de  $\omega^{ja}$ .

Baseando-se na equação 41, é possível deduzir que:

$$U_{\text{QFT}}^\dagger \left( \frac{1}{\sqrt{2^N}}[\dots, \omega^{j(a+c)}, \dots]^\top \right) = U_{\text{QFT}}^\dagger \left( \frac{1}{\sqrt{2^N}}[\dots, \omega^{ja}\omega^{jc}, \dots]^\top \right) = |a+c\rangle, \quad (42)$$

$$0 \leq a+c \leq 2^N - 1$$

Em geral, para qualquer  $|\mathbf{x}\rangle$  tal que  $\mathbf{x} \in \mathbb{N}$ , consideramos que  $U_{\text{QFT}}|\mathbf{x}\rangle = |\phi(\mathbf{x})\rangle$  e  $U_{\text{QFT}}^\dagger|\phi(\mathbf{x})\rangle = |\mathbf{x}\rangle$ , onde  $|\phi(\mathbf{x})\rangle$  é simplesmente uma notação para o resultado da aplicação da transformada de Fourier quântica sobre um estado  $|\mathbf{x}\rangle$  qualquer.

Com base na constatação apresentada na equação 42, conclui-se que, para criar o mapeamento  $|\phi(a)\rangle \mapsto |\phi(a+c)\rangle$ , é necessário multiplicar cada entrada  $\frac{1}{\sqrt{2^n}}\omega^{ja}$  de  $|\phi(a)\rangle$  por um fator  $\omega^{jc}$ . Esta operação pode ser descrita como um produto matricial  $U_{\phi(+)}(c)|\phi(a)\rangle$ , uma vez que o operador  $U_{\phi(+)}(c)$  pode ser expandido na forma matricial como mostra a seguinte equação:

$$U_{\phi(+)}(c) = [\lambda_{(j,k)}] \in \mathbb{C}^{2^n \times 2^n}, \quad \lambda_{(j,k)} = \begin{cases} \omega^{jc}, & j = k \\ 0, & j \neq k \end{cases} \quad (43)$$

A equação 43 define  $U_{\phi(+)}(c)$  como uma matriz diagonal cujas entradas diagonais são  $\omega^{jc}$ , onde  $j$  e  $k$  são, respectivamente, o índice-linha e o índice-coluna da entrada. Esta definição também pode ser escrita como  $U_{\phi(+)}(c) = \text{diag}[\dots, \omega^{jc}, \dots]$ .

### 3.3.2 Soma registrador-por-registrador

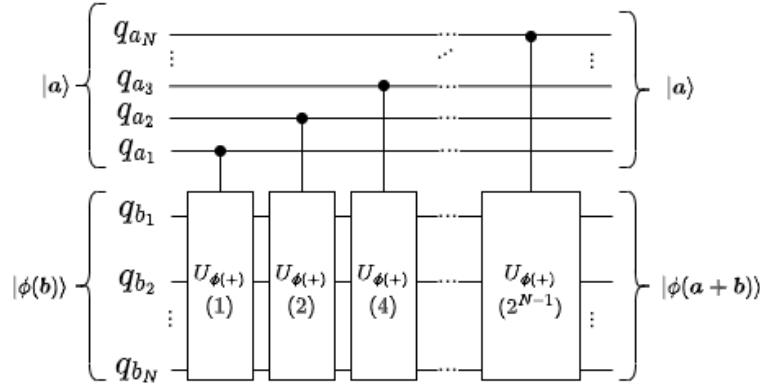


Figura 10 – Circuito quântico de um somador registrador-por-registrador

Com base no somador registrador-por-constante, é possível criar um somador registrador-por-registrador, ou seja, que faz o mapeamento  $|b, a\rangle \mapsto |a + b \pmod{2^n}, a\rangle$ , partindo do princípio de que é possível definir  $b + a$  como  $b + \sum_{j=1}^n a_j 2^{j-1}$ , onde  $a_j \in \{0, 1\}$  e  $n$  é o número de *qubits* alvo. A estrutura deste somador consiste em uma sequência de somadores  $U_{\phi(+)}(2^{j-1})$  controlados por  $|a_j\rangle$  aplicados sobre o registrador alvo inicializado como  $U_{\text{QFT}}|b\rangle$ . Após a aplicação das  $n$  operações  $U_{\phi(+)}(2^{j-1})$  controladas, aplica-se a QFT inversa sobre o registrador alvo para que o estado final do circuito se torne  $|a + b \pmod{2^n}, a\rangle$ . Uma representação diagramática deste somador registrador-por-registrador é apresentada na figura 10.

### 3.3.3 Multiplicação e potenciação

Também é possível criar um circuito de multiplicação com base no somador registrador-por-constante, partindo do pressuposto de que um produto  $c x_1 x_2 \dots x_m$  pode ser definido como:

$$\left( \sum_{j_1=1}^{n_1} x_{(1,j_1)} 2^{j_1-1} \right) \times \dots \times \left( \sum_{j_m=1}^{n_m} x_{(m,j_m)} 2^{j_m-1} \right) \times c = \sum_{j_1=1}^{n_1} \dots \sum_{j_m=1}^{n_m} x_{(1,j_1)} \dots x_{(m,j_m)} c 2^{j_1 + \dots + j_m - m} \quad (44)$$

onde  $c$  é uma constante natural, cada  $x_i$  é um fator natural, e cada  $x_{(i,j)}$  é o  $j$ -ésimo bit (do menos ao mais significativo) de  $x_i$ . A partir desta formulação, pode-se implementar um circuito quântico de multiplicação aplicando uma série de operações  $U_{\phi(+)}(c 2^{j_1 + \dots + j_m - m})$  multi-controladas pelas sequências de *qubits*  $[|x_{(1,j_1)}\rangle, \dots, |x_{(m,j_m)}\rangle]_{j_1, \dots, j_m}$  sobre um registrador alvo inicializado como  $U_{\text{QFT}}|0\rangle$ , e em seguida aplicando a QFT inversa sobre o mesmo registrador. O circuito quântico resultante faz o mapeamento  $|0, x_1, \dots, x_m\rangle \mapsto |c \prod_i^m x_i \pmod{2^{n_t}}, x_1, \dots, x_m\rangle$ , onde  $n_t$  é o número de *qubits* do registrador alvo.

Seguindo a mesma lógica do circuito quântico de multiplicação, é possível criar circuitos de potenciação com expoente constante, ou híbridos de multiplicação e potenciação. Isto pode ser feito repetindo os fatores com expoente maior que 1 na formulação da equação 44. A expressão  $a^2b^3$ , por exemplo, fica:

$$\sum_{j_1=1}^{n_1} \sum_{j_2=1}^{n_2} \sum_{j_3=1}^{n_3} \sum_{j_4=1}^{n_4} \sum_{j_5=1}^{n_5} a_{j_1} a_{j_2} b_{j_3} b_{j_4} b_{j_5} 2^{j_1+j_2+j_3+j_4+j_5-5}$$

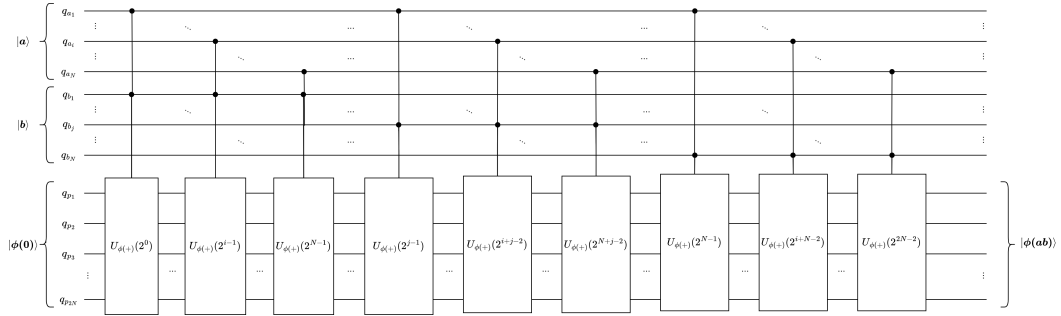


Figura 11 – Exemplo de circuito quântico multiplicador que faz o mapeamento  $|\phi(\mathbf{0}), \mathbf{b}, \mathbf{a}\rangle \mapsto |\phi(\mathbf{ab}), \mathbf{b}, \mathbf{a}\rangle$

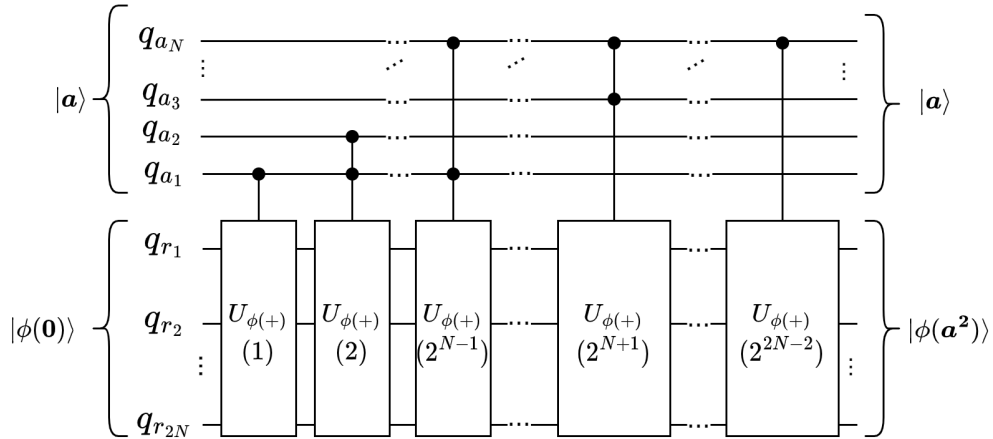


Figura 12 – Exemplo de circuito quântico de potenciação que faz o mapeamento  $|\phi(\mathbf{0}), \mathbf{a}\rangle \mapsto |\phi(\mathbf{a}^2), \mathbf{a}\rangle$

## 3.4 Operações relacionais

### 3.4.1 Igualdade e não-igualdade

Introduzindo a parte das operações relacionais, que são operações de comparação entre operandos, temos as operações de igualdade ( $=$ ) e não-igualdade ( $\neq$ ). As implementações dessas duas operações em forma de circuitos quânticos baseiam-se no fato de que, para

um par de operandos  $(\mathbf{a}, \mathbf{b}) \in \mathbb{Z}^2$  tais que  $\mathbf{a} = \sum_{i=1}^n a_i 2^{i-1}$  e  $\mathbf{b} = \sum_{i=1}^n b_i 2^{i-1}$ , onde  $a_i$  e  $b_i$  são bits, a proposição  $\mathbf{a} = \mathbf{b}$  é verdadeira se  $a_i = b_i$  para qualquer  $1 \leq i \leq n$ . Portanto, a proposição  $\mathbf{a} = \mathbf{b}$  pode ser verificada de forma algorítmica fazendo, primeiro, uma atribuição  $v_i \leftarrow \begin{cases} 1, & a_i = b_i \\ 0, & a_i \neq b_i \end{cases}$  para cada  $1 \leq i \leq n$ , onde  $v_1, v_2, \dots, v_n$  são variáveis auxiliares. Em seguida, toma-se  $\mathbf{a} = \mathbf{b}$  como verdadeira caso  $v_i = 1$  para qualquer  $1 \leq i \leq n$ . Este algoritmo pode ser facilmente traduzido na expressão booleana  $(a_1 \oplus b_1)(a_2 \oplus b_2) \dots (a_n \oplus b_n)$ , que por sua vez pode ser facilmente traduzida no seguinte circuito quântico:

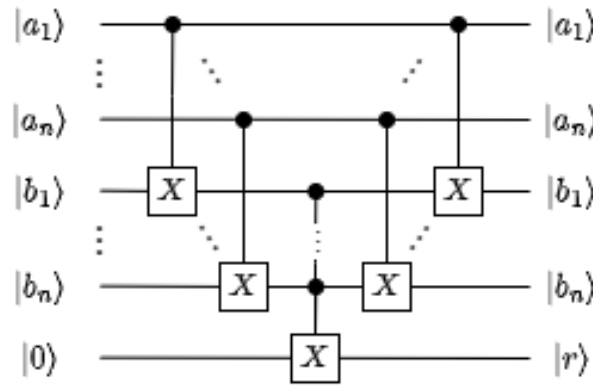


Figura 13 – Circuito quântico da operação de igualdade, onde  $|r\rangle$  é o resultado

Observe que, no circuito quântico da figura 13, uma sequência de portas *Controlled-Not* são utilizadas para transformar os estados  $|b_i\rangle$  em  $|a_i \oplus b_i\rangle$ . Em seguida, uma porta *X* multi-controlada é aplicada sobre o *qubit* de resultado para transformar o estado deste em  $|(a_1 \oplus b_1) \dots (a_n \oplus b_n)\rangle$ . Por fim, as portas *Controlled-Not* são aplicadas novamente de forma inversa para fazer os *qubits* do operando  $\mathbf{b}$  voltarem aos seus estados originais. Esta é, no entanto, apenas a implementação do operador de igualdade no modo registrador-por-registrador. No modo registrador-por-constante, ao invés de portas *Controlled-Not*, utilizam-se portas *X*. Se, por exemplo,  $\mathbf{a}$  é um operando constante, uma porta *X* será aplicada sobre cada *qubit* de estado inicial  $|b_i\rangle$  tal que  $a_i = 1$ .

Uma vez que se tem o operador de igualdade implementado, a obtenção da implementação do operador de não-igualdade é trivial: basta adicionar, por último, uma porta *X* sobre o *qubit* de resultado para transformar  $|(a_1 \oplus b_1) \dots (a_n \oplus b_n)\rangle$  em  $|\overline{(a_1 \oplus b_1) \dots (a_n \oplus b_n)}\rangle$ .

### 3.4.2 Maior-que e menor-que

As implementações dos operadores relacionais maior-que ( $>$ ) e menor-que ( $<$ ) em forma de circuitos quânticos partem do princípio de que, para um par de operandos  $(\mathbf{a}, \mathbf{b}) \in \mathbb{Z}^2$ , a proposição  $\mathbf{a} < \mathbf{b}$  é verdadeira se  $\mathbf{a} - \mathbf{b} < 0$ . Por mais óbvia que esta



afirmação seja, ela tem um papel importante, que é o de reduzir o problema de comparar dois inteiros positivos a um problema menor: comparar um inteiro com 0. Considerando que a subtração  $\mathbf{a} - \mathbf{b}$  pode resultar em valores menores que 0, para comparar este resultado a 0, é necessário utilizar a **notação de complemento de 2**. Este artifício é um sistema numérico utilizado em computação para representar números inteiros com sinal. O complemento de 2 de um número inteiro é obtido invertendo todos os seus bits e somando 1 ao resultado. Como exemplo, considere o número no sistema binário 0101. Para encontrar o complemento de dois deste número, primeiro inverte-se cada um de seus bits para obter 1010, e então soma-se 1 para obter o complemento de dois 1011. Na notação de complemento de 2, o bit mais significativo do número representa o sinal (0 para números positivos e 1 para números negativos), podendo ser utilizado para verificar se o número é menor que 0.

A implementação algorítmica do operador menor-que consiste nas seguintes etapas:

1. Toma-se 2 registradores: o primeiro para armazenar  $\mathbf{a}$  e o segundo para armazenar  $\mathbf{b}$ ;
2. Acrescenta-se um novo bit mais significativo ao primeiro registrador para tornar não-modular a operação de subtração da próxima etapa;
3. Aplica-se uma subtração para transformar o estado  $\mathbf{a}$  do primeiro registrador em  $\mathbf{a} - \mathbf{b}$ ;
4. Verifica-se o valor do bit mais significativo do primeiro registrador: caso seja 1, então  $\mathbf{a} < \mathbf{b}$ , e caso seja 0, então  $\mathbf{a} \geq \mathbf{b}$ .

O procedimento descrito acima pode ser traduzido em circuito quântico, em modo registrador-por-registrador, utilizando um subtrator registrador-por-registrador e uma porta *Controlled-Not*, como mostra a seguinte figura:

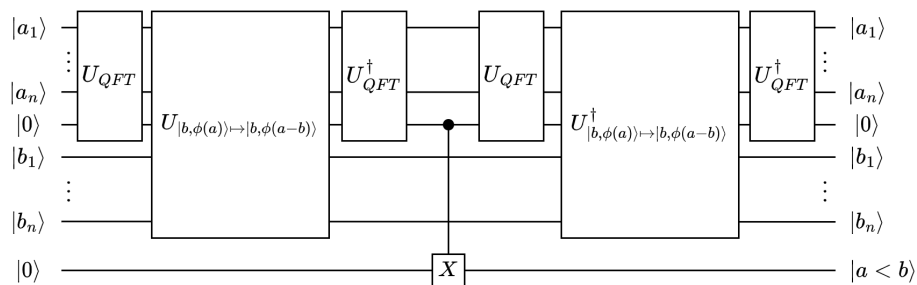


Figura 14 – Circuito quântico do operador menor-que, modo registrador-por-registrador

Já no modo registrador-por-constante (fig. 15), o circuito quântico proposto faz uso do operador  $U_+(\cdot)$ , e o número de *qubits* adicionais no registrador operando depende da constante com a qual o valor do registrador será comparado. No caso em que a comparação

$a < b$  é feita com  $b$  constante, o número de *qubits* adicionais necessários pode ser calculado como  $n - \max\{n, \lceil \log_2 b \rceil\} + 1$ .

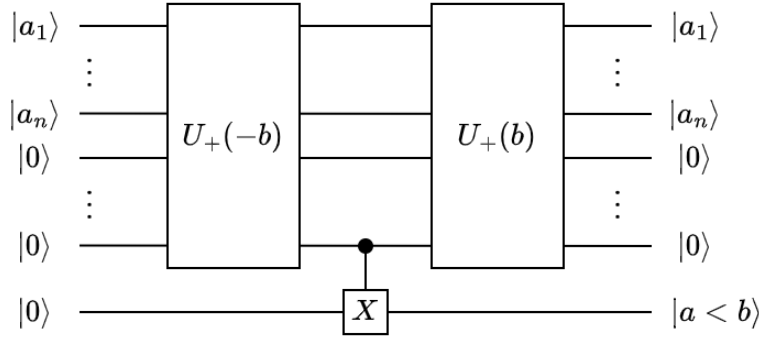


Figura 15 – Circuito quântico do operador menor-que, modo registrador-por-constante

A partir das implementações do operador relacional menor-que apresentadas acima, é possível criar implementações do operador maior-que, dado que  $a > b$  equivale a  $\neg(a - 1 < b)$  para  $a \in \mathbb{N}$ . Na figura a seguir, o circuito quântico do operador maior-que, em modo registrador-por-constante, é apresentado.

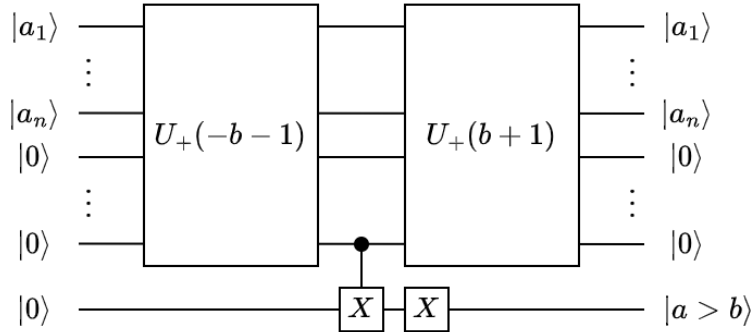


Figura 16 – Circuito quântico do operador maior-que, modo registrador-por-constante

### 3.5 Soluções de problemas com o algoritmo Grover

Como já foi dito no capítulo 2, uma vez que se usa um computador quântico, espera-se alguma vantagem proveniente do paralelismo quântico. Executar operações lógicas, aritméticas e relacionais em computadores quânticos, por si só, não é vantajoso, pois embora estas operações possam ser usadas para processar quantidades enormes de dados paralelamente, apenas uma tupla de valores “selecionada” aleatoriamente pode ser obtida em cada rodada do programa quântico. No entanto, quando estas operações são associadas ao algoritmo de Grover, torna-se possível aumentar a probabilidade de obtenção de tuplas de valores que satisfaçam determinadas condições.

O algoritmo de Grover é um algoritmo quântico de busca proposto por Lov K. Grover (1996). Este algoritmo resolve problemas de busca em conjuntos de dados não-ordenados com complexidade  $\mathcal{O}(\sqrt{N})$ , onde  $N$  é o tamanho do espaço de busca.

Considere um espaço de busca  $X = \{x_1, x_2, \dots, x_N\}$  para o qual deseja-se encontrar um  $x_i$  que satisfaça  $f(x_i) = 1$ , tal que  $f(\cdot) \in \{0, 1\}$ . O algoritmo de Grover pode ser empregado da seguinte forma para resolver este problema:

1. Toma-se um registrador quântico de  $n$  *qubits* e estado inicial  $|\psi\rangle = \frac{1}{\sqrt{N}} \sum_{i=1}^N |x_i\rangle$ ;
2. Aplica-se um operador  $U_O$ , chamado oráculo, sobre o registrador. Este operador irá multiplicar os estados  $|x_i\rangle$  que satisfazem uma determinada condição por -1;
3. Aplica-se um operador de difusão  $U_D = 2|\psi\rangle\langle\psi| - I_n$  sobre o registrador para aumentar a probabilidade de obtenção dos estados  $|x_i\rangle$  “marcados” pelo oráculo;
4. Repete-se os passos 2 e 3 até que as probabilidades dos estados marcados sejam ótimas (ou, pelo menos, altas o suficiente). Considerando que há uma quantidade  $s$  de estados marcados pelo oráculo, a quantidade ótima de iterações dos passos 2 e 3 é  $\left\lfloor \frac{\pi}{4} \sqrt{\frac{N}{s}} \right\rfloor$ .

O operador de difusão  $U_D$  pode ser implementado em forma de circuito quântico, considerando  $U_\psi$  o operador que transforma  $|0\rangle^{\otimes n}$  em  $|\psi\rangle$ , como mostra a seguinte figura:

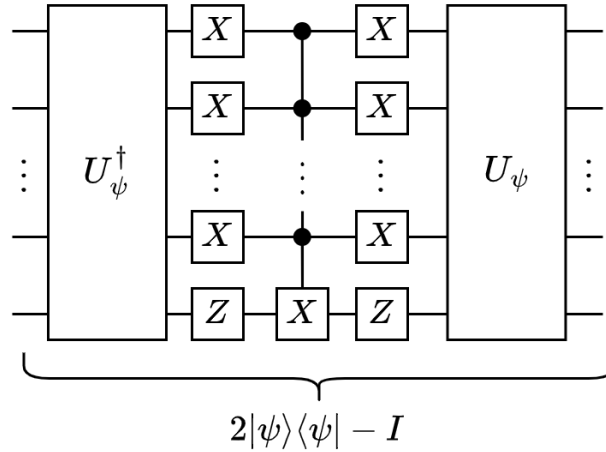


Figura 17 – Implementação do operador de difusão de Grover em forma de circuito quântico.

Já o oráculo  $U_O$  não tem uma formula geral de implementação. No presente trabalho, os oráculos são circuitos quânticos construídos para, a princípio, resolver expressões compostas por operadores lógicos, aritméticos e relacionais, e marcar os estados do espaço de busca que representem soluções. Neste caso, o circuito quântico do oráculo é uma composição dos circuitos apresentados nas seções anteriores deste capítulo. Um exemplo

de oráculo criado para marcar as soluções da expressão  $2a + b = 7$  é apresentado na figura a seguir:

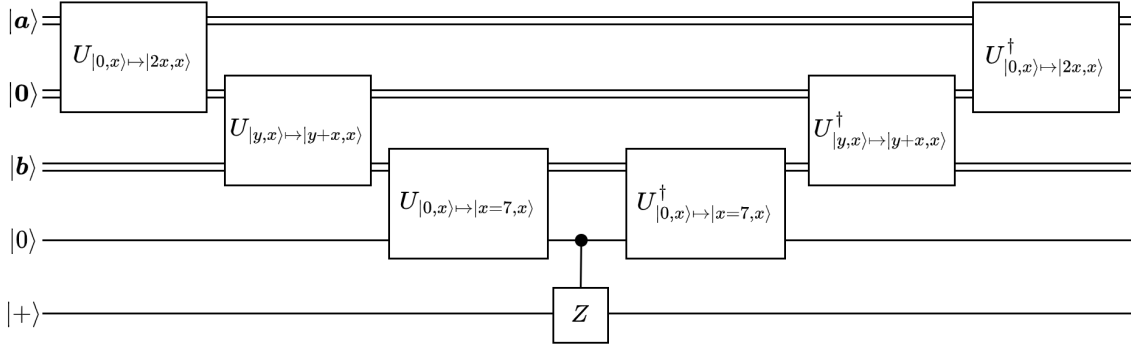


Figura 18 – Exemplo de oráculo que marca as soluções da expressão  $2a + b = 7$

Observe que o circuito apresentado acima é composto pelos seguintes operadores aritméticos e relacionais:  $U_{|0,x> \mapsto |2x,x>}$  (multiplicação por constante),  $U_{|y,x> \mapsto |y+x,x>}$  (soma registrador-por-registrador) e  $U_{|0,x> \mapsto |x=7,x>}$  (igualdade registrador-por-constante). Além desses operadores, há uma porta lógica *Controlled-Z*. Uma vez que o papel do operador  $U_{|0,x> \mapsto |x=7,x>}$  é atribuir um resultado ao *qubit* alvo invertendo o estado deste de  $|0\rangle$  para  $|1\rangle$ , quem se encarrega de multiplicar o estado geral da sequência de registradores por  $-1$  é a porta *Controlled-Z*. Ignorando o último *qubit* (aquele inicializado como  $|+\rangle$ ), o procedimento do circuito acima consiste em 5 etapas:

1. transformar o estado inicial  $|a, 0, b, 0\rangle$  em  $|a, 2a, b, 0\rangle$  usando o operador  $U_{|0,x> \mapsto |2x,x>}$ ;
2. transformar o estado  $|a, 2a, b, 0\rangle$  em  $|a, 2a, 2a+b, 0\rangle$  usando o operador  $U_{|y,x> \mapsto |y+x,x>}$ ;
3. transformar o estado  $|a, 2a, 2a+b, 0\rangle$  em  $|a, 2a, 2a+b, 1\rangle$  caso  $2a+b=7$ , e  $|a, 2a, 2a+b, 0\rangle$  caso  $2a+b \neq 7$ , usando o operador  $U_{|0,x> \mapsto |x=7,x>}$ ;
4. Aplicar a porta *Controlled-Z* para multiplicar o estado conjunto de todos os registradores do circuito por  $-1$  caso  $2a+b=7$ ;
5. Reverter os passos 1, 2 e 3.

No caso em que se deseja resolver a equação  $2a+b=7$  para, por exemplo,  $a \in \{1, 3, 5\}$  e  $b \in \{2, 4, 6\}$ , o primeiro e o terceiro registrador da figura 18 devem ser inicializados como, respectivamente,  $|a\rangle = \frac{|1\rangle+|3\rangle+|5\rangle}{\sqrt{3}}$  e  $|b\rangle = \frac{|2\rangle+|4\rangle+|6\rangle}{\sqrt{3}}$ .

Observe também que o circuito quântico da figura 18 é composto, para além dos registradores básicos que armazenam os operandos e o resultado da expressão  $2a+b=7$ , de *qubits* e registradores auxiliares, comumente chamados de *ancillas* na literatura, responsáveis por armazenar resultados temporários, como  $2a$  e  $2a+b$ . Reduzir a quantidade de registradores e *qubits* auxiliares necessários para resolver uma determinada expressão

é um importante desafio de otimização, pois tanto os simuladores como os computadores quânticos da era atual são muito limitados em relação à quantidade de *qubits* com que podem trabalhar. A estratégia adotada no presente trabalho para otimizar o uso de registradores e *qubits* auxiliares é a constante “limpeza” destes. O termo “limpeza” refere-se a reversão de um estado corrente para o estado inicial  $|0, \dots, 0\rangle$  após o devido uso da informação temporária armazenada no auxiliar, o que é feito aplicando, de forma inversa, todos os operadores que alteraram seu estado para diferente de  $|0, \dots, 0\rangle$ .



---

## Implementação do compilador *DLQpiler*

Compiladores são ferramentas fundamentais no desenvolvimento de *software* moderno. Estes são, basicamente, ferramentas que traduzem código de alto nível de abstração – ou seja, de fácil interpretação por humanos – em código intermediário ou de máquina, facilitando o trabalho dos programadores. Dentre os exemplos clássicos, pode-se citar os compiladores das linguagens: Fortran, criado pela equipe de John Backus na IBM durante a década de 1950 (BACKUS et al., 1957); COBOL (*Common Business-Oriented Language*), criado por Grace Hopper e sua equipe, também durante a década de 1950 (SAMMET, 1978); C, criado por Dennis Ritchie na década de 1970 (KERNIGHAN; RITCHIE, 1978); e Pascal, criado por Niklaus Wirth na década de 1970 (WIRTH, 2000). Exemplos notáveis de compiladores modernos da computação clássica são: GCC (GNU *Compiler Collection*), uma coleção de compiladores de código aberto para as linguagens C, C++, *Objective-C*, Ada e Fortran; CLang, um compilador de código aberto baseado no projeto LLVM (*Low Level Virtual Machine*), com suporte às linguagens C, C++, *Objective-C* e *Swift*; e Javac (*Java Compiler*), o compilador da linguagem Java, que traduz o código de alto-nível em *bytecode* para a Máquina Virtual Java (JVM).

O compilador *DLQpiler* é um dos principais frutos do presente trabalho. Escrito em linguagem Python, o compilador faz uso do SDK de computação quântica Qiskit, desenvolvido pela IBM, e da biblioteca PLY, responsável pela análise léxica e sintática dos códigos fontes em DLQ. O processo de compilação do código DLQ se dá pelas seguintes etapas:

1. **análise léxica:** nesta etapa, os lexemas da linguagem (*tokens*) são reconhecidos no texto e sequenciados;
2. **análise sintática:** nesta etapa, verifica-se a acórdância da sequência de lexemas com a gramática da linguagem e, concomitantemente, gera-se uma estrutura de árvore sintática;
3. **síntese:** nesta etapa, um código intermediário – que, neste caso, é um circuito quântico – é gerado a partir de uma análise recursiva da árvore sintática.

Ao longo deste capítulo, serão apresentados: o paradigma, a sintaxe e a estrutura do compilador *DLQpiler*.

## 4.1 Paradigma

Como já dito em capítulos anteriores, DLQ é uma linguagem declarativa, o que quer dizer que o código de alto nível é uma descrição do problema a ser resolvido, e não necessariamente o passo-a-passo da resolução do problema, como no caso das linguagens imperativas. Em geral, linguagens declarativas não admitem estados mutáveis nem estruturas de controle: é o caso da DLQ. Esta linguagem, em sua atual versão, é pensada para ser utilizada na resolução de problemas de satisfatibilidade envolvendo expressões algébricas simples. Os principais elementos da linguagem são:

- ❑ **Variáveis** - objetos matemáticos que são definidos em termos de conjuntos de pertinência ou de expressões algébricas, e que não necessariamente possuem valor definido até que o programa seja executado;
- ❑ **Operadores** - símbolos que compõem as expressões algébricas, podendo ser aritméticos, relacionais ou lógicos;
- ❑ **Terminadores** - sentença final do código que especifica o problema a ser resolvido.

Para elucidar o funcionamento da linguagem, um exemplo: deseja-se encontrar dois números primos de 0 a 10 que, se multiplicados, resultam em 15. Para resolver este problema, utiliza-se o seguinte código DLQ:

```
p1[4] in {2, 3, 5, 7};  
p2[4] in {2, 3, 5, 7};  
y[1] := p1*p2=15;  
amplify y 2 times
```

O código acima é composto pelas variáveis **p1**, **p2** e **y**. **p1** e **p2** possuem, ambas, 4 bits, e são definidas em termos de conjuntos de pertinência. As definições dessas duas primeiras variáveis indicam que elas podem valer 2, 3, 5 ou 7. Já a variável **y** possui apenas 1 bit e é definida como a expressão **p1\*p2=15**. A última linha contém o terminador *amplify*, indicando que o algoritmo de busca de Grover deve ser aplicado com 2 iterações para buscar os valores de **p1** e **p2** para os quais **y=1**. A síntese deste código resultará em um circuito quântico em que **p1**, **p2** e **y** são registradores de, respectivamente, 4, 4 e 1 *qubits*, havendo também uma série de *qubits* auxiliares. No próximo capítulo, os possíveis resultados deste código, bem como de outros códigos, serão apresentados.



## 4.2 Gramática

Linguagens de programação são idiomas formais com gramáticas bem definidas. De acordo com a hierarquia de Chomsky, as gramáticas formais são classificadas como: regulares (tipo 3), livres de contexto (tipo 2), sensíveis ao contexto (tipo 1) e, por fim, com estruturas de frase (tipo 0).

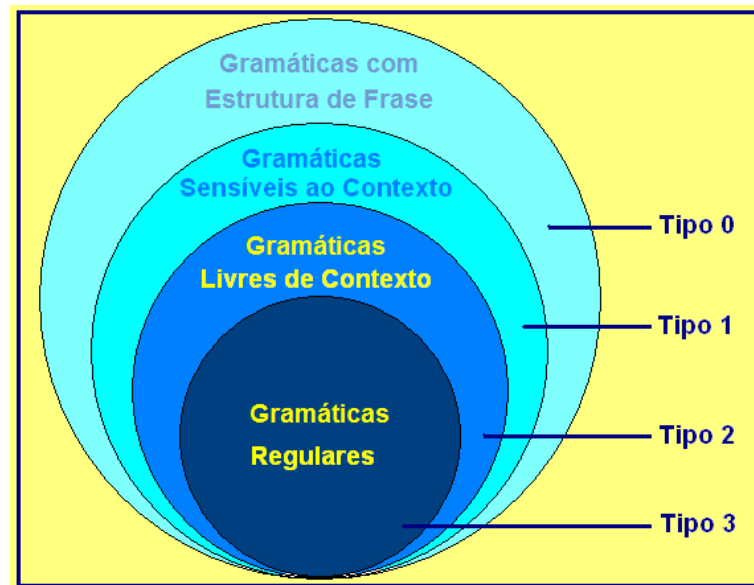


Figura 19 – Representação diagramática da hierarquia de Chomsky. Imagem retirada de Wikimedia Commons, de autoria de Ricardo Ferreira de Oliveira, sob licença CC BY-SA 3.0 <<https://creativecommons.org/licenses/by-sa/3.0/>>

O compilador *DLQpiler* implementa uma gramática livre de contexto para a análise sintática e um conjunto de gramáticas regulares para a análise léxica.

### 4.2.1 Gramáticas regulares e análise léxica

Gramática regular é um conceito fundamental da teoria de linguagens formais. Estas gramáticas descrevem conjuntos de *strings* (sequências de caracteres) que podem ser reconhecidas e geradas por máquinas de estados finitos. Em um compilador, a definição de uma gramática regular se dá, em geral, por uma expressão regular.

O dicionário de símbolos e expressões regulares do analisador léxico do compilador *DLQpiler* é o seguinte:

Nome	Símbolo ou expressão regular
NUMBER	[0-9]+
ID	[a-zA-Z_][a-zA-Z_0-9]*
PLUS	+
MINUS	-
MUL	*
DIVIDE	/
HAT	^
EQUAL	=
NEQ	!=
LT	<
GT	>
COMMA	,
ASSIGN	:=
LPAREN	(
RPAREN	)
LCURLY	{
RCURLY	}
LBRACKET	[
RBRACKET	]
SEMICOLON	;

Tabela 2 – Dicionário de símbolos e expressões regulares do *DLQpiler*

A expressão regular **NUMBER** engloba todas as *strings* formadas por dígitos de 0 a 9, enquanto **ID** (identificador) engloba as strings que iniciam com letras ou *underline*, e prosseguem com letras, *underlines* e dígitos de 0 a 9.

Há também um conjunto de palavras reservadas da linguagem, que são reconhecidas como **ID** pelo analisador léxico, mas que fazem parte da sintaxe da linguagem e não devem ser usadas para nomear variáveis. São elas: **in**, **and**, **or**, **not**, **true**, **false**, **amplify** e **times**.

### 4.2.2 Gramáticas livre de contexto e análise sintática

Uma gramática livre de contexto é um sistema formal usado para descrever a estrutura e a sintaxe de uma linguagem, consistindo em um conjunto de regras de produção que define como sentenças válidas podem ser construídas nesta linguagem.

Gramáticas livres de contexto são constituídas por sequências de regras de produção na forma  $A \rightarrow \alpha$ , onde  $A$  é um símbolo não-terminal e  $\alpha$  é uma cadeia de símbolos terminais ou não-terminais. Uma gramática livre de contexto composta por múltiplas regras de produção é analisada de forma recursiva, resultando em um grafo-árvore com símbolos do texto original. Veja o seguinte exemplo:

$$\begin{aligned}
C &\rightarrow B \acute{e} A \\
B &\rightarrow \text{Fulano} | \text{Ciclano} | \text{Beltrano} \\
A &\rightarrow \text{cuiabano} | \text{mineiro} | \text{paulista} | \text{carioca}
\end{aligned}$$

As regras de produção descritas acima formam uma gramática livre de contexto que contém frases como “Fulano é cuiabano”, “Ciclano é mineiro”, “Beltrano é carioca”, entre outras. Repare que, na regra de produção  $C \rightarrow B \acute{e} A$ ,  $B$  e  $A$  são símbolos não-terminais que representam, respectivamente, um nome e um gentílico, enquanto os símbolos terminais da gramática são “Fulano”, “Ciclano”, “Beltrano”, “cuiabano”, “mineiro”, “paulista”, “carioca” e “é”. Uma análise da frase “Fulano é cuiabano”, com base nesta gramática, resulta no seguinte grafo-árvore:

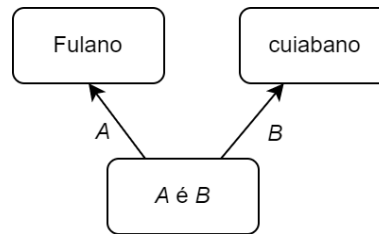


Figura 20 – Árvore resultante da análise da frase “Fulano é cuiabano” de acordo com uma gramática livre de contexto

No contexto das linguagens computacionais, esse tipo de grafo é denominado *Abstract Syntax Tree* (AST), ou simplesmente árvore sintática. Ferramentas de análise sintática automática, como a biblioteca PLY, são utilizadas para gerar ASTs a partir de *strings*. Nestas ferramentas, a gramática é descrita usando o formalismo de Backus-Naur (com pequenas variações), onde as regras de produção são grafadas na forma “<símbolo> ::= <cadeia>”. O exemplo de gramática apresentado acima fica, no formalismo de Backus-Naur, da seguinte forma:

```

<C> ::= <B> "é" <A>
<B> ::= "Fulano" | "Ciclano" | "Beltrano"
<A> ::= "Cuiabano" | "Mineiro" | "Paulista" | "Carioca"

```

A gramática livre de contexto da linguagem DLQ, no formalismo de Backus-Naur, é a seguinte:

```

<fullcode> ::= <regdefseq> <amplifyterm>
<amplifyterm> ::= "amplify" ID NUMBER "times"
<regdefseq> ::= <regdef> ";" <regdefseq> | <regdef> ";"
<regdef> ::= <regdefs> | <regdefx>

```

```

<regdefs> ::= ID "[" NUMBER "]" "in" "{" <expseq> "}"
<regdefx> ::= ID "[" NUMBER "]" ":@" <expression>
<expseq> ::= <expseq> "," <expression> | <expression>
<expression> ::= <expression> "or" <expression>
                | <expression> "and" <expression>
                | "not" <expression>
                | <expression> "=" <expression>
                | <expression> "!=" <expression>
                | <expression> "<" <expression>
                | <expression> ">" <expression>
                | <expression> "+" <expression>
                | <expression> "-" <expression>
                | <expression> "*" <expression>
                | <expression> "^" <expression>
                | <expression> "/" <expression>
                | "-" <expression> (unary minus)
                | "(" <expression> ")"
                | "false"
                | "true"
                | NUMBER
                | ID

```

Esta gramática, em particular, requer um recurso adicional denominado Tabela de Precedência, que define a ordem de prioridade dos operadores e as regras de associatividade destes. A tabela de precedência da linguagem DLQ é a seguinte:

Prioridade	Operadores	Associatividade
9 <sup>a</sup>	or	esquerda
8 <sup>a</sup>	and	esquerda
7 <sup>a</sup>	not	direita
6 <sup>a</sup>	<, >	esquerda
5 <sup>a</sup>	=, !=	esquerda
4 <sup>a</sup>	+, -	esquerda
3 <sup>a</sup>	*, /	esquerda
2 <sup>a</sup>	- ( <i>unary minus</i> )	direita
1 <sup>a</sup>	^	direita

Tabela 3 – Tabela de precedência da linguagem DLQ

### 4.3 Estrutura do compilador

O código-fonte do compilador é composto pelos seguintes módulos funcionais:

- ❑ **utils** - pequeno conjunto de recursos que são utilizados em todo o código;
- ❑ **lexer** - módulo onde a tabela de símbolos e expressões regulares é definida;
- ❑ **parser** - módulo onde as regras de produção da gramática e os procedimentos de geração de AST são definidos;
- ❑ **ast** - módulo onde definem-se as classes que representam os nós da AST;
- ❑ **qunits** - módulo onde os circuitos quânticos aritméticos, lógicos e relacionais apresentados no capítulo 3 são implementados;
- ❑ **synth** - módulo responsável pela síntese dos circuitos quânticos finais;
- ❑ **main** - módulo raiz do compilador, onde os pontos de entrada do usuário são definidos.

Este código fonte é parcialmente orientado a objetos, especialmente nos módulos **ast** e **synth**. A orientação a objetos é utilizada para tornar o código mais organizado, fácil de compreender e fácil de modificar. No módulo **ast**, os nós das árvores sintáticas geradas pelo analisador sintático são definidos como classes, e cada classe contém um pequeno conjunto de métodos recursivos de geração de circuito quântico. A hierarquia das classes do módulo **ast** é apresentada no diagrama da figura 21. As descrições dessas classes são as seguintes:

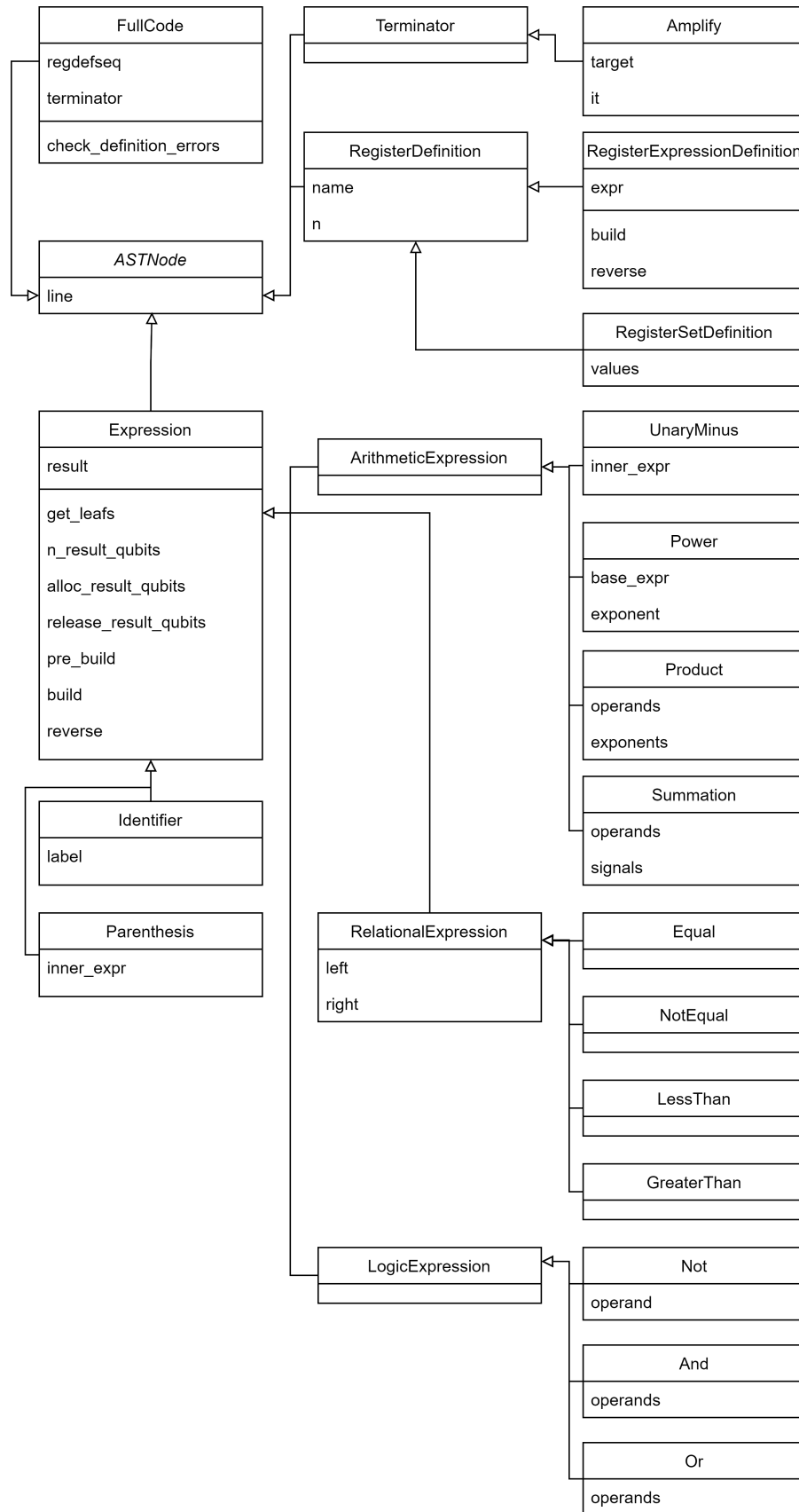
- ❑ **ASTNode** - A superclasse que engloba, em geral, os nós de AST. Esta classe é abstrata, ou seja, não deve ser instanciada diretamente. Seu principal atributo é a propriedade *line*, que armazena a numeração da linha de código correspondente do nó. Herda apenas **object**.
- ❑ **Expression** - A classe dos nós de expressões aritméticas, lógicas e relacionais. Herda a classe **ASTNode**. Seus principais métodos são:
  - get\_leafs** - método recursivo que retorna todos os identificadores usados na expressão;
  - n\_result\_qubits** - método recursivo que calcula a quantidade de *qubits* necessária para armazenar o resultado da expressão;
  - alloc\_result\_qubits** - método que aloca *qubits* auxiliares no circuito quântico para armazenar o resultado da expressão;
  - release\_result\_qubits** - método que libera os *qubits* de resultados quando já foram utilizados e seus estados já foram revertidos para  $|0, \dots, 0\rangle$ ;
  - pre\_build** - método recursivo que faz a preparação da árvore para que os métodos **n\_result\_qubits**, **build** e **reverse** possam ser utilizados;

**build** - método recursivo que gera um circuito quântico para resolver a expressão da árvore;

**reverse** - método que gera o circuito inverso do que é gerado pelo método **build**, necessário para reverter os estados dos *qubits* de resultado para  $|0, \dots, 0\rangle$ .

- ❑ **Identifier** - Classe que representa os identificadores (símbolos terminais que nomeiam variáveis). Herda **Expression**. Seu principal atributo é **label**, que armazena o símbolo terminal em forma de texto;
- ❑ **Parenthesis** - Classe que representa os parênteses das expressões. Herda **Expression**. Seu principal atributo é **inner\_expr**, que armazena o objeto **Expression** da expressão interna.
- ❑ **ArithmeticExpression** - Classe que representa os nós de expressões aritméticas. Herda **Expression**.
- ❑ **UnaryMinus** - Classe que representa os usos unários do operador *minus* (""). Herda **ArithmeticExpression**.
- ❑ **Power** - Classe que representa as operações de potenciação. Herda a classe **ArithmeticExpression**. Seus principais atributos são: **base\_expr**, que contém o nó raiz da expressão base, e **exponent**, que contém o expoente inteiro.
- ❑ **Product** - Classe que representa os produtórios (produtos de múltiplos operandos). Herda **ArithmeticExpression**. Seus principais atributos são: **operands**, que armazena uma lista de nós operandos, e **exponents**, que armazena uma lista de expoentes inteiros.
- ❑ **Summation** - Classe que representa os somatórios. Herda **ArithmeticExpression**. Seus principais atributos são: **operands**, que armazena uma lista de nós operandos, e **signals**, que armazena uma lista de sinais ("+" ou "-").
- ❑ **RelationalExpression** - Classe que representa as operações relacionais. Herda **Expression**. Seus principais atributos são: **left**, que armazena o nó raiz da expressão à esquerda do operador relacional, e **right**, que armazena o nó raiz da expressão à direita do operador relacional.
- ❑ **Equal**, **NotEqual**, **LessThan** e **GreaterThan** - Classes que representam os operadores relacionais. Herdam **RelationalExpression**.
- ❑ **LogicExpression** - Classe que representa as operações lógicas (booleanas). Herda **Expression**.
- ❑ **Not** - Classe que representa o operador lógico *not*. Herda **LogicExpression**. Seu principal atributo é **operand**, que armazena o nó raiz do operando.

- **And** e **Or** - Classes que representam os operadores lógicos *and* e *or*. Herdam **LogicExpression**. Possuem, ambas, o atributo **operands**, que contém uma lista de 2 ou mais operandos.
  
- **RegisterDefinition** - Classe que representa um *statement* de definição de variável. Herda **ASTNode**. Seus atributos são: **name**, que contém o nome da variável definida, e **n**, que contém o tamanho da variável em **qubits**.
  
- **RegisterExpressionDefinition** - Classe que representa a definição de uma variável como uma expressão. Herda **RegisterDefinition**. Seus principais métodos são: **build**, que gera o circuito quântico da expressão, e **reverse**, que gera o circuito quântico inverso da expressão. Seu principal atributo é **expr**, que contém o nó raiz da expressão.
  
- **RegisterSetDefinition** - Classe que representa a definição de uma variável em termos de um conjunto de valores. Herda **RegisterDefinition**. Seu principal atributo é **values**, que contém os valores do conjunto de pertinência da variável.
  
- **Terminator** - Classe que representa os terminadores. Herda **ASTNode**.
  
- **Amplify** - Classe que representa o terminador *amplify*. Herda **Terminator**. Seus principais atributos são: **target**, que contém o nome a variável alvo da busca de Grover, e **it**, que contém o número de iterações da busca de Grover.
  
- **FullCode** - Classe que representa o nó raiz da AST. Herda **ASTNode**. Seus principais atributos são: **regdefseq**, que contém uma lista de nós do tipo **RegisterDefinition**, e **terminator**, que contém um nó do tipo **Terminator**.

Figura 21 – Diagrama de classes do módulo **ast**

O módulo **synth** contém a classe *QuantumEvaluator*. Enquanto os métodos *build*



e *reverse* da classe **Expression** são responsáveis pela geração dos circuitos aritméticos, lógicos e relacionais, que constituem os oráculos da busca de Grover, os métodos da classe **QuantumEvaluator** são responsáveis por construir as buscas de Grover completas, além de gerenciar os recursos do circuito quântico como um todo.

O código fonte completo do compilador *DLQpiler* está presente nos anexos desta monografia.

## 4.4 Processo de síntese de circuito quântico

Como já mencionado na seção anterior, a geração dos circuitos quânticos é feita pelos métodos *build* das classes **Expression** e **QuantumEvaluator**, sendo que, na classe **Expression**, este método é responsável pela construção do circuito que resolve uma expressão, enquanto na classe **QuantumEvaluator**, o método é responsável por construir a busca de Grover completa. De modo superficial, o método *build* da classe **QuantumEvaluator** pode ser descrito da seguinte forma:

1. Crie um *qubit* auxiliar chamado *phase* e aplique sobre ele uma porta Hadamard.
2. Para cada nó do tipo **RegisterDefinition** na AST, faça:
  - a) Se o nó é do tipo **RegisterSetDefinition**, com especificação de tamanho  $n$  e conjunto de valores  $\{v_1, v_2, \dots, v_m\}$ , crie um registrador quântico de  $n$  *qubits* e, sobre ele, aplique um operador unitário para transformar seu estado inicial  $|0, \dots, 0\rangle$  em  $|\psi\rangle = \frac{1}{\sqrt{m}}(|v_1\rangle + |v_2\rangle + \dots + |v_m\rangle)$ . Para isso, pode-se usar a porta **StatePreparation**, da plataforma Qiskit.
  - b) Se o nó é do tipo **RegisterExpressionDefinition**, com especificação de tamanho  $n$ , crie um registrador de  $n$  *qubits*, defina-o como registrador de resultado do nó **Expression** interno, execute o método *pre\_build* do nó interno e, depois, execute o método *build* do nó interno para construir o circuito que resolve a expressão.
3. Obtenha o *qubit* mais significativo do registrador correspondente à variável alvo do programa (cujo nome é especificado no atributo **target** do nó **Amplify**) e aplique uma porta *Z* controlada por este *qubit* sobre o *phase qubit*.
4. Reverta os circuitos gerados no passo 2.
5. Este é o passo de geração do operador de difusão. Sobre cada *qubit* do circuito, exceto o *phase qubit*, aplique uma porta *X*, e sobre o *phase qubit*, aplique uma porta *Z*. Em seguida, aplique sobre o *phase qubit* uma porta *X* controlada por todos os outros *qubits*. Por fim, aplique novamente uma porta *Z* sobre o *phase qubit* e portas *X* sobre os demais *qubits*.

6. Considerando que, no nó **Amplify** da AST, a especificação de número de iterações contida no atributo **it** é  $n_i$ , repita os passos 2, 3, 4 e 5 mais  $n_i - 1$  vezes.
7. Repita o passo 2.
8. Por fim, adicione portas de medição sobre os registradores não-auxiliares.

A construção do circuito de resolução de expressão, desempenhada pelo método **Expression.build**, é feita de forma recursiva em intra-ordem – ou seja, para cada nó da expressão na AST, gera-se, primeiro, os circuitos das sub-árvores, e depois gera-se o circuito do nó atual. A figura 22 mostra um exemplo ilustrado de geração de circuito quântico de resolução de expressão a partir de uma AST.

Quando necessária, a alocação dos *qubits* de resultado de cada nó é feita, algumas vezes, no método **build**, e outras vezes no método **pre\_build**, a depender da classe do nó.

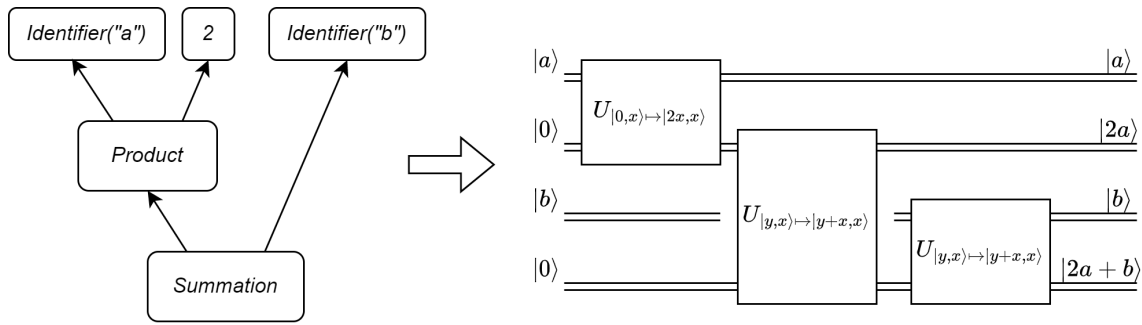


Figura 22 – Ilustração da transformação de uma AST em um circuito quântico para resolver uma expressão

## Exemplos de códigos

Neste capítulo, dois exemplos simples de aplicação da linguagem DLQ, bem como os resultados obtidos nas simulações dos circuitos quânticos gerados pelo compilador, são apresentados. Estes são exemplos didáticos e também provas de conceito do presente projeto.

### 5.1 Exemplo 1 - satisfatibilidade booleana

O problema da satisfatibilidade booleana consiste em verificar se uma expressão booleana de  $n$  variáveis binárias é satisfatível. Este foi o primeiro problema computacional a ser provado NP-completo. Como exemplo, usemos a expressão  $(x_1 \vee \neg x_3 \vee x_4) \wedge (\neg x_2 \vee x_3 \vee \neg x_4)$ . O código para resolver este problema é o seguinte:

```
x1[1] in {false, true};
x2[1] in {false, true};
x3[1] in {false, true};
x4[1] in {false, true};
y[1] := (x1 or not x3 or x4) and (not x2 and x3 and not x4);
amplify y 3 times
```

Repare que, neste código, utiliza-se 3 iterações da busca de Grover. Este número de iterações pode ser calculado a partir da fórmula  $\left\lfloor \frac{\pi}{4} \sqrt{\frac{N}{s}} \right\rfloor$ , considerando que o tamanho do espaço de busca é  $N = 2^4 = 16$  e supondo que o número de soluções é  $s = 1$ . Mais ou menos iterações que isto resultará em menores probabilidades de uma solução ser encontrada.

Ao fazer a compilação do código e executar o circuito quântico obtido usando o simulador `aer_simulator`, da plataforma Qiskit, com 1024 *shots*, obteve-se a seguinte tabela de resultados:

	x1	x2	x3	x4	y	\$freq
0	1	0	1	0	1	931
1	1	1	1	1	0	10
2	0	0	1	0	0	9
3	0	1	1	1	0	9
4	1	1	0	0	0	8
5	1	1	0	1	0	7
6	0	1	1	0	0	7
7	0	1	0	0	0	6
8	0	0	0	1	0	6
9	0	1	0	1	0	6
10	1	0	0	0	0	5
11	1	0	1	1	0	4
12	0	0	1	1	0	4
13	1	1	1	0	0	4
14	0	0	0	0	0	4
15	1	0	0	1	0	4

Tabela 4 – Tabela de resultados do exemplo 1

Cada *shot* é uma execução do circuito no simulador. Em cada uma dessas execuções, uma tupla contendo um valor para cada variável do código é obtida de forma indeterminística (e esse indeterminismo se deve ao fenômeno do colapso do estado quântico). Se o número de iterações especificadas no terminador *amplify* for apropriado, espera-se que a probabilidade de obtenção de uma tupla de valores que representem a solução do problema seja alta. A tabela de resultados mostra as tuplas de valores obtidas em um determinado número de execuções do circuito quântico, cada uma com sua frequência absoluta.

Observe que, de acordo com a tabela, a probabilidade da solução  $(x_1, x_2, x_3, x_4) = (1, 0, 1, 0)$  ser obtida como resultado é de, aproximadamente, 91%, o que é um bom resultado.

O circuito quântico resultante da compilação do código deste exemplo é exibido na figura 23, nos anexos.

## 5.2 Exemplo 2 - fatoração prima

O problema da fatoração prima consiste em encontrar, para um  $x \in \mathbb{N}$  qualquer, um par de números primos  $(p_1, p_2)$  tal que  $p_1 p_2 = x$ . Como exemplo, tomemos  $x = 15$ . O código para resolver este problema é o seguinte:

```
p1[4] in {2, 3, 5, 7};
p2[4] in {2, 3, 5, 7};
y[1] := p1*p2=15;
```

`amplify y 2 times`

O número de iterações é calculado considerando um tamanho de espaço de busca  $N = 4^2 = 16$  e um número de soluções  $s = 2$ . A tabela de resultados da simulação do circuito quântico obtido, usando o simulador `aer_simulator`, com 1024 *shots* de simulação, é mostrada a seguir.

	p1	p2	y	\$freq
0	5	3	1	474
1	3	5	1	455
2	3	2	0	12
3	3	7	0	12
4	5	7	0	10
5	5	2	0	9
6	2	3	0	9
7	7	5	0	7
8	2	5	0	7
9	2	7	0	6
10	7	7	0	6
11	3	3	0	6
12	7	3	0	4
13	5	5	0	4
14	2	2	0	2
15	7	2	0	1

Tabela 5 – Tabela de resultados do exemplo 2

Repare que, de acordo com a tabela, as soluções  $(p_1, p_2) = (5, 3)$  e  $(p_1, p_2) = (3, 5)$  são obtidas com, respectivamente, 46% e 44% de frequência relativa. Considerando que as duas soluções, juntas, têm 90% de frequência relativa, é um bom resultado.

O circuito quântico resultante da compilação do código deste exemplo é exibido na figura 24, nos anexos.



---

## Considerações finais

O presente trabalho apresenta um projeto de linguagem de programação de aplicação específica, de fácil aprendizagem e fácil interpretação, para o desenvolvimento de programas de computador quântico. O projeto é, a princípio, simples e de aplicabilidade limitada, porém extensível, e portanto deve ser visto apenas como um protótipo. Dentre as melhorias que podem ser feitas na linguagem, pode-se citar as seguintes:

- ❑ **Mais tipos de dados** - na versão atual, a linguagem não conta com um sistema de tipos, de modo que o único tipo de dado reconhecido é o inteiro sem sinal (natural). Uma das principais melhorias que podem ser feitas na linguagem é a implementação de um sistema de tipos forte e estático, bem como a adição de mais tipos de dados, como inteiros com sinal, números com ponto flutuante e *strings*.
- ❑ **Mais operadores** - a versão atual da linguagem conta apenas com as operações de adição (+), subtração (-), multiplicação (\*), potenciação ( $\hat{\phantom{x}}$ ), igualdade (=), não-igualdade ( $\neq$ ), maior-que (>), menor-que (<), *not*, *or* e *and*. Uma melhoria que pode ser feita é o acréscimo de mais operadores. Exemplos de operadores numéricos que podem ser adicionados são: exponenciação (que, diferente da potenciação, tem expoente variável), valor absoluto, divisão, raiz, seno, cosseno, etc.
- ❑ **Elementos de programação funcional** - recursos como funções puras, listas, tuplas, operadores ternários (como *if* e *for*), e operadores de processamento de listas, como *map*, *reduce* e *filter*, podem ser incorporados à linguagem DLQ em versões futuras.
- ❑ **Mais terminadores** - o único terminador presente na versão atual da linguagem é o *amplify*, que é uma indicação de que o algoritmo de busca de Grover deve ser aplicado, com especificação manual de número de iterações. Desse modo, a única aplicação da linguagem é a resolução de problemas de satisfatibilidade. No entanto, mais terminadores, baseados em outros algoritmos quânticos conhecidos, podem ser incorporados para ampliar o leque de aplicações da DLQ. Por exemplo: é possível

criar um terminador de contagem de soluções, ou mesmo um terminador de busca de soluções sem especificação manual de número de iterações, tomando como base o algoritmo quântico de contagem de Brassard et. al (1998). Outra possibilidade é a incorporação de terminadores de otimização, busca de valor mínimo e busca de valor máximo, baseando-se em algoritmos como *Quantum Approximate Optimization Algorithm* (QAOA) (FARHI; GOLDSTONE; GUTMANN, 2014), *Grover Adaptive Search* (GAS) (GILLIAM; WOERNER; GONCIULEA, 2021), ou o algoritmo de busca de valor mínimo de Durr e Hoyer (1999).

- ❑ **Mais otimização** - uma das principais qualidades de um compilador é seu poder de otimização (ou seja, sua capacidade de minimizar a complexidade, o número de instruções e o consumo de memória de um programa). O compilador *DLQpiler* tem otimizações modestas, e, portanto, a incorporação de técnicas mais sofisticadas de otimização é uma possibilidade relevante de melhoria.
- ❑ **Robustez ao ruído** - na versão atual do *DLQpiler*, não há métodos de redução e mitigação de ruídos quânticos (decoerência) implementados, fazendo com que o uso deste só seja possível em ambientes ideais simulados. Para que a linguagem DLQ se torne útil na prática, é fundamental que métodos de mitigação e redução de ruídos sejam adicionados ao compilador.

Conclui-se que o projeto DLQ ainda não tem o nível de maturidade necessário para o uso comercial, mas já tem prova de conceito, e pode ser útil para fins acadêmicos. Sua maturação dependerá de seu desenvolvimento contínuo e da formação de uma comunidade de usuários e contribuidores. Espera-se que, nos próximos anos, a demanda por tecnologias baseadas em computação quântica aumente, os sistemas computacionais quânticos evoluam e tornem-se mais acessíveis, e, por conseguinte, o interesse por ferramentas como a linguagem DLQ cresça, favorecendo a formação de uma comunidade em torno do projeto, ou até mesmo de projetos similares.

Uma forma de medir a maturidade de um projeto de engenharia é a escala *Technology Readiness Level* (TRL), desenvolvida na NASA (TZINIS, 2015). Os níveis de maturidade, nesta escala, são definidos da seguinte forma:

- ❑ TRL1 - princípios básicos observados e reportados;
- ❑ TRL2 - conceito e aplicação da tecnologia formulados;
- ❑ TRL3 - prova experimental de conceito;
- ❑ TRL4 - tecnologia validada em ambiente simulado;
- ❑ TRL5 - tecnologia validada em ambiente relevante;
- ❑ TRL6 - protótipo do sistema demonstrado em ambiente relevante;



- ❑ TRL7 - demonstração do protótipo do sistema em ambiente operacional;
- ❑ TRL8 - sistema completo e qualificado;
- ❑ TRL9 - sistema real comprovado em ambiente operacional.

Na escala TRL, o compilador *DLQpiler* está situado em TRL3, uma vez que tem provas experimentais de conceito, mas ainda não é perfeito em ambiente simulado, havendo *bugs* para serem corrigidos e testes mais rigorosos a serem feitos.

Atualmente, há diversos serviços de computação quântica em nuvem (como o IBM *Quantum* e o AWS *Braket*). No entanto, os sistemas de computação quântica mais avançados, como o IBM *Osprey*, ainda são de acesso restrito, fazendo com que os testes do *DLQpiler* se limitem às simulações, o que dificulta o desenvolvimento da linguagem DLQ e faz com que seja inviável implementar recursos muito específicos e custosos a curto prazo. A maturação do projeto DLQ depende diretamente da maturação da computação quântica em geral.



---

## Referências

- AHARONOV, D.; BEN-OR, M. Fault-tolerant quantum computation with constant error. In: **Proceedings of the Twenty-Ninth Annual ACM Symposium on Theory of Computing**. New York, NY, USA: Association for Computing Machinery, 1997. (STOC '97), p. 176–188. ISBN 0897918886. Disponível em: <<https://doi.org/10.1145/258533.258579>>.
- BACKUS, J. W. et al. The fortran automatic coding system. In: **Papers presented at the February 26-28, 1957, western joint computer conference: Techniques for reliability on - IRE-AIEE-ACM '57 (Western)**. Los Angeles, California: ACM Press, 1957. p. 188–198. Disponível em: <<http://portal.acm.org/citation.cfm?doid=1455567.1455599>>.
- BENIOFF, P. Quantum mechanical hamiltonian models of turing machines. **Journal of Statistical Physics**, v. 29, n. 3, p. 515–546, 1982.
- BRASSARD, G.; HØYER, P.; TAPP, A. Quantum counting. In: LARSEN, K. G.; SKYUM, S.; WINSKEL, G. (Ed.). **Automata, Languages and Programming**. Berlin, Heidelberg: Springer, 1998. (Lecture Notes in Computer Science), p. 820–831. ISBN 978-3-540-68681-1.
- CHILDS, A. M. et al. Exponential algorithmic speedup by a quantum walk. **Proceedings of the thirty-fifth ACM symposium on Theory of computing - STOC '03**, 2003.
- COPPERSMITH, D. **An approximate Fourier transform useful in quantum factoring**. 1994.
- D'ALESSANDRO, D.; DAHLEH, M. Optimal control of two-level quantum systems. **IEEE Transactions on Automatic Control**, v. 46, n. 6, p. 866–876, 2001.
- DEUTSCH, D. Quantum theory, the church–turing principle and the universal quantum computer. **Proceedings of the Royal Society of London. A. Mathematical and Physical Sciences**, v. 400, n. 1818, p. 97–117, Jul 1985.
- DEUTSCH, D.; JOZSA, R. Rapid solution of problems by quantum computation. **Proceedings of the Royal Society of London. Series A: Mathematical and Physical Sciences**, v. 439, n. 1907, p. 553–558, Dec 1992.
- DRAPER, T. G. **Addition on a Quantum Computer**. 2000.

- DURR, C.; HOYER, P. A quantum algorithm for finding the minimum. arXiv, n. arXiv:quant-ph/9607014, Jan 1999. ArXiv:quant-ph/9607014. Disponível em: <<http://arxiv.org/abs/quant-ph/9607014>>.
- FARHI, E.; GOLDSTONE, J.; GUTMANN, S. **A Quantum Approximate Optimization Algorithm**. arXiv, 2014. Disponível em: <<https://arxiv.org/abs/1411.4028>>.
- FEYNMAN, R. P. Simulating physics with computers. **International Journal of Theoretical Physics**, v. 21, n. 6-7, p. 467–488, 1982.
- GILLIAM, A.; WOERNER, S.; GONCIULEA, C. Grover adaptive search for constrained polynomial binary optimization. **Quantum**, Verein zur Förderung des Open Access Publizierens in den Quantenwissenschaften, v. 5, p. 428, Apr 2021.
- GROVER, L. K. A fast quantum mechanical algorithm for database search. **Proceedings of the twenty-eighth annual ACM symposium on Theory of computing - STOC '96**, 1996.
- HEIM, B. et al. Quantum programming languages. **Nature Reviews Physics**, v. 2, n. 12, p. 709–722, 2020.
- HUANG, H.-L. et al. Superconducting quantum computing: A review. **Science China Information Sciences**, v. 63, n. 8, 2020.
- HÄFFNER, H.; ROOS, C.; BLATT, R. Quantum computing with trapped ions. **Physics Reports**, v. 469, n. 4, p. 155–203, 2008. ISSN 0370-1573. Disponível em: <<https://www.sciencedirect.com/science/article/pii/S0370157308003463>>.
- KERNIGHAN, B. W.; RITCHIE, D. M. **The C programming language**. 1978.
- KOK, P. et al. Linear optical quantum computing with photonic qubits. **Rev. Mod. Phys.**, American Physical Society, v. 79, p. 135–174, Jan 2007. Disponível em: <<https://link.aps.org/doi/10.1103/RevModPhys.79.135>>.
- LEE, R. Accelerating multimedia with enhanced microprocessors. **IEEE Micro**, v. 15, n. 2, p. 22–32, 1995.
- LLOYD, S.; MOHSENI, M.; REBENTROST, P. **Quantum algorithms for supervised and unsupervised machine learning**. arXiv, 2013. Disponível em: <<https://arxiv.org/abs/1307.0411>>.
- NIELSEN, M. A.; CHUANG, I. L. **Quantum Computation and Quantum Information**. [S.l.]: Cambridge University Press, 2000.
- PRESKILL, J. **Fault-tolerant quantum computation**. arXiv, 1997. Disponível em: <<https://arxiv.org/abs/quant-ph/9712048>>.
- \_\_\_\_\_. Quantum computing in the nisc era and beyond. **Quantum**, v. 2, p. 79, 2018.
- RUIZ-PEREZ, L.; GARCIA-ESCARTIN, J. C. Quantum arithmetic with the quantum fourier transform. **Quantum Information Processing**, v. 16, n. 6, p. 152, Apr 2017. ISSN 1573-1332.

SAMMET, J. E. The early history of cobol. In: \_\_\_\_\_. **History of programming languages**. New York, NY, USA: Association for Computing Machinery, 1978. p. 199–243. ISBN 978-0-12-745040-7. Disponível em: <<https://doi.org/10.1145/800025.1198367>>.

SHOR, P. W. Polynomial-time algorithms for prime factorization and discrete logarithms on a quantum computer. **SIAM Journal on Computing**, v. 26, n. 5, p. 1484–1509, 1997.

TZINIS, I. **Technology Readiness Level**. Brian Dunbar, 2015. Disponível em: <[http://www.nasa.gov/directorates/heo/scan/engineering/technology/technology\\_readiness\\_level](http://www.nasa.gov/directorates/heo/scan/engineering/technology/technology_readiness_level)>.

WETERING, J. van de. Zx-calculus for the working quantum computer scientist. arXiv, n. arXiv:2012.13966, Dec 2020. ArXiv:2012.13966 [quant-ph]. Disponível em: <<http://arxiv.org/abs/2012.13966>>.

WIRTH, N. The development of procedural programming languages personal contributions and perspectives. In: **Modular Programming Languages**. Springer, Berlin, Heidelberg, 2000. p. 1–10. Disponível em: <[https://link.springer.com/chapter/10.1007/10722581\\_1](https://link.springer.com/chapter/10.1007/10722581_1)>.



## Anexos





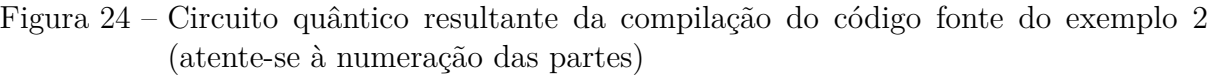
ANEXO **A**

---

## **Circuitos quânticos dos exemplos**



Figura 23 – Circuito quântico resultante da compilação do código fonte do exemplo 1 (atente-se à numeração das partes)





## Código fonte do DLQpiler

### B.1 Módulo *utils.py*

```

1 #Filipe Chagas, 2023
2
3 from typing import *
4 from math import sqrt
5
6 def is_none(obj) -> bool:
7     """
8     :param obj: Object or None
9     :type obj: Any type
10    :return: True if obj is None
11    :rtype: bool
12    """
13    return isinstance(obj, type(None))
14
15 def natural_to_binary(x: int, n: int) -> List[bool]:
16     """Returns x in the binary system.
17     :param x: Natural (including zero) to convert.
18     :type x: int
19     :param n: Number of bits.
20     :type n: int
21     :return: List of bits. Each bit is a bool. Most significant bit last
22     .
23     :rtype: List[bool]
24     """
25     assert n > 0
26     x = x % 2**n
27     return [bool((x//2**i)%2) for i in range(n)]
28
29 def binary_to_natural(x: List[bool]) -> int:
30     """Returns x as a natural number (including zero).
31     :param x: List of bits. Most significant bit last.

```

```

31     :type x: List[bool]
32     :return: Natural number (including zero).
33     :rtype: int
34     """
35     n = len(x)
36     return sum([(2**i)*int(x[i]) for i in range(n)])
37
38 def set_to_statevector(values: Set[int], size: int) -> List[float]:
39     """Return the statevector of a register initialized with a set of
40     positive integer values.
41
42     :param values: Superposed values
43     :type values: Set[int]
44     :param size: Register's size
45     :type size: int
46     :return: Statevector as a list of float values
47     :rtype: List[float]
48     """
49     assert all([isinstance(v, int) for v in values])
50     assert all([v >= 0 for v in values])
51     assert all([v < 2**size for v in values])
52     assert isinstance(size, int) and size > 0
53
54     psi = [0 for i in range(2**size)]
55
56     for v in values:
57         psi[v] = 1/sqrt(len(values))
58
59     return psi

```

Listing B.1 – utils.py

## B.2 Módulo *qunits.py*

```

1  #Filipe Chagas, 2023
2
3  import qiskit
4  from itertools import product
5  from dlqpiler.utils import natural_to_binary
6  from math import *
7  from typing import *
8
9  def qft(n: int) -> qiskit.circuit.Gate:
10     """Returns a QFT gate for n qubits.
11
12     :param n: Number of target qubits.
13     :type n: int
14     :return: QFT gate.

```

```

15 :rtype: qiskit.circuit.Gate
16 """
17 def rotations(my_circuit: qiskit.circuit.Gate, m: int):
18     if m == 0:
19         return my_circuit
20     else:
21         my_circuit.h(m-1) #Add a Haddamard gate to the most
significant qubit
22
23         for i in range(m-1):
24             my_circuit.crz(pi/(2**(m-1-i)), i, m-1)
25
26             rotations(my_circuit, m-1)
27
28 my_circuit = qiskit.QuantumCircuit(n, name='QFT')
29
30 rotations(my_circuit, n)
31
32 for m in range(n//2):
33     my_circuit.swap(m, n-m-1)
34
35 return my_circuit.to_gate()
36
37 # --- Arithmetic circuits ---
38
39 def register_by_constant_addition(n: int, c: int) -> qiskit.circuit.Gate
:
40     """
41     Register-by-constant addition gate (simplified draper adder).
42     Get a gate to perform an addition of a constant $c$ to a integer
register.
43     No ancillary qubits needed.
44
45     :param n: Number of target qubits.
46     :type n: int
47     :param c: Constant to add.
48     :type c: int
49     :return: RCA gate.
50     :rtype: qiskit.circuit.Gate
51     """
52     assert n > 0
53
54     my_circuit = qiskit.QuantumCircuit(n, name=f'$U_{c}$')
55
56     my_qft = qft(n)
57     my_circuit.append(my_qft, list(range(n)))
58

```

```

59     for i in range(n):
60         theta = c * (pi / (2**(n-i-1)))
61         my_circuit.rz(theta, i)
62
63     my_circuit.append(my_qft.inverse(), list(range(n)))
64
65     return my_circuit.to_gate()
66
67 def register_by_register_addition(circ: qiskit.QuantumCircuit, src_reg:
List[qiskit.circuit.Qubit], target_reg: List[qiskit.circuit.Qubit]):
68     """Build a register-by-register addition circuit
69
70     :param circ: Target quantum circuit
71     :type circ: qiskit.QuantumCircuit
72     :param src_reg: Operand register
73     :type src_reg: List[qiskit.circuit.Qubit]
74     :param target_reg: Target register
75     :type target_reg: List[qiskit.circuit.Qubit]
76     """
77     for i in range(len(src_reg)):
78         controlled_addition = register_by_constant_addition(len(
target_reg), 2**i).control(1)
79         circ.append(controlled_addition, [src_reg[i]]+target_reg)
80
81 def register_by_register_addition_dg(circ: qiskit.QuantumCircuit,
src_reg: List[qiskit.circuit.Qubit], target_reg: List[qiskit.circuit.
Qubit]):
82     """Build an inverse register-by-register addition circuit
83
84     :param circ: Target quantum circuit
85     :type circ: qiskit.QuantumCircuit
86     :param src_reg: Operand register
87     :type src_reg: List[qiskit.circuit.Qubit]
88     :param target_reg: Target register
89     :type target_reg: List[qiskit.circuit.Qubit]
90     """
91     for i in range(len(src_reg))[:-1]:
92         controlled_addition = register_by_constant_addition(len(
target_reg), 2**i).inverse().control(1)
93         circ.append(controlled_addition, [src_reg[i]]+target_reg)
94
95 def register_by_register_subtraction(circ: qiskit.QuantumCircuit,
src_reg: List[qiskit.circuit.Qubit], target_reg: List[qiskit.circuit.
Qubit]):
96     """Build a register-by-register subtraction circuit
97
98     :param circ: Target quantum circuit

```



```

99     :type circ: qiskit.QuantumCircuit
100     :param src_reg: Operand register
101     :type src_reg: List[qiskit.circuit.Qubit]
102     :param target_reg: Target register
103     :type target_reg: List[qiskit.circuit.Qubit]
104     """
105     for i in range(len(src_reg)):
106         controlled_addition = register_by_constant_addition(len(
107 target_reg), -2*i).control(1)
108         circ.append(controlled_addition, [src_reg[i]]+target_reg)
109
110 def register_by_register_subtraction_dg(circ: qiskit.QuantumCircuit,
111 src_reg: List[qiskit.circuit.Qubit], target_reg: List[qiskit.circuit.
112 Qubit]):
113     """Build an inverse register-by-register subtraction circuit
114
115     :param circ: Target quantum circuit
116     :type circ: qiskit.QuantumCircuit
117     :param src_reg: Operand register
118     :type src_reg: List[qiskit.circuit.Qubit]
119     :param target_reg: Target register
120     :type target_reg: List[qiskit.circuit.Qubit]
121     """
122     for i in range(len(src_reg))[:-1]:
123         controlled_addition = register_by_constant_addition(len(
124 target_reg), -2*i).inverse().control(1)
125         circ.append(controlled_addition, [src_reg[i]]+target_reg)
126
127 def multiproduct(circ: qiskit.QuantumCircuit, bases: List[List[qiskit.
128 circuit.Qubit]], exponents: List[int], result: List[qiskit.circuit.
129 Qubit], constant: int = 1):
130     """Build a circuit that perform a productory with constant exponents
131
132     :param circ: Target quantum circuit
133     :type circ: qiskit.QuantumCircuit
134     :param bases: List of registers that contains base values
135     :type bases: List[List[qiskit.circuit.Qubit]]
136     :param exponents: List of exponents
137     :type exponents: List[int]
138     :param result: Target register
139     :type result: List[qiskit.circuit.Qubit]
140     :param constant: Constant factor, defaults to 1
141     :type constant: int, optional
142     """
143     #The powers and the productory must be calculated as a sequence of
144 controlled const additions
145     factors_indexes = [] #This list contains a sequence with the index

```

```

of each factor E times, where E is the respective exponent
139     for i in range(len(exponents)):
140         factors_indexes += [i]*exponents[i]
141
142     for t in product(*[list(range(len(bases[factors_indexes[i]]))] for i
143         in range(len(factors_indexes))]): #Each tuple t have the indexes of
the qubits that must be used as control of each register
144         ctrl_idx = {factor_index:set() for factor_index in range(len(
bases))} #This dict will map each factor's index to a set with it's
control qubit's indexes
145         #fill the ctrl dict
146         for i in range(len(t)):
147             ctrl_idx[factors_indexes[i]].add(t[i])
148
149         ctrl_qubits = [] #Control qubits
150         #fill the ctrl_qubits list
151         for factor_index in ctrl_idx.keys():
152             for qubit_index in ctrl_idx[factor_index]:
153                 ctrl_qubits.append(bases[factor_index][qubit_index])
154
155         c = constant*2**sum(t) #Constant to add
156
157         #Append controled const addition
158         my_const_adder = register_by_constant_addition(len(result), c)
159         my_const_adder = my_const_adder.control(len(ctrl_qubits))
160         circ.append(my_const_adder, ctrl_qubits + result)
161
162 def multiproduct_dg(circ: qiskit.QuantumCircuit, bases: List[List[qiskit
.circuit.Qubit]], exponents: List[int], result: List[qiskit.circuit.
Qubit], constant: int = 1):
163     """Build the inverse product circuit
164
165     :param circ: Target quantum circuit
166     :type circ: qiskit.QuantumCircuit
167     :param bases: List of registers that contains base values
168     :type bases: List[List[qiskit.circuit.Qubit]]
169     :param exponents: List of exponents
170     :type exponents: List[int]
171     :param result: Target register
172     :type result: List[qiskit.circuit.Qubit]
173     :param constant: Constant factor, defaults to 1
174     :type constant: int, optional
175     """
176     #The powers and the productory must be calculated as a sequence of
controlled const additions
177     factors_indexes = [] #This list contains a sequence with the index

```

```

of each factor E times, where E is the respective exponent
178     for i in range(len(exponents)):
179         factors_indexes += [i]*exponents[i]
180
181     instructions = []
182
183     for t in product(*[list(range(len(bases[factors_indexes[i]])) for i
184         in range(len(factors_indexes))]): #Each tuple t have the indexes of
the qubits that must be used as control of each register
185         ctrl_idx = {factor_index:set() for factor_index in range(len(
bases))} #This dict will map each factor's index to a set with it's
control qubit's indexes
186         #fill the ctrl dict
187         for i in range(len(t)):
188             ctrl_idx[factors_indexes[i]].add(t[i])
189
190         ctrl_qubits = [] #Control qubits
191         #fill the ctrl_qubits list
192         for factor_index in ctrl_idx.keys():
193             for qubit_index in ctrl_idx[factor_index]:
194                 ctrl_qubits.append(bases[factor_index][qubit_index])
195
196         c = constant*2**sum(t) #Constant to add
197
198         #Append controled const addition
199         my_const_adder = register_by_constant_addition(len(result), -c)
200         my_const_adder = my_const_adder.control(len(ctrl_qubits))
201         instructions.append((my_const_adder, ctrl_qubits + result))
202
203     for ins, qbts in instructions[::-1]:
204         circ.append(ins, qbts)
205
206 # --- Relational circuits ---
207
208 def register_less_than_register(circ: qiskit.QuantumCircuit, left: List[
qiskit.circuit.Qubit], right: List[qiskit.circuit.Qubit], aux: List[
qiskit.circuit.Qubit], result: qiskit.circuit.Qubit):
209     """Build the quantum circuit of the less-than operation
210
211     :param circ: Target quantum circuit
212     :type circ: qiskit.QuantumCircuit
213     :param left: left operand
214     :type left: List[qiskit.circuit.Qubit]
215     :param right: right operand
216     :type right: List[qiskit.circuit.Qubit]
217     :param aux: ancilla qubit
218     :type aux: qiskit.circuit.Qubit

```

```

218     :param result: result qubit
219     :type result: qiskit.circuit.Qubit
220     """
221     xleft = left + aux
222     register_by_register_subtraction(circ, right, xleft)
223     circ.cx(aux, result)
224     register_by_register_subtraction_dg(circ, right, xleft)
225
226 def register_less_than_register_dg(circ: qiskit.QuantumCircuit, left:
    List[qiskit.circuit.Qubit], right: List[qiskit.circuit.Qubit], aux:
    List[qiskit.circuit.Qubit], result: qiskit.circuit.Qubit):
227     """Build the inverse quantum circuit of the less-than operation
228
229     :param circ: Target quantum circuit
230     :type circ: qiskit.QuantumCircuit
231     :param left: left operand
232     :type left: List[qiskit.circuit.Qubit]
233     :param right: right operand
234     :type right: List[qiskit.circuit.Qubit]
235     :param aux: ancilla qubit
236     :type aux: qiskit.circuit.Qubit
237     :param result: result qubit
238     :type result: qiskit.circuit.Qubit
239     """
240     xleft = left + aux
241     register_by_register_addition(circ, right, xleft)
242     circ.cx(aux, result)
243     register_by_register_addition_dg(circ, right, xleft)
244
245 def register_greater_than_register(circ: qiskit.QuantumCircuit, left:
    List[qiskit.circuit.Qubit], right: List[qiskit.circuit.Qubit], aux:
    qiskit.circuit.Qubit, result: qiskit.circuit.Qubit):
246     """Build the quantum circuit of the greater-than operation
247
248     :param circ: Target quantum circuit
249     :type circ: qiskit.QuantumCircuit
250     :param left: left operand
251     :type left: List[qiskit.circuit.Qubit]
252     :param right: right operand
253     :type right: List[qiskit.circuit.Qubit]
254     :param aux: ancilla qubit
255     :type aux: qiskit.circuit.Qubit
256     :param result: result qubit
257     :type result: qiskit.circuit.Qubit
258     """
259     register_less_than_register(circ, right, left, aux, result)
260

```

```

261 def register_greater_than_register_dg(circ: qiskit.QuantumCircuit, left:
    List[qiskit.circuit.Qubit], right: List[qiskit.circuit.Qubit], aux:
    qiskit.circuit.Qubit, result: qiskit.circuit.Qubit):
262     """Build the inverse quantum circuit of the greater-than operation
263
264     :param circ: Target quantum circuit
265     :type circ: qiskit.QuantumCircuit
266     :param left: left operand
267     :type left: List[qiskit.circuit.Qubit]
268     :param right: right operand
269     :type right: List[qiskit.circuit.Qubit]
270     :param aux: ancilla qubit
271     :type aux: qiskit.circuit.Qubit
272     :param result: result qubit
273     :type result: qiskit.circuit.Qubit
274     """
275     register_less_than_register_dg(circ, right, left, aux, result)
276
277 def register_less_than_constant(circ: qiskit.QuantumCircuit, reg: List[
    qiskit.circuit.Qubit], constant: int, aux: List[qiskit.circuit.Qubit
    ], result: qiskit.circuit.Qubit):
278     """Build the quantum circuit of the less-than operation with an
    constant right operand
279
280     :param circ: Target quantum circuit
281     :type circ: qiskit.QuantumCircuit
282     :param reg: left operand
283     :type reg: List[qiskit.circuit.Qubit]
284     :param constant: right operand
285     :type constant: int
286     :param aux: ancilla qubits
287     :type aux: List[qiskit.circuit.Qubit]
288     :param result: result qubit
289     :type result: qiskit.circuit.Qubit
290     """
291     xreg = reg + aux
292     adder = register_by_constant_addition(len(xreg), -constant)
293     circ.append(adder, xreg)
294     circ.cx(reg[-1], result)
295     circ.append(adder.inverse(), xreg)
296
297 def register_less_than_constant_dg(circ: qiskit.QuantumCircuit, reg:
    List[qiskit.circuit.Qubit], constant: int, aux: List[qiskit.circuit.
    Qubit], result: qiskit.circuit.Qubit):
298     """Build the inverse quantum circuit of the less-than operation with
    an constant right operand
299

```

```

300 :param circ: Target quantum circuit
301 :type circ: qiskit.QuantumCircuit
302 :param reg: left operand
303 :type reg: List[qiskit.circuit.Qubit]
304 :param constant: right operand
305 :type constant: int
306 :param aux: ancilla qubits
307 :type aux: List[qiskit.circuit.Qubit]
308 :param result: result qubit
309 :type result: qiskit.circuit.Qubit
310 """
311 xreg = reg + aux
312 adder = register_by_constant_addition(len(xreg), -constant)
313 circ.append(adder.inverse(), xreg)
314 circ.cx(reg[-1], result)
315 circ.append(adder, xreg)
316
317 def register_greater_than_constant(circ: qiskit.QuantumCircuit, reg:
List[qiskit.circuit.Qubit], constant: int, aux: List[qiskit.circuit.
Qubit], result: qiskit.circuit.Qubit):
318     """Build the quantum circuit of the greater-than operation with an
constant right operand
319
320 :param circ: Target quantum circuit
321 :type circ: qiskit.QuantumCircuit
322 :param reg: left operand
323 :type reg: List[qiskit.circuit.Qubit]
324 :param constant: right operand
325 :type constant: int
326 :param aux: ancilla qubits
327 :type aux: List[qiskit.circuit.Qubit]
328 :param result: result qubit
329 :type result: qiskit.circuit.Qubit
330 """
331 xreg = reg + aux
332 adder = register_by_constant_addition(len(xreg), -constant-1)
333 circ.append(adder, xreg)
334 circ.cx(reg[-1], result)
335 circ.x(result)
336 circ.append(adder.inverse(), xreg)
337
338 def register_greater_than_constant_dg(circ: qiskit.QuantumCircuit, reg:
List[qiskit.circuit.Qubit], constant: int, aux: List[qiskit.circuit.
Qubit], result: qiskit.circuit.Qubit):
339     """Build the inverse quantum circuit of the greater-than operation
with an constant right operand
340

```

```

341 :param circ: Target quantum circuit
342 :type circ: qiskit.QuantumCircuit
343 :param reg: left operand
344 :type reg: List[qiskit.circuit.Qubit]
345 :param constant: right operand
346 :type constant: int
347 :param aux: ancilla qubits
348 :type aux: List[qiskit.circuit.Qubit]
349 :param result: result qubit
350 :type result: qiskit.circuit.Qubit
351 """
352 xreg = reg + aux
353 adder = register_by_constant_addition(len(xreg), -constant-1)
354 circ.append(adder.inverse(), xreg)
355 circ.x(result)
356 circ.cx(reg[-1], result)
357 circ.append(adder, xreg)
358
359 def register_equal_register(circ: qiskit.QuantumCircuit, left: List[
    qiskit.circuit.Qubit], right: List[qiskit.circuit.Qubit], aux: List[
    qiskit.circuit.Qubit], result: qiskit.circuit.Qubit):
360     """Build a quantum circuit to the Equal operation between two
    registers
361
362     :param circ: Target quantum circuit
363     :type circ: qiskit.QuantumCircuit
364     :param left: left operand
365     :type left: List[qiskit.circuit.Qubit]
366     :param right: right operand
367     :type right: List[qiskit.circuit.Qubit]
368     :param aux: ancilla qubits
369     :type aux: List[qiskit.circuit.Qubit]
370     :param result: result qubit
371     :type result: qiskit.circuit.Qubit
372     """
373     if len(left) >= len(right):
374         xleft = left
375         xright = right + aux
376     else:
377         xleft = left + aux
378         xright = right
379     assert len(xleft) == len(xright)
380
381     for i in range(len(xleft)):
382         circ.cx(xleft[i], xright[i])
383
384     circ.mcx(xright, result)

```

```

385
386     for i in range(len(xleft))[:-1]:
387         circ.cx(xleft[i], xright[i])
388
389 def register_equal_register_dg(circ: qiskit.QuantumCircuit, left: List[
    qiskit.circuit.Qubit], right: List[qiskit.circuit.Qubit], aux: List[
    qiskit.circuit.Qubit], result: qiskit.circuit.Qubit):
390     """Build an inverse quantum circuit to the Equal operation between
    two registers
391
392     :param circ: Target quantum circuit
393     :type circ: qiskit.QuantumCircuit
394     :param left: left operand
395     :type left: List[qiskit.circuit.Qubit]
396     :param right: right operand
397     :type right: List[qiskit.circuit.Qubit]
398     :param aux: ancilla qubits
399     :type aux: List[qiskit.circuit.Qubit]
400     :param result: result qubit
401     :type result: qiskit.circuit.Qubit
402     """
403     register_equal_register(circ, left, right, aux, result)
404
405 def register_equal_constant(circ: qiskit.QuantumCircuit, reg: List[
    qiskit.circuit.Qubit], constant: int, aux: List[qiskit.circuit.Qubit
    ], result: qiskit.circuit.Qubit):
406     """Build a quantum circuit to the Equal operation between a register
    and a constant
407
408     :param circ: Target circuit
409     :type circ: qiskit.QuantumCircuit
410     :param reg: Register operand
411     :type reg: List[qiskit.circuit.Qubit]
412     :param constant: Const operand
413     :type constant: int
414     :param aux: Ancilla qubits
415     :type aux: List[qiskit.circuit.Qubit]
416     :param result: Result qubit
417     :type result: qiskit.circuit.Qubit
418     """
419     xreg = reg + aux
420     bconst = natural_to_binary(constant, len(reg)+len(aux))
421     for i in range(len(bconst)):
422         if not bconst[i]:
423             circ.x(xreg[i])
424     circ.mcx(reg+aux, result)
425     for i in range(len(bconst)):

```



```

426         if not bconst[i]:
427             circ.x(xreg[i])
428
429 def register_equal_constant_dg(circ: qiskit.QuantumCircuit, reg: List[
    qiskit.circuit.Qubit], constant: int, aux: List[qiskit.circuit.Qubit
    ], result: qiskit.circuit.Qubit):
430     """Build an inverse quantum circuit to the Equal operation between a
    register and a constant
431
432     :param circ: Target circuit
433     :type circ: qiskit.QuantumCircuit
434     :param reg: Register operand
435     :type reg: List[qiskit.circuit.Qubit]
436     :param constant: Const operand
437     :type constant: int
438     :param aux: Ancilla qubits
439     :type aux: List[qiskit.circuit.Qubit]
440     :param result: Result qubit
441     :type result: qiskit.circuit.Qubit
442     """
443     register_equal_constant(circ, reg, constant, aux, result)
444
445 def register_not_equal_register(circ: qiskit.QuantumCircuit, left: List[
    qiskit.circuit.Qubit], right: List[qiskit.circuit.Qubit], aux: List[
    qiskit.circuit.Qubit], result: qiskit.circuit.Qubit):
446     """Build a quantum circuit to the Not-Equal operation between two
    registers
447
448     :param circ: Target circuit
449     :type circ: qiskit.QuantumCircuit
450     :param reg: Register operand
451     :type reg: List[qiskit.circuit.Qubit]
452     :param constant: Const operand
453     :type constant: int
454     :param aux: Ancilla qubits
455     :type aux: List[qiskit.circuit.Qubit]
456     :param result: Result qubit
457     :type result: qiskit.circuit.Qubit
458     """
459     register_equal_register(circ, left, right, aux, result)
460     circ.x(result)
461
462 def register_not_equal_register_dg(circ: qiskit.QuantumCircuit, left:
    List[qiskit.circuit.Qubit], right: List[qiskit.circuit.Qubit], aux:
    List[qiskit.circuit.Qubit], result: qiskit.circuit.Qubit):
463     """Build an inverse quantum circuit to the Not-Equal operation
    between two registers

```

```

464
465     :param circ: Target circuit
466     :type circ: qiskit.QuantumCircuit
467     :param reg: Register operand
468     :type reg: List[qiskit.circuit.Qubit]
469     :param constant: Const operand
470     :type constant: int
471     :param aux: Ancilla qubits
472     :type aux: List[qiskit.circuit.Qubit]
473     :param result: Result qubit
474     :type result: qiskit.circuit.Qubit
475     """
476     circ.x(result)
477     register_equal_register_dg(circ, left, right, aux, result)
478
479 def register_not_equal_constant(circ: qiskit.QuantumCircuit, reg: List[
480     qiskit.circuit.Qubit], constant: int, aux: List[qiskit.circuit.Qubit
481     ], result: qiskit.circuit.Qubit):
482     """Build a quantum circuit to the Not-Equal operation between a
483     register and a constant
484
485     :param circ: Target circuit
486     :type circ: qiskit.QuantumCircuit
487     :param reg: Register operand
488     :type reg: List[qiskit.circuit.Qubit]
489     :param constant: Const operand
490     :type constant: int
491     :param aux: Ancilla qubits
492     :type aux: List[qiskit.circuit.Qubit]
493     :param result: Result qubit
494     :type result: qiskit.circuit.Qubit
495     """
496     register_equal_constant(circ, reg, constant, aux, result)
497     circ.x(result)
498
499 def register_not_equal_constant_dg(circ: qiskit.QuantumCircuit, reg:
500     List[qiskit.circuit.Qubit], constant: int, aux: List[qiskit.circuit.
501     Qubit], result: qiskit.circuit.Qubit):
502     """Build an inverse quantum circuit to the Not-Equal operation
503     between a register and a constant
504
505     :param circ: Target circuit
506     :type circ: qiskit.QuantumCircuit
507     :param reg: Register operand
508     :type reg: List[qiskit.circuit.Qubit]
509     :param constant: Const operand
510     :type constant: int

```

```
505 :param aux: Ancilla qubits
506 :type aux: List[qiskit.circuit.Qubit]
507 :param result: Result qubit
508 :type result: qiskit.circuit.Qubit
509 """
510 circ.x(result)
511 register_equal_constant_dg(circ, reg, constant, aux, result)
```

Listing B.2 – qunits.py

## B.3 Módulo *lexer.py*

```
1 #Filipe Chagas, 2023
2
3 import ply.lex as lex
4
5 #This is a dictionary of reserved language words.
6 #It is necessary to create this dictionary so that lexer does not return
   these tokens as generic identifiers.
7 reserved = {
8     'true': 'TRUE',
9     'false': 'FALSE',
10    'and': 'AND',
11    'or': 'OR',
12    'not': 'NOT',
13    'in': 'IN',
14    'amplify': 'AMPLIFY',
15    'times': 'TIMES',
16 }
17
18 #This is a list with the names of the tokens.
19 tokens = [
20     'NUMBER',
21     'ID',
22     # --- arithmetic ---
23     'PLUS',
24     'MINUS',
25     'MUL',
26     'DIVIDE',
27     'HAT',
28     # --- relational ---
29     'EQUAL',
30     'NEQ',
31     'LT',
32     'GT',
33     # --- others ---
34     'COMMA',
35     'ASSIGN',
```

```

36     'SEMICOLON',
37     'LPAREN',
38     'RPAREN',
39     'LCURLY',
40     'RCURLY',
41     'LBRACKET',
42     'RBRACKET'
43 ] + list(reserved.values())
44
45 #Next, we define the regular expressions for the tokens
46 # --- arithmetic ---
47 t_PLUS = r'\+'
48 t_MINUS = r'\-'
49 t_MUL = r'\*'
50 t_DIVIDE = r'\/'
51 t_HAT = r'\^'
52
53 # --- relational ---
54 t_EQUAL = r'='
55 t_NEQ = r'!='
56 t_LT = r'<'
57 t_GT = r'>'
58
59 # --- others ---
60 t_COMMA = r','
61 t_ASSIGN = r':='
62 t_LPAREN = r'\('
63 t_RPAREN = r'\)'
64 t_LCURLY = r'\{'
65 t_RCURLY = r'\}'
66 t_LBRACKET = r'\['
67 t_RBRACKET = r'\]'
68 t_SEMICOLON = r';'
69
70 #Next, we define the regex of numbers and identifiers (or reserved words
    )
71 def t_NUMBER(t):
72     r'\d+'
73     t.value = int(t.value)
74     return t
75
76 def t_ID(t):
77     r'[a-zA-Z_][a-zA-Z_0-9]*'
78     t.type = reserved.get(t.value, 'ID') #Check for reserved words
79     return t
80
81 #Define a rule so we can track line numbers

```

```

82 def t_newline(t):
83     r'\n+'
84     t.lexer.lineno += len(t.value)
85
86 #A string containing ignored characters (spaces and tabs)
87 t_ignore = ' \t'
88
89 #Defines a custom exception for lexical errors
90 class LexicalError(Exception):
91     def __init__(self, token) -> None:
92         super().__init__(f'Illegal character {token.value[0]}')
93
94 #Error handling rule
95 def t_error(t):
96     raise LexicalError(t)
97
98 #Build the lexer
99 lexer = lex.lex()

```

Listing B.3 – lexer.py

## B.4 Módulo *parser.py*

```

1 #Filipe Chagas, 2023
2
3 from dlqpiller.lexer import *
4 from dlqpiller import ast
5 import ply.yacc as yacc
6
7 #Defines a custom exception for parsing errors
8 class ParsingError(Exception):
9     def __init__(self, line: int, message: str) -> None:
10         self.line = line
11         self.message = message
12         if isinstance(line, int): #Check if line is not None
13             super().__init__(f'Parsing error at line {line}: {message}')
14         else:
15             super().__init__(f'Parsing error at EOF: {message}')
16
17 #Defines the precedence and associativity of unary and binary operators
18 precedence = (
19     ('left', 'OR'),
20     ('left', 'AND'),
21     ('right', 'NOT'),
22     ('left', 'LT', 'GT'),
23     ('left', 'EQUAL', 'NEQ'),
24     ('left', 'PLUS', 'MINUS'),
25     ('left', 'MUL', 'DIVIDE'),

```

```

26     ('right', 'UMINUS'),
27     ('right', 'HAT'),
28 )
29
30 # --- Parsing rules to statements ---
31
32 #Root parsing rule
33 def p_full_code(p):
34     'fullcode : regdefseq amplifyterm'
35     p[0] = ast.FullCode(p.lineno(0), p[1], p[2])
36
37 #Syntax of the amplify terminator
38 def p_amplify_terminator(p):
39     'amplifyterm : AMPLIFY ID NUMBER TIMES'
40     target = p[2]
41     it = p[3]
42
43     if it < 0:
44         raise ParsingError(p.lineno(0), 'The number of amplify
iterations must be greater or equal to 0')
45
46     p[0] = ast.Amplify(p.lineno(0), target, it)
47
48 #Syntax of a sequence of register definitions separated by semicolons
49 def p_regdef_sequence_body(p):
50     'regdefseq : regdef SEMICOLON regdefseq'
51     p[0] = [p[1]] + p[3]
52
53 def p_regdef_sequence_tail(p):
54     'regdefseq : regdef SEMICOLON'
55     p[0] = [p[1]]
56
57 #A register definition statement, that can be by set or by expression
58 def p_register_definition(p):
59     '''regdef : regdefs
60               | regdefx'''
61     p[0] = p[1]
62
63 #Statement for the definition of a register as a set
64 #Example: "myreg[8] in {1, 2, 3}" defines an 8-bit register as a
superposition of 1, 2 and 3
65 def p_register_definition_set(p):
66     'regdefs : ID LBRACKET NUMBER RBRACKET IN LCURLY expseq RCURLY'
67     id = p[1]
68     n = p[3]
69     seq = p[7]
70

```

```

71     if n <= 0:
72         raise ParsingError(p.lineno(0), 'Register\'s size must be
           greater than 0')
73
74     if not all([isinstance(v, int) for v in seq]):
75         raise ParsingError(p.lineno(0), 'A set must be composed only of
           constant values')
76
77     p[0] = ast.RegisterSetDefinition(p.lineno(0), id, n, set(seq))
78
79 #Statement for the definition of a register as an expression
80 #Example: "myreg[8] := b^2 - 4*a*c" defines an 8-bit register as b^2-4*a
       *c
81 def p_register_definition_expression(p):
82     'regdefx : ID LBRACKET NUMBER RBRACKET ASSIGN expression'
83     id = p[1]
84     n = p[3]
85     expr = p[6]
86
87     if n <= 0:
88         raise ParsingError(p.lineno(0), 'Register\'s size must be
           greater than 0')
89
90     if isinstance(expr, (ast.Identifier, int)):
91         raise ParsingError(p.lineno(0), 'dlqpiller currently does not
           accept direct assignments or constants in registers, only logical,
           arithmetic and relational expressions.')
92
93     p[0] = ast.RegisterExpressionDefinition(p.lineno(0), id, n, expr)
94
95
96 # --- Parsing rules to expression sequences ---
97 def p_expression_sequence_fork(p):
98     'expseq : expseq COMMA expression'
99     p[0] = p[1] + [p[3]]
100
101 def p_expression_sequence_tail(p):
102     'expseq : expression'
103     p[0] = [p[1]]
104
105 # --- Parsing rules to logic expressions ---
106 def p_expression_or(p):
107     'expression : expression OR expression'
108     if isinstance(p[1], int) and isinstance(p[3], int):
109         p[0] = int(bool(p[1] % 2) or bool(p[3] % 2))
110     elif isinstance(p[1], ast.Expression) and isinstance(p[3], int):
111         p[0] = 1 if bool(p[3] % 2) else p[1]

```

```

112     elif isinstance(p[1], int) and isinstance(p[3], ast.Expression):
113         p[0] = 1 if bool(p[1] % 2) else p[3]
114     elif isinstance(p[1], ast.Expression) and isinstance(p[3], ast.
Expression):
115         p[0] = ast.Or.merge(p.lineno(0), p[1], p[3])
116     else:
117         raise ParsingError(p.lineno(0), f'It is not possible to apply
the OR operator to types {(type(p[1]), type(p[3]))}')
118
119 def p_expression_and(p):
120     'expression : expression AND expression'
121     if isinstance(p[1], int) and isinstance(p[3], int):
122         p[0] = int(bool(p[1] % 2) and bool(p[3] % 2))
123     elif isinstance(p[1], ast.Expression) and isinstance(p[3], int):
124         p[0] = p[1] if bool(p[3] % 2) else 0
125     elif isinstance(p[1], int) and isinstance(p[3], ast.Expression):
126         p[0] = p[3] if bool(p[1] % 2) else 0
127     elif isinstance(p[1], ast.Expression) and isinstance(p[3], ast.
Expression):
128         p[0] = ast.And.merge(p.lineno(0), p[1], p[3])
129     else:
130         raise ParsingError(p.lineno(0), f'It is not possible to apply
the AND operator to types {(type(p[1]), type(p[3]))}')
131
132 def p_expression_not(p):
133     'expression : NOT expression'
134     if isinstance(p[2], int):
135         p[0] = int(not bool(p[2] % 2))
136     elif isinstance(p[2], (ast.Expression, int)):
137         p[0] = ast.Not(p.lineno(0), p[2])
138     else:
139         raise ParsingError(p.lineno(0), f'It is not possible to apply
the NOT operator to type {type(p[2])}')
140
141 # --- Parsing rules to relational expressions ---
142
143 #Parsing rule to the equal operator ('=')
144 def p_expression_equal(p):
145     'expression : expression EQUAL expression'
146     if isinstance(p[1], int) and isinstance(p[3], int):
147         p[0] = p[1] == p[3]
148     elif isinstance(p[1], (ast.Expression, int)) and isinstance(p[3], (
ast.Expression, int)):
149         p[0] = ast.Equal(p.lineno(0), p[1], p[3])
150     else:
151         raise ParsingError(p.lineno(0), f'It is not possible to apply
the equal operator to types {(type(p[1]), type(p[3]))}')

```



```

152
153 #Parsing rule to the not-equal operator ('!=')
154 def p_expression_not_equal(p):
155     'expression : expression NEQ expression'
156     if isinstance(p[1], int) and isinstance(p[3], int):
157         p[0] = p[1] != p[3]
158     elif isinstance(p[1], (ast.Expression, int)) and isinstance(p[3], (
ast.Expression, int)):
159         p[0] = ast.NotEqual(p.lineno(0), p[1], p[3])
160     else:
161         raise ParsingError(p.lineno(0), f'It is not possible to apply
the not-equal operator to types {(type(p[1]), type(p[3]))}')
162
163 #Parsing rule to the less-than operator ('<')
164 def p_expression_less_than(p):
165     'expression : expression LT expression'
166     if isinstance(p[1], int) and isinstance(p[3], int):
167         p[0] = p[1] < p[3]
168     elif isinstance(p[1], (ast.Expression, int)) and isinstance(p[3], (
ast.Expression, int)):
169         p[0] = ast.LessThan(p.lineno(0), p[1], p[3])
170     else:
171         raise ParsingError(p.lineno(0), f'It is not possible to apply
the less-than operator to types {(type(p[1]), type(p[3]))}')
172
173 #Parsing rule to the greater-than operator ('>')
174 def p_expression_greater_than(p):
175     'expression : expression GT expression'
176     if isinstance(p[1], int) and isinstance(p[3], int):
177         p[0] = p[1] > p[3]
178     elif isinstance(p[1], (ast.Expression, int)) and isinstance(p[3], (
ast.Expression, int)):
179         p[0] = ast.GreaterThan(p.lineno(0), p[1], p[3])
180     else:
181         raise ParsingError(p.lineno(0), f'It is not possible to apply
the greater-than operator to types {(type(p[1]), type(p[3]))}')
182
183 # --- Parsing rules to arithmetic expressions ---
184
185 #Parsing rule to the addition operator ('+')
186 def p_expression_add(p):
187     'expression : expression PLUS expression'
188     if isinstance(p[1], int) and isinstance(p[3], int):
189         p[0] = p[1] + p[3]
190     elif isinstance(p[1], (ast.Expression, int)) and isinstance(p[3], (
ast.Expression, int)):
191         p[0] = ast.Summation.merge_add(p.lineno(0), p[1], p[3])

```

```

192     else:
193         raise ParsingError(p.lineno(0), f'It is not possible to apply
the addition operator to types {(type(p[1]), type(p[3]))}')
194
195 #Parsing rule to the subtraction operator ('-')
196 def p_expression_sub(p):
197     'expression : expression MINUS expression'
198     if isinstance(p[1], int) and isinstance(p[3], int):
199         p[0] = p[1] - p[3]
200     elif isinstance(p[1], (ast.Expression, int)) and isinstance(p[3], (
ast.Expression, int)):
201         p[0] = ast.Summation.merge_sub(p.lineno(0), p[1], p[3])
202     else:
203         raise ParsingError(p.lineno(0), f'It is not possible to apply
the subtraction operator to types {(type(p[1]), type(p[3]))}')
204
205 #Parsing rule to the multiplication operator ('*')
206 def p_expression_mul(p):
207     'expression : expression MUL expression'
208     if isinstance(p[1], int) and isinstance(p[3], int):
209         p[0] = p[1] * p[3]
210     elif isinstance(p[1], (ast.Expression, int)) and isinstance(p[3], (
ast.Expression, int)):
211         p[0] = ast.Product.merge(p.lineno(0), p[1], p[3])
212     else:
213         raise ParsingError(p.lineno(0), f'It is not possible to apply
the product operator to types {(type(p[1]), type(p[3]))}')
214
215 #Parsing rule to the division operator ('^')
216 def p_expression_power(p):
217     'expression : expression HAT expression'
218     if isinstance(p[3], int):
219         if isinstance(p[1], ast.Expression):
220             p[0] = ast.Power(p.lineno(0), p[1], p[3])
221         elif isinstance(p[1], int):
222             p[0] = p[1]**p[3]
223     else:
224         raise ParsingError(p.lineno(0), f'It\'s not possible to
apply the power operator to a base of type {type(p[1])}')
225     else:
226         raise ParsingError(p.lineno(0), 'The power operator can only be
used with constant exponent')
227
228 #Parsing rule to the division operator ('/')
229 def p_expression_division(p):
230     'expression : expression DIVIDE expression'
231     if isinstance(p[1], int) and isinstance(p[3], int):

```

```
232     p[0] = p[1]//p[3]
233     else:
234         raise ParsingError(p.lineno(0), 'The division operator can only
be applied to constant numeric values')
235
236 #Parsing rule to unary minus
237 def p_expression_uminus(p):
238     'expression : MINUS expression %prec UMINUS'
239     if isinstance(p[2], ast.Expression):
240         p[0] = ast.UnaryMinus(p.lineno(0), p[2])
241     elif isinstance(p[2], int):
242         p[0] = -p[2]
243     else:
244         raise ParsingError(p.lineno(0), f'It\'s not possible to apply
the unary minus operator to {type(p[2])}')
245
246 #Parsing rule to expressions in parentheses
247 def p_expression_parentheses(p):
248     'expression : LPAREN expression RPAREN'
249     if isinstance(p[2], int): #If the inner expression is a value,
return the value
250         p[0] = p[2]
251     else:
252         p[0] = ast.Parentheses(p.lineno(0), p[2])
253
254 # --- Parsing rules to values and identifiers ---
255
256 def p_expression_false(p):
257     'expression : FALSE'
258     p[0] = 0
259
260 def p_expression_true(p):
261     'expression : TRUE'
262     p[0] = 1
263
264 def p_expression_number(p):
265     'expression : NUMBER'
266     p[0] = p[1]
267
268 def p_expression_id(p):
269     'expression : ID'
270     p[0] = ast.Identifier(p.lineno(0), p[1])
271
272 #Defines a function to handle syntax errors
273 def p_error(p):
274     if p:
275         raise ParsingError(p.lineno(0), 'Invalid syntax')
```

```

276     else:
277         raise ParsingError(None, 'Invalid syntax')
278
279 #Build the parser
280 parser = yacc.yacc()

```

Listing B.4 – parser.py

## B.5 Módulo *ast.py*

```

1 #Filipe Chagas, 2023
2
3 from typing import *
4 from enum import Enum
5 from typing import Set
6 from dlqpiler import utils, qunits
7 import qiskit
8 import math
9
10 n_bits_const = lambda c: int(math.ceil(math.log2(c))) if c > 0 else 0
11
12 class SynthError(Exception):
13     def __init__(self, line: int, description: str) -> None:
14         self.line = line
15         self.description = description
16         super().__init__(f'Synthesis error at line {line}: {description}')
17
18 class Signal(Enum):
19     POS = True #Positive signal
20     NEG = False #Negative signal
21
22 class ASTNode():
23     def __init__(self, line: int) -> None:
24         """
25         :param line: Line of code
26         :type line: int
27         """
28         assert isinstance(line, int)
29         self.line = line
30
31     def to_dict(self) -> Dict[str, object]:
32         """
33         Recursively convert the AST to a tree of dictionaries
34
35         :return: Tree of dictionaries
36         :rtype: Dict[str, object]
37         """

```

```

38         return dict()
39
40 # --- Expression AST nodes ---
41
42 class Expression(ASTNode):
43     def __init__(self, line: int) -> None:
44         super().__init__(line)
45         self.result = None
46
47     def get_leafs(self) -> Set[str]:
48         """Return a set with all identifiers used in the expression
49
50         :return: self-descriptive
51         :rtype: Set[str]
52         """
53         return set()
54
55     def needs_result_allocation(self) -> bool:
56         """
57         :return: True if the ASTNode needs allocation of result qubits
58         :rtype: bool
59         """
60         return True
61
62     def n_result_qubits(self, quantum_evaluator) -> int:
63         """
64         :param quantum_evaluator: Parent quantum evaluator
65         :type quantum_evaluator: QuantumEvaluator
66         :raises NotImplementedError: self-descriptive
67         :return: Number of necessary result qubits
68         :rtype: int
69         """
70         raise NotImplementedError()
71
72     def alloc_result_qubits(self, quantum_evaluator):
73         """Allocate the result qubits from the quantum evaluator
74
75         :param quantum_evaluator: Parent quantum evaluator
76         :type quantum_evaluator: QuantumEvaluator
77         """
78         assert utils.is_none(self.result)
79         self.result = [quantum_evaluator.alloc_ancilla() for i in range(
80 self.n_result_qubits(quantum_evaluator))]
81
82     def release_result_qubits(self, quantum_evaluator):
83         """Release the clean result qubits

```

```

84         :param quantum_evaluator: Parent quantum evaluator
85         :type quantum_evaluator: QuantumEvaluator
86         """
87         assert not utils.is_none(self.result)
88         for qb in self.result:
89             quantum_evaluator.free_ancilla(qb)
90         self.result = None
91
92     def pre_build(self, quantum_evaluator):
93         """Do the necessary actions before the build operation
94
95         :param quantum_evaluator: Parent quantum evaluator
96         :type quantum_evaluator: QuantumEvaluator
97         """
98         pass
99
100    def build(self, quantum_evaluator):
101        """Build the quantum circuit recursively
102
103        :param quantum_evaluator: Parent quantum evaluator
104        :type quantum_evaluator: QuantumEvaluator
105        :raises NotImplementedError: self-descriptive
106        """
107        raise NotImplementedError()
108
109    def reverse(self, quantum_evaluator):
110        """Build the inverse quantum circuit recursively
111
112        :param quantum_evaluator: Parent quantum evaluator
113        :type quantum_evaluator: QuantumEvaluator
114        :raises NotImplementedError: self-descriptive
115        """
116        raise NotImplementedError()
117
118    class Identifier(Expression):
119        def __init__(self, line: int, label: str) -> None:
120            """
121            :param line: Line of code
122            :type line: int
123            :param label: Text of the identifier
124            :type label: str
125            """
126            super().__init__(line)
127            assert isinstance(label, str)
128            self.label = label
129
130        def get_leafs(self) -> Set[str]:

```

```

131         return {self.label}
132
133     def n_result_qubits(self, quantum_evaluator) -> int:
134         n = quantum_evaluator.get_register_size(self.label)
135         if utils.is_none(n):
136             raise SynthError(self.line, f'Identifier "{self.label}" not
defined')
137         return n
138
139     def needs_result_allocation(self) -> bool:
140         return False
141
142     def to_dict(self) -> Dict[str, object]:
143         return {'type': 'Identifier', 'label': self.label}
144
145     def pre_build(self, quantum_evaluator):
146         qreg = quantum_evaluator.get_qiskit_register(self.label)
147         if utils.is_none(qreg):
148             raise SynthError(self.line, f'Identifier "{self.label}" not
defined')
149         self.result = [qubit for qubit in qreg]
150
151 class Parentheses(Expression):
152     def __init__(self, line: int, inner_expr: Expression) -> None:
153         """
154         :param line: Line of code
155         :type line: int
156         :param inner_expr: Expression in parentheses
157         :type inner_expr: Expression
158         """
159         super().__init__(line)
160         assert isinstance(inner_expr, Expression)
161         self.inner_expr = inner_expr
162
163     def get_leafs(self) -> Set[str]:
164         return self.inner_expr.get_leafs()
165
166     def pre_build(self, quantum_evaluator):
167         self.inner_expr.pre_build(quantum_evaluator)
168
169     def n_result_qubits(self, quantum_evaluator) -> int:
170         return self.inner_expr.n_result_qubits(quantum_evaluator)
171
172     def needs_result_allocation(self) -> bool:
173         return False
174
175     def to_dict(self) -> Dict[str, object]:

```

```

176         return {'type': 'Parentheses', 'inner_expr': self.inner_expr.
177                to_dict()}
178
179     @staticmethod
180     def bypass(expr: Expression) -> Expression:
181         """If expr is a Parentheses node or a chain of multiple
182         Parentheses nodes, it returns the first inner not-Parentheses
183         expression.
184
185         :param expr: self-descriptive
186         :type expr: Expression
187         :return: Inner non-Parentheses expression
188         :rtype: Expression
189         """
190         x = expr
191         while isinstance(x, Parentheses):
192             x = x.inner_expr
193         return x
194
195 # --- Arithmetic expression AST nodes ---
196
197 class ArithmeticExpression(Expression):
198     def __init__(self, line: int) -> None:
199         """
200         :param line: Line of code
201         :type line: int
202         """
203         super().__init__(line)
204
205 class UnaryMinus(ArithmeticExpression):
206     def __init__(self, line: int, inner_expr: Expression) -> None:
207         """
208         :param line: Line of code
209         :type line: int
210         :param inner_expr: Expression to which the unary minus is being
211         applied
212         :type inner_expr: Expression
213         """
214         super().__init__(line)
215         assert isinstance(inner_expr, Expression)
216         self.inner_expr = inner_expr
217
218     def needs_result_allocation(self) -> bool:
219         return False
220
221     def pre_build(self, quantum_evaluator):
222         self.inner_expr.pre_build(quantum_evaluator)

```



```

219
220     def get_leafs(self) -> Set[str]:
221         return self.inner_expr.get_leafs()
222
223     def to_dict(self) -> Dict[str, object]:
224         return {'type': 'UnaryMinus', 'inner_expr': self.inner_expr.
225 to_dict()}
226
227 class Power(ArithmeticExpression):
228     def __init__(self, line: int, base_expr: Expression, exponent: int)
229     -> None:
230         """
231         :param line: Line of code
232         :type line: int
233         :param base_expr: Expression that is used as base
234         :type base_expr: Expression
235         :param exponent: Integer that is used as exponent
236         :type exponent: int
237         """
238         super().__init__(line)
239         assert isinstance(base_expr, Expression)
240         assert isinstance(exponent, int)
241         self.base_expr = base_expr
242         self.exponent = exponent
243
244     def get_leafs(self) -> Set[str]:
245         return self.base_expr.get_leafs()
246
247     def to_dict(self) -> Dict[str, object]:
248         return {'type': 'Power', 'base_expr': self.base_expr.to_dict(),
249 'exponent': self.exponent}
250
251     def n_result_qubits(self, quantum_evaluator) -> int:
252         nb = self.base_expr.n_result_qubits(quantum_evaluator)
253         return nb*self.exponent
254
255     def pre_build(self, quantum_evaluator):
256         self.base_expr.pre_build(quantum_evaluator)
257         self.base_expr = Parentheses.bypass(self.base_expr)
258
259     def build(self, quantum_evaluator) -> List[qiskit.circuit.Qubit]:
260         if self.base_expr.needs_result_allocation():
261             self.base_expr.alloc_result_qubits(quantum_evaluator)
262
263         if not isinstance(self.base_expr, Identifier):
264             self.base_expr.build(quantum_evaluator)

```

```

263     qunits.multiproduct(quantum_evaluator.quantum_circuit, [self.
base_expr.result], [self.exponent], self.result)
264
265     def reverse(self, quantum_evaluator) -> List[qiskit.circuit.Qubit]:
266         qunits.multiproduct_dg(quantum_evaluator.quantum_circuit, [self.
base_expr.result], [self.exponent], self.result)
267
268         if not isinstance(self.base_expr, Identifier):
269             self.base_expr.reverse(quantum_evaluator)
270
271         if self.base_expr.needs_result_allocation():
272             self.base_expr.release_result_qubits(quantum_evaluator)
273
274 class Product(ArithmeticExpression):
275     def __init__(self, line: int, operands: List[Union[Expression, int
]]) -> None:
276         """
277         :param line: Line of code
278         :type line: int
279         :param operands: Operands of the productory
280         :type operands: List[Union[Expression, int]]
281         :param signals: List with the signals of the operands
282         :type signals: List[Signal]
283         """
284         super().__init__(line)
285         assert isinstance(operands, list)
286         assert all([isinstance(op, (Expression, int)) for op in operands
])
287
288         self.operands = operands
289         self.exponents = [1]*len(self.operands)
290         self.const_factor = 1
291         self.filtered_operands = []
292         self.filtered_exponents = []
293
294     @staticmethod
295     def merge(line: int, left: Union[Expression, int], right: Union[
Expression, int]) -> object:
296         """Return a Product object to a pair of operands
297
298         :param line: Line of code
299         :type line: int
300         :param left: Left operand
301         :type left: Union[Expression, int]
302         :param right: Right operand
303         :type right: Union[Expression, int]
304         :return: Product object
305         :rtype: Product

```

```

305     """
306     assert isinstance(left, (Expression, int))
307     assert isinstance(right, (Expression, int))
308     left_operands_list = left.operands if isinstance(left, Product)
309     else [left]
310     right_operands_list = [right]
311     return Product(line, left_operands_list + right_operands_list)
312
313 def get_leafs(self) -> Set[str]:
314     leafs = set()
315     for op in self.operands:
316         if isinstance(op, Expression):
317             leafs = leafs.union(op.get_leafs())
318     return leafs
319
320 def to_dict(self) -> Dict[str, object]:
321     return {
322         'type': 'Product',
323         'operands': [(op.to_dict() if isinstance(op, Expression)
324 else op) for op in self.operands]
325     }
326
327 def n_result_qubits(self, quantum_evaluator) -> int:
328     return sum([self.filtered_operands[i].n_result_qubits(
329 quantum_evaluator)*self.filtered_exponents[i] for i in range(len(self
330 .filtered_operands))]) + n_bits_const(self.const_factor)
331
332 def pre_build(self, quantum_evaluator):
333     #--- merge power operations ---
334     for i in range(len(self.operands)):
335         if isinstance(self.operands[i], int):
336             self.const_factor *= self.operands[i]
337         else:
338             self.operands[i].pre_build(quantum_evaluator)
339             while isinstance(self.operands[i], (Power, Parentheses))
340 :
341                 self.operands[i] = Parentheses.bypass(self.operands[
342 i])
343
344                 if isinstance(self.operands[i], Power):
345                     self.exponents[i] *= self.operands[i].exponent
346                     self.operands[i] = self.operands[i].base_expr
347                 self.filtered_operands.append(self.operands[i])
348                 self.filtered_exponents.append(self.exponents[i])
349
350 def build(self, quantum_evaluator):
351     for op in self.filtered_operands:
352         if op.needs_result_allocation():

```

```

346         op.alloc_result_qubits(quantum_evaluator)
347
348         if not isinstance(op, Identifier):
349             op.build(quantum_evaluator)
350
351         qunits.multiproduct(quantum_evaluator.quantum_circuit, [op.
result for op in self.filtered_operands], self.filtered_exponents,
self.result, self.const_factor)
352
353     def reverse(self, quantum_evaluator):
354         qunits.multiproduct_dg(quantum_evaluator.quantum_circuit, [op.
result for op in self.filtered_operands], self.filtered_exponents,
self.result, self.const_factor)
355
356         for op in self.filtered_operands[::-1]:
357             if not isinstance(op, Identifier):
358                 op.reverse()
359
360         if op.needs_result_allocation():
361             op.release_result_qubits(quantum_evaluator)
362
363 class Summation(ArithmeticExpression):
364     def __init__(self, line: int, operands: List[Union[Expression, int
]], signals: List[Signal]) -> None:
365         """
366         :param line: Line of code
367         :type line: int
368         :param operands: Operands of the summation
369         :type operands: List[Union[Expression, int]]
370         :param signals: List with the signals of the operands
371         :type signals: List[Signal]
372         """
373         super().__init__(line)
374         assert isinstance(operands, list)
375         assert isinstance(signals, list)
376         assert all([isinstance(op, (Expression, int)) for op in operands
])
377         assert all([isinstance(sig, Signal) for sig in signals])
378         self.operands = operands
379         self.signals = signals
380         self.const_term = 0
381         self.filtered_operands = []
382         self.filtered_signals = []
383
384     @staticmethod
385     def merge_add(line: int, left: Union[Expression, int], right: Union[
Expression, int]) -> object:

```

```

386         """Return a Summation object to a pair of addition operands
387
388         :param line: Line of code
389         :type line: int
390         :param left: Left operand
391         :type left: Union[Expression, int]
392         :param right: Right operand
393         :type right: Union[Expression, int]
394         :return: Summation object
395         :rtype: Summation
396         """
397         assert isinstance(left, (Expression, int))
398         assert isinstance(right, (Expression, int))
399         left_operands_list = left.operands if isinstance(left, Summation
400 ) else [left]
401         right_operands_list = [right]
402         left_signals_list = left.signals if isinstance(left, Summation)
403 else [Signal.POS]
404         right_signals_list = [Signal.POS]
405         return Summation(line, left_operands_list + right_operands_list,
406 left_signals_list + right_signals_list)
407
408     @staticmethod
409     def merge_sub(line: int, left: Union[Expression, int], right: Union[
410 Expression, int]) -> object:
411         """Return a Summation object to a pair of subtraction operands
412
413         :param line: Line of code
414         :type line: int
415         :param left: Left operand
416         :type left: Union[Expression, int]
417         :param right: Right operand
418         :type right: Union[Expression, int]
419         :return: Summation object
420         :rtype: Summation
421         """
422         assert isinstance(left, (Expression, int))
423         assert isinstance(right, (Expression, int))
424         left_operands_list = left.operands if isinstance(left, Summation
425 ) else [left]
426         right_operands_list = [right]
427         left_signals_list = left.signals if isinstance(left, Summation)
428 else [Signal.POS]
429         right_signals_list = [Signal.NEG]
430         return Summation(line, left_operands_list + right_operands_list,
431 left_signals_list + right_signals_list)

```

```

426     def get_leafs(self) -> Set[str]:
427         leafs = set()
428         for op in self.operands:
429             if isinstance(op, Expression):
430                 leafs = leafs.union(op.get_leafs())
431         return leafs
432
433     def to_dict(self) -> Dict[str, object]:
434         return {
435             'type': 'Summation',
436             'operands': [(op.to_dict() if isinstance(op, Expression)
437 else op) for op in self.operands],
437             'signals': [( '+' if sig == Signal.POS else '-' ) for sig in
self.signals]
438         }
439
440     def pre_build(self, quantum_evaluator):
441         for i in range(len(self.operands)):
442             if isinstance(self.operands[i], int):
443                 self.const_term += self.operands[i] if self.signals[i]
== Signal.POS else -self.operands[i]
444             else:
445                 self.operands[i].pre_build(quantum_evaluator)
446                 while isinstance(self.operands[i], (Parentheses,
UnaryMinus)):
447                     self.operands[i] = Parentheses.bypass(self.operands[
i])
448                     if isinstance(self.operands[i], UnaryMinus):
449                         self.operands[i] = self.operands[i].inner_expr
450                         self.signals[i] = Signal.POS if self.signals[i]
== Signal.NEG else Signal.NEG
451                     self.filtered_operands.append(self.operands[i])
452                     self.filtered_signals.append(self.signals[i])
453
454     def n_result_qubits(self, quantum_evaluator) -> int:
455         return max([op.n_result_qubits(quantum_evaluator)+1 for op in
self.filtered_operands] + [n_bits_const(self.const_term)])
456
457     def build(self, quantum_evaluator):
458         for i in range(len(self.filtered_operands)):
459             if self.filtered_operands[i].needs_result_allocation():
460                 self.filtered_operands[i].alloc_result_qubits(
quantum_evaluator)
461
462                 if not isinstance(self.filtered_operands[i], Identifier):
463                     self.filtered_operands[i].build(quantum_evaluator)
464

```

```

465         if self.filtered_signals[i] == Signal.POS:
466             qunits.register_by_register_addition(quantum_evaluator.
quantum_circuit, self.filtered_operands[i].result, self.result)
467         else:
468             qunits.register_by_register_subtraction(
quantum_evaluator.quantum_circuit, self.filtered_operands[i].result,
self.result)
469
470     def reverse(self, quantum_evaluator):
471         for i in range(len(self.filtered_operands)):
472             if self.filtered_signals[i] == Signal.POS:
473                 qunits.register_by_register_addition_dg(
quantum_evaluator.quantum_circuit, self.filtered_operands[i].result,
self.result)
474             else:
475                 qunits.register_by_register_subtraction_dg(
quantum_evaluator.quantum_circuit, self.filtered_operands[i].result,
self.result)
476
477             if not isinstance(self.filtered_operands[i], Identifier):
478                 self.filtered_operands[i].reverse(quantum_evaluator)
479
480             if self.filtered_operands[i].needs_result_allocation():
481                 self.filtered_operands[i].release_result_qubits(
quantum_evaluator)
482
483 # --- Relational expression AST nodes ---
484
485 class RelationalExpression(Expression):
486     def __init__(self, line: int, left: Union[Expression, int], right:
Union[Expression, int]) -> None:
487         """
488         :param line: Line of code
489         :type line: int
490         :param left: Left operand
491         :type left: Union[Expression, int]
492         :param right: Right operand
493         :type right: Union[Expression, int]
494         """
495         super().__init__(line)
496         assert isinstance(left, (Expression, int))
497         assert isinstance(right, (Expression, int))
498         self.left = left
499         self.right = right
500         self.aux = None
501         self.mode = '' #can be '', 'rr', 'rc' or 'cr'
502

```

```

503     def get_leafs(self) -> Set[str]:
504         if isinstance(self.left, Expression) and isinstance(self.right,
Expression):
505             return self.left.get_leafs().union(self.right.get_leafs())
506         elif isinstance(self.left, Expression) and isinstance(self.right
, int):
507             return self.left.get_leafs()
508         else:
509             return self.right.get_leafs()
510
511     def to_dict(self) -> Dict[str, object]:
512         return {
513             'type': self.__class__.__name__,
514             'left': self.left if isinstance(self.left, int) else self.
left.to_dict(),
515             'right': self.right if isinstance(self.right, int) else self
.right.to_dict()
516         }
517
518     def n_result_qubits(self, quantum_evaluator) -> int:
519         return 1
520
521     def pre_build(self, quantum_evaluator):
522         self.left = Parentheses.bypass(self.left)
523         self.right = Parentheses.bypass(self.right)
524         if isinstance(self.left, Expression) and isinstance(self.right,
Expression):
525             self.mode = 'rr'
526         elif isinstance(self.left, Expression) and isinstance(self.right
, int):
527             self.mode = 'rc'
528         else:
529             self.mode = 'cr'
530
531 class Equal(RelationalExpression):
532     def __init__(self, line: int, left: Expression | int, right:
Expression | int) -> None:
533         super().__init__(line, left, right)
534
535     def pre_build(self, quantum_evaluator):
536         super().pre_build(quantum_evaluator)
537         if self.mode == 'rr':
538             self.left.pre_build(quantum_evaluator)
539             self.right.pre_build(quantum_evaluator)
540             n = max([self.left.n_result_qubits(quantum_evaluator), self.
right.n_result_qubits(quantum_evaluator)]) - min([self.left.
n_result_qubits(quantum_evaluator), self.right.n_result_qubits(

```



```

quantum_evaluator)])
541         self.aux = [quantum_evaluator.alloc_ancilla() for i in range
(n)]
542     elif self.mode == 'rc':
543         self.left.pre_build(quantum_evaluator)
544         n = max([math.ceil(math.log2(self.right)) - self.left.
n_result_qubits(quantum_evaluator), 0])
545         self.aux = [quantum_evaluator.alloc_ancilla() for i in range
(n)]
546     elif self.mode == 'cr':
547         self.right.pre_build(quantum_evaluator)
548         n = max([math.ceil(math.log2(self.left)) - self.right.
n_result_qubits(quantum_evaluator), 0])
549         self.aux = [quantum_evaluator.alloc_ancilla() for i in range
(n)]
550     else:
551         raise Exception('Undefined mode')
552
553     def build(self, quantum_evaluator):
554         if self.mode == 'rr':
555             if self.left.needs_result_allocation(): self.left.
alloc_result_qubits(quantum_evaluator)
556             if self.right.needs_result_allocation(): self.right.
alloc_result_qubits(quantum_evaluator)
557             if not isinstance(self.left, Identifier): self.left.build(
quantum_evaluator)
558             if not isinstance(self.right, Identifier): self.right.build(
quantum_evaluator)
559             qunits.register_equal_register(quantum_evaluator.
quantum_circuit, self.left.result, self.right.result, self.aux, self.
result[0])
560         elif self.mode == 'rc':
561             if self.left.needs_result_allocation(): self.left.
alloc_result_qubits(quantum_evaluator)
562             if not isinstance(self.left, Identifier): self.left.build(
quantum_evaluator)
563             qunits.register_equal_constant(quantum_evaluator.
quantum_circuit, self.left.result, self.right, self.aux, self.result
[0])
564         elif self.mode == 'cr':
565             if self.right.needs_result_allocation(): self.right.
alloc_result_qubits(quantum_evaluator)
566             if not isinstance(self.right, Identifier): self.right.build(
quantum_evaluator)
567             qunits.register_equal_constant(quantum_evaluator.
quantum_circuit, self.right.result, self.left, self.aux, self.result
[0])

```

```

568         else:
569             raise Exception('Undefined mode')
570
571     def reverse(self, quantum_evaluator):
572         if self.mode == 'rr':
573             qunits.register_equal_register_dg(quantum_evaluator.
quantum_circuit, self.left.result, self.right.result, self.aux, self.
result[0])
574             if not isinstance(self.left, Identifier): self.left.reverse(
quantum_evaluator)
575             if not isinstance(self.right, Identifier): self.right.
reverse(quantum_evaluator)
576             if self.left.needs_result_allocation(): self.left.
release_result_qubits(quantum_evaluator)
577             if self.right.needs_result_allocation(): self.right.
release_result_qubits(quantum_evaluator)
578             elif self.mode == 'rc':
579                 qunits.register_equal_constant_dg(quantum_evaluator.
quantum_circuit, self.left.result, self.right, self.aux, self.result
[0])
580                 if not isinstance(self.left, Identifier): self.left.reverse(
quantum_evaluator)
581                 if self.left.needs_result_allocation(): self.left.
release_result_qubits(quantum_evaluator)
582                 elif self.mode == 'cr':
583                     qunits.register_equal_constant_dg(quantum_evaluator.
quantum_circuit, self.right.result, self.left, self.aux, self.result
[0])
584                     if not isinstance(self.right, Identifier): self.right.
reverse(quantum_evaluator)
585                     if self.right.needs_result_allocation(): self.right.
release_result_qubits(quantum_evaluator)
586             else:
587                 raise Exception('Undefined mode')
588
589 class NotEqual(RelationalExpression):
590     def __init__(self, line: int, left: Expression | int, right:
Expression | int) -> None:
591         super().__init__(line, left, right)
592
593     def pre_build(self, quantum_evaluator):
594         super().pre_build(quantum_evaluator)
595         if self.mode == 'rr':
596             self.left.pre_build(quantum_evaluator)
597             self.right.pre_build(quantum_evaluator)
598             nl = self.left.n_result_qubits(quantum_evaluator)
599             nr = self.right.n_result_qubits(quantum_evaluator)

```

```

600         n = max([nl, nr]) - min([nl, nr])
601         self.aux = [quantum_evaluator.alloc_ancilla() for i in range
(n)]
602         elif self.mode == 'rc':
603             self.left.pre_build(quantum_evaluator)
604             n = max([math.ceil(math.log2(self.right)) - self.left.
n_result_qubits(quantum_evaluator), 0])
605             self.aux = [quantum_evaluator.alloc_ancilla() for i in range
(n)]
606         elif self.mode == 'cr':
607             self.right.pre_build(quantum_evaluator)
608             n = max([math.ceil(math.log2(self.left)) - self.right.
n_result_qubits(quantum_evaluator), 0])
609             self.aux = [quantum_evaluator.alloc_ancilla() for i in range
(n)]
610         else:
611             raise Exception('Undefined mode')
612
613     def build(self, quantum_evaluator):
614         if self.mode == 'rr':
615             if self.left.needs_result_allocation(): self.left.
alloc_result_qubits(quantum_evaluator)
616             if self.right.needs_result_allocation(): self.right.
alloc_result_qubits(quantum_evaluator)
617             if not isinstance(self.left, Identifier): self.left.build(
quantum_evaluator)
618             if not isinstance(self.right, Identifier): self.right.build(
quantum_evaluator)
619             qunits.register_not_equal_register(quantum_evaluator.
quantum_circuit, self.left.result, self.right.result, self.aux, self.
result[0])
620         elif self.mode == 'rc':
621             if self.left.needs_result_allocation(): self.left.
alloc_result_qubits(quantum_evaluator)
622             if not isinstance(self.left, Identifier): self.left.build(
quantum_evaluator)
623             qunits.register_not_equal_constant(quantum_evaluator.
quantum_circuit, self.left.result, self.right, self.aux, self.result
[0])
624         elif self.mode == 'cr':
625             if self.right.needs_result_allocation(): self.right.
alloc_result_qubits(quantum_evaluator)
626             if not isinstance(self.right, Identifier): self.right.build(
quantum_evaluator)
627             qunits.register_not_equal_constant(quantum_evaluator.
quantum_circuit, self.right.result, self.left, self.aux, self.result
[0])

```

```

628         else:
629             raise Exception('Undefined mode')
630
631     def reverse(self, quantum_evaluator):
632         if self.mode == 'rr':
633             qunits.register_not_equal_register_dg(quantum_evaluator.
634 quantum_circuit, self.left.result, self.right.result, self.aux, self.
635 result[0])
636             if not isinstance(self.left, Identifier): self.left.reverse(
637 quantum_evaluator)
638             if not isinstance(self.right, Identifier): self.right.
639 reverse(quantum_evaluator)
640             if self.left.needs_result_allocation(): self.left.
641 release_result_qubits(quantum_evaluator)
642             if self.right.needs_result_allocation(): self.right.
643 release_result_qubits(quantum_evaluator)
644             elif self.mode == 'rc':
645                 qunits.register_not_equal_constant_dg(quantum_evaluator.
646 quantum_circuit, self.left.result, self.right, self.aux, self.result
647 [0])
648                 if not isinstance(self.left, Identifier): self.left.reverse(
649 quantum_evaluator)
650                 if self.left.needs_result_allocation(): self.left.
651 release_result_qubits(quantum_evaluator)
652                 elif self.mode == 'cr':
653                     qunits.register_not_equal_constant_dg(quantum_evaluator.
654 quantum_circuit, self.right.result, self.left, self.aux, self.result
655 [0])
656                     if not isinstance(self.right, Identifier): self.right.
657 reverse(quantum_evaluator)
658                     if self.right.needs_result_allocation(): self.right.
659 release_result_qubits(quantum_evaluator)
660             else:
661                 raise Exception('Undefined mode')
662
663 class LessThan(RelationalExpression):
664     def __init__(self, line: int, left: Expression | int, right:
665 Expression | int) -> None:
666         super().__init__(line, left, right)
667
668     def pre_build(self, quantum_evaluator):
669         super().pre_build(quantum_evaluator)
670         if self.mode == 'rr':
671             self.left.pre_build(quantum_evaluator)
672             self.right.pre_build(quantum_evaluator)
673             nl = self.left.n_result_qubits(quantum_evaluator)
674             nr = self.right.n_result_qubits(quantum_evaluator)

```

```

660         n = (nr - nl if nr > nl else 0) + 1
661         self.aux = [quantum_evaluator.alloc_ancilla() for i in range
(n)]
662     elif self.mode == 'rc':
663         self.left.pre_build(quantum_evaluator)
664         nl = self.left.n_result_qubits(quantum_evaluator)
665         m = nl - max([nl, math.ceil(math.log2(self.right))])
666         n = max([m, 0]) + 1
667         self.aux = [quantum_evaluator.alloc_ancilla() for i in range
(n)]
668     elif self.mode == 'cr':
669         self.right.pre_build(quantum_evaluator)
670         nr = self.right.n_result_qubits(quantum_evaluator)
671         m = nr - max([nr, math.ceil(math.log2(self.left))])
672         n = max([m, 0]) + 1
673         self.aux = [quantum_evaluator.alloc_ancilla() for i in range
(n)]
674     else:
675         raise Exception('Undefined mode')
676
677     def build(self, quantum_evaluator):
678         if self.mode == 'rr':
679             if self.left.needs_result_allocation(): self.left.
alloc_result_qubits(quantum_evaluator)
680             if self.right.needs_result_allocation(): self.right.
alloc_result_qubits(quantum_evaluator)
681             if not isinstance(self.left, Identifier): self.left.build(
quantum_evaluator)
682             if not isinstance(self.right, Identifier): self.right.build(
quantum_evaluator)
683             qunits.register_less_than_register(quantum_evaluator.
quantum_circuit, self.left.result, self.right.result, self.aux, self.
result[0])
684         elif self.mode == 'rc':
685             if self.left.needs_result_allocation(): self.left.
alloc_result_qubits(quantum_evaluator)
686             if not isinstance(self.left, Identifier): self.left.build(
quantum_evaluator)
687             qunits.register_less_than_constant(quantum_evaluator.
quantum_circuit, self.left.result, self.right, self.aux, self.result
[0])
688         elif self.mode == 'cr':
689             if self.right.needs_result_allocation(): self.right.
alloc_result_qubits(quantum_evaluator)
690             if not isinstance(self.right, Identifier): self.right.build(
quantum_evaluator)
691             qunits.register_greater_than_constant(quantum_evaluator.

```

```

quantum_circuit, self.right.result, self.left, self.aux, self.result
[0])
692     else:
693         raise Exception('Undefined mode')
694
695     def reverse(self, quantum_evaluator):
696         if self.mode == 'rr':
697             qunits.register_less_than_register_dg(quantum_evaluator.
quantum_circuit, self.left.result, self.right.result, self.aux, self.
result[0])
698             if not isinstance(self.left, Identifier): self.left.reverse(
quantum_evaluator)
699             if not isinstance(self.right, Identifier): self.right.
reverse(quantum_evaluator)
700             if self.left.needs_result_allocation(): self.left.
release_result_qubits(quantum_evaluator)
701             if self.right.needs_result_allocation(): self.right.
release_result_qubits(quantum_evaluator)
702         elif self.mode == 'rc':
703             qunits.register_less_than_constant_dg(quantum_evaluator.
quantum_circuit, self.left.result, self.right, self.aux, self.result
[0])
704             if not isinstance(self.left, Identifier): self.left.reverse(
quantum_evaluator)
705             if self.left.needs_result_allocation(): self.left.
release_result_qubits(quantum_evaluator)
706         elif self.mode == 'cr':
707             qunits.register_greater_than_constant_dg(quantum_evaluator.
quantum_circuit, self.right.result, self.left, self.aux, self.result
[0])
708             if not isinstance(self.right, Identifier): self.right.
reverse(quantum_evaluator)
709             if self.right.needs_result_allocation(): self.right.
release_result_qubits(quantum_evaluator)
710         else:
711             raise Exception('Undefined mode')
712
713 class GreaterThan(RelationalExpression):
714     def __init__(self, line: int, left: Expression | int, right:
Expression | int) -> None:
715         super().__init__(line, left, right)
716
717     def pre_build(self, quantum_evaluator):
718         super().pre_build(quantum_evaluator)
719         if self.mode == 'rr':
720             self.left.pre_build(quantum_evaluator)
721             self.right.pre_build(quantum_evaluator)

```

```

722         nl = self.left.n_result_qubits(quantum_evaluator)
723         nr = self.right.n_result_qubits(quantum_evaluator)
724         n = (nl - nr if nl > nr else 0) + 1
725         self.aux = [quantum_evaluator.alloc_ancilla() for i in range
(n)]
726     elif self.mode == 'rc':
727         self.left.pre_build(quantum_evaluator)
728         nl = self.left.n_result_qubits(quantum_evaluator)
729         m = nl - max([nl, math.ceil(math.log2(self.right))])
730         n = max([m, 0]) + 1
731         self.aux = [quantum_evaluator.alloc_ancilla() for i in range
(n)]
732     elif self.mode == 'cr':
733         self.right.pre_build(quantum_evaluator)
734         nr = self.right.n_result_qubits(quantum_evaluator)
735         m = nr - max([nr, math.ceil(math.log2(self.left))])
736         n = max([m, 0]) + 1
737         self.aux = [quantum_evaluator.alloc_ancilla() for i in range
(n)]
738     else:
739         raise Exception('Undefined mode')
740
741     def build(self, quantum_evaluator):
742         if self.mode == 'rr':
743             if self.left.needs_result_allocation(): self.left.
alloc_result_qubits(quantum_evaluator)
744             if self.right.needs_result_allocation(): self.right.
alloc_result_qubits(quantum_evaluator)
745             if not isinstance(self.left, Identifier): self.left.build(
quantum_evaluator)
746             if not isinstance(self.right, Identifier): self.right.build(
quantum_evaluator)
747             qunits.register_greater_than_register(quantum_evaluator.
quantum_circuit, self.left.result, self.right.result, self.aux, self.
result[0])
748         elif self.mode == 'rc':
749             if self.left.needs_result_allocation(): self.left.
alloc_result_qubits(quantum_evaluator)
750             if not isinstance(self.left, Identifier): self.left.build(
quantum_evaluator)
751             qunits.register_greater_than_constant(quantum_evaluator.
quantum_circuit, self.left.result, self.right, self.aux, self.result
[0])
752         elif self.mode == 'cr':
753             if self.right.needs_result_allocation(): self.right.
alloc_result_qubits(quantum_evaluator)
754             if not isinstance(self.right, Identifier): self.right.build(

```

```

quantum_evaluator)
755     qunits.register_less_than_constant(quantum_evaluator.
quantum_circuit, self.right.result, self.left, self.aux, self.result
[0])
756     else:
757         raise Exception('Undefined mode')
758
759     def reverse(self, quantum_evaluator):
760         if self.mode == 'rr':
761             qunits.register_greater_than_register_dg(quantum_evaluator.
quantum_circuit, self.left.result, self.right.result, self.aux, self.
result[0])
762             if not isinstance(self.left, Identifier): self.left.reverse(
quantum_evaluator)
763             if not isinstance(self.right, Identifier): self.right.
reverse(quantum_evaluator)
764             if self.left.needs_result_allocation(): self.left.
release_result_qubits(quantum_evaluator)
765             if self.right.needs_result_allocation(): self.right.
release_result_qubits(quantum_evaluator)
766             elif self.mode == 'rc':
767                 qunits.register_greater_than_constant_dg(quantum_evaluator.
quantum_circuit, self.left.result, self.right, self.aux, self.result
[0])
768                 if not isinstance(self.left, Identifier): self.left.reverse(
quantum_evaluator)
769                 if self.left.needs_result_allocation(): self.left.
release_result_qubits(quantum_evaluator)
770                 elif self.mode == 'cr':
771                     qunits.register_less_than_constant_dg(quantum_evaluator.
quantum_circuit, self.right.result, self.left, self.aux, self.result
[0])
772                     if not isinstance(self.right, Identifier): self.right.
reverse(quantum_evaluator)
773                     if self.right.needs_result_allocation(): self.right.
release_result_qubits(quantum_evaluator)
774                 else:
775                     raise Exception('Undefined mode')
776
777 # --- logic expression AST nodes ---
778
779 class LogicExpression(Expression):
780     def __init__(self, line: int) -> None:
781         """
782         :param line: Line of code
783         :type line: int
784         """

```



```

785         super().__init__(line)
786
787     def n_result_qubits(self, quantum_evaluator) -> int:
788         return 1
789
790 class Not(LogicExpression):
791     def __init__(self, line: int, operand: Expression) -> None:
792         """
793         :param line: line of code
794         :type line: int
795         :param operand: self-descriptive
796         :type operand: Expression
797         """
798         super().__init__(line)
799         assert isinstance(operand, Expression)
800         self.operand = operand
801
802     def to_dict(self) -> Dict[str, object]:
803         return {
804             'type': 'Not',
805             'operand': self.operand if isinstance(self.operand, int)
806         }
807
808     def pre_build(self, quantum_evaluator):
809         Parentheses.bypass(self.operand)
810         self.operand.pre_build(quantum_evaluator)
811
812     def build(self, quantum_evaluator):
813         if self.operand.needs_result_allocation():
814             self.operand.alloc_result_qubits(quantum_evaluator)
815         if not isinstance(self.operand, Identifier):
816             self.operand.build(quantum_evaluator)
817         quantum_evaluator.quantum_circuit.cx(self.operand.result[-1],
818 self.result[-1])
819         quantum_evaluator.quantum_circuit.x(self.result[-1])
820
821     def reverse(self, quantum_evaluator):
822         quantum_evaluator.quantum_circuit.x(self.result[-1])
823         quantum_evaluator.quantum_circuit.cx(self.operand.result[-1],
824 self.result[-1])
825         if not isinstance(self.operand, Identifier):
826             self.operand.reverse(quantum_evaluator)
827         if self.operand.needs_result_allocation():
828             self.operand.release_result_qubits(quantum_evaluator)
829
830 class And(LogicExpression):

```

```

829     def __init__(self, line: int, operands: List[Expression]) -> None:
830         """
831         :param line: line of code
832         :type line: int
833         :param operands: self-descriptive
834         :type operands: List[Expression]
835         """
836         super().__init__(line)
837         assert all([isinstance(operand, Expression) for operand in
operands])
838         self.operands = operands
839
840     @staticmethod
841     def merge(line: int, left: Expression, right: Expression) -> object:
842         """Return a And object to a pair of operands
843
844         :param line: Line of code
845         :type line: int
846         :param left: Left operand
847         :type left: Expression
848         :param right: Right operand
849         :type right: Expression
850         :return: Product object
851         :rtype: Product
852         """
853         assert isinstance(left, Expression)
854         assert isinstance(right, Expression)
855         left_operands_list = left.operands if isinstance(left, And) else
[left]
856         right_operands_list = [right]
857         return And(line, left_operands_list + right_operands_list)
858
859     def to_dict(self) -> Dict[str, object]:
860         return {
861             'type': 'And',
862             'operands': [(op if isinstance(op, int) else op.to_dict())
for op in self.operands]
863         }
864
865     def pre_build(self, quantum_evaluator):
866         for i in range(len(self.operands)):
867             self.operands[i] = Parentheses.bypass(self.operands[i])
868             self.operands[i].pre_build(quantum_evaluator)
869
870     def build(self, quantum_evaluator):
871         for i in range(len(self.operands)):
872             if self.operands[i].needs_result_allocation():

```

```

873         self.operands[i].alloc_result_qubits(quantum_evaluator)
874         if not isinstance(self.operands[i], Identifier):
875             self.operands[i].build(quantum_evaluator)
876         quantum_evaluator.quantum_circuit.mcx([op.result[-1] for op in
self.operands], self.result[-1])
877
878     def reverse(self, quantum_evaluator):
879         quantum_evaluator.quantum_circuit.mcx([op.result[-1] for op in
self.operands], self.result[-1])
880         for i in range(len(self.operands)):
881             if not isinstance(self.operands[i], Identifier):
882                 self.operands[i].reverse(quantum_evaluator)
883             if self.operands[i].needs_result_allocation():
884                 self.operands[i].release_result_qubits(quantum_evaluator
)
885
886 class Or(LogicExpression):
887     def __init__(self, line: int, operands: List[Expression]) -> None:
888         """
889         :param line: Line of code
890         :type line: int
891         :param operands: self-descriptive
892         :type operands: List[Expression]
893         """
894         super().__init__(line)
895         assert all([isinstance(operand, Expression) for operand in
operands])
896         self.operands = operands
897
898     @staticmethod
899     def merge(line: int, left: Expression, right: Expression) -> object:
900         """Return a Or object to a pair of operands
901
902         :param line: Line of code
903         :type line: int
904         :param left: Left operand
905         :type left: Expression
906         :param right: Right operand
907         :type right: Expression
908         :return: Product object
909         :rtype: Product
910         """
911         assert isinstance(left, Expression)
912         assert isinstance(right, Expression)
913         left_operands_list = left.operands if isinstance(left, Or) else
[left]
914         right_operands_list = [right]

```

```

915         return Or(line, left_operands_list + right_operands_list)
916
917     def to_dict(self) -> Dict[str, object]:
918         return {
919             'type': 'Or',
920             'operands': [(op if isinstance(op, int) else op.to_dict())
for op in self.operands]
921         }
922
923     def pre_build(self, quantum_evaluator):
924         for i in range(len(self.operands)):
925             self.operands[i] = Parentheses.bypass(self.operands[i])
926             self.operands[i].pre_build(quantum_evaluator)
927
928     def build(self, quantum_evaluator):
929         for i in range(len(self.operands)):
930             if self.operands[i].needs_result_allocation():
931                 self.operands[i].alloc_result_qubits(quantum_evaluator)
932             if not isinstance(self.operands[i], Identifier):
933                 self.operands[i].build(quantum_evaluator)
934             quantum_evaluator.quantum_circuit.x([op.result[-1] for op in
self.operands])
935             quantum_evaluator.quantum_circuit.mcx([op.result[-1] for op in
self.operands], self.result[-1])
936             quantum_evaluator.quantum_circuit.x([op.result[-1] for op in
self.operands])
937             quantum_evaluator.quantum_circuit.x(self.result[-1])
938
939     def reverse(self, quantum_evaluator):
940         quantum_evaluator.quantum_circuit.x(self.result[-1])
941         quantum_evaluator.quantum_circuit.x([op.result[-1] for op in
self.operands])
942         quantum_evaluator.quantum_circuit.mcx([op.result[-1] for op in
self.operands], self.result[-1])
943         quantum_evaluator.quantum_circuit.x([op.result[-1] for op in
self.operands])
944         for i in range(len(self.operands)):
945             if not isinstance(self.operands[i], Identifier):
946                 self.operands[i].reverse(quantum_evaluator)
947             if self.operands[i].needs_result_allocation():
948                 self.operands[i].release_result_qubits(quantum_evaluator
)
949
950 # --- Register definition AST nodes ---
951 class RegisterDefinition(ASTNode):
952     def __init__(self, line: int, name: str, n: int) -> None:
953         """

```

```

954         :param line: Line of code
955         :type line: int
956         :param name: Register's label/name
957         :type name: str
958         :param n: Register's size (number of qubits)
959         :type n: int
960         """
961         super().__init__(line)
962         assert isinstance(name, str)
963         assert isinstance(n, int)
964         self.name = name
965         self.n = n
966
967     class RegisterExpressionDefinition(RegisterDefinition):
968         def __init__(self, line: int, name: str, n: int, expr: Expression)
969         -> None:
970             """
971             :param line: Line of code
972             :type line: int
973             :param name: Register's name
974             :type name: str
975             :param n: Register's size
976             :type n: int
977             :param expr: Target expression
978             :type expr: Expression
979             """
980             super().__init__(line, name, n)
981             assert isinstance(expr, Expression)
982             self.expr = expr
983             self.target = None
984
985         def to_dict(self) -> Dict[str, object]:
986             return {
987                 'type': 'RegisterExpressionDefinition',
988                 'name': self.name,
989                 'size': self.n,
990                 'expr': self.expr.to_dict()
991             }
992
993         def pre_build(self, quantum_evaluator):
994             """Pre-build the inner expression tree
995
996             :param quantum_evaluator: Parent quantum evaluator
997             :type quantum_evaluator: QuantumEvaluator
998             """
999             self.target = [qbit for qbit in quantum_evaluator.
1000 get_qiskit_register(self.name)]

```

```

999         self.expr.pre_build(quantum_evaluator)
1000
1001     def build(self, quantum_evaluator):
1002         """Build the quantum circuit that evaluates the inner expression
1003         and assign the result to the target register
1004
1005         :param quantum_evaluator: Parent quantum evaluator
1006         :type quantum_evaluator: QuantumEvaluator
1007         """
1008         #if self.expr.needs_result_allocation(): self.expr.
1009         alloc_result_qubits(quantum_evaluator)
1010         self.expr.result = self.target
1011         self.expr.build(quantum_evaluator)
1012         #qunits.register_by_register_addition(quantum_evaluator.
1013         quantum_circuit, self.expr.result, self.target)
1014
1015     def reverse(self, quantum_evaluator):
1016         """Build the inverse quantum circuit
1017
1018         :param quantum_evaluator: Parent quantum evaluator
1019         :type quantum_evaluator: QuantumEvaluator
1020         """
1021         #qunits.register_by_register_subtraction(quantum_evaluator.
1022         quantum_circuit, self.expr.result, self.target)
1023         self.expr.reverse(quantum_evaluator)
1024         #if self.expr.needs_result_allocation(): self.expr.
1025         release_result_qubits(quantum_evaluator)
1026
1027 class RegisterSetDefinition(RegisterDefinition):
1028     def __init__(self, line: int, name: str, n: int, values: Set[int])
1029     -> None:
1030         """
1031         :param line: Line of code
1032         :type line: int
1033         :param name: Register's name
1034         :type name: str
1035         :param n: Register's size
1036         :type n: int
1037         :param expr: Target expression
1038         :type expr: Expression
1039         """
1040         super().__init__(line, name, n)
1041         assert all([isinstance(v, int) for v in values])
1042         self.values = values
1043
1044     def to_dict(self) -> Dict[str, object]:
1045         return {

```

```

1040         'type': 'RegisterSetDefinition',
1041         'name': self.name,
1042         'size': self.n,
1043         'values': self.values
1044     }
1045
1046 # --- Terminators ---
1047
1048 class Terminator(ASTNode):
1049     def __init__(self, line: int) -> None:
1050         """
1051         :param line: Line of code
1052         :type line: int
1053         """
1054         super().__init__(line)
1055
1056 class Amplify(Terminator):
1057     def __init__(self, line: int, target: str, iterations: int) -> None:
1058         """
1059         :param line: Line of code
1060         :type line: int
1061         :param target: Label of the target register
1062         :type target: str
1063         :param iterations: Number of iterations of the Grover's search
1064         algorithm
1065         :type iterations: int
1066         """
1067         super().__init__(line)
1068         assert isinstance(target, str)
1069         assert isinstance(iterations, int)
1070         self.target = target
1071         self.it = iterations
1072
1073     def to_dict(self) -> Dict[str, object]:
1074         return {
1075             'type': 'Amplify',
1076             'target': self.target,
1077             'iterations': self.it
1078         }
1079
1080 # --- Full code AST node ---
1081
1082 class FullCode(ASTNode):
1083     def __init__(self, line: int, regdefseq: List[RegisterDefinition],
1084                 terminator: Terminator) -> None:
1085         """
1086         :param line: Line of code

```

```

1085 :type line: int
1086 :param regdefseq: Register definition sequence
1087 :type regdefseq: List[RegisterDefinition]
1088 :param terminator: terminator AST node
1089 :type terminator: Terminator
1090 """
1091 super().__init__(line)
1092 assert isinstance(regdefseq, list)
1093 assert all([isinstance(x, RegisterDefinition) for x in regdefseq
1094 ])
1095 assert isinstance(terminator, Terminator)
1096 self.regdefseq = regdefseq
1097 self.terminator = terminator
1098
1099 def to_dict(self) -> Dict[str, object]:
1100     return {
1101         'type': 'FullCode',
1102         'sequence': [x.to_dict() for x in self.regdefseq],
1103         'terminator': self.terminator.to_dict()
1104     }
1105
1106 def get_reg_names_sizes_and_sets(self) -> List[Tuple[str, int, set
1107 ]]:
1108     """Return a list with a tuple for each defined register. Each
1109     tuple have a label, a size and a set of values.
1110
1111     :return: List of tuples
1112     :rtype: List[Tuple[str, int, set]]
1113     """
1114     return [(reg.name, reg.n, reg.values) if isinstance(reg,
1115 RegisterSetDefinition) else (reg.name, reg.n, None) for reg in self.
1116 regdefseq]
1117
1118 def check_definition_errors(self):
1119     """Check if there are errors of multiple definitions of the same
1120     identifier or missing identifier definitions
1121
1122     :raises SynthError: Identifier already defined
1123     :raises SynthError: Identifier not defined
1124     """
1125     defined_registers = []
1126     for regdef in self.regdefseq:
1127         if regdef.name in defined_registers:
1128             raise SynthError(regdef.line, f'"{regdef.name}" is
1129 already defined')
1130         if isinstance(regdef, RegisterExpressionDefinition):
1131             for leaf in regdef.expr.get_leaves():

```



```

1125         if not leaf in defined_registers:
1126             raise SynthError(regdef.line, f'The identifier {
leaf} is not defined')
1127         defined_registers.append(regdef.name)
1128
1129         if isinstance(self.terminator, Amplify):
1130             if self.terminator.target not in defined_registers:
1131                 raise SynthError(regdef.line, f'The target "{self.
terminator.target}" specified at the amplify terminator is not
defined')

```

Listing B.5 – ast.py

## B.6 Módulo *synth.py*

```

1 #Filipe Chagas, 2023
2
3 import qiskit
4 from qiskit.providers.aer import AerSimulator
5 import pandas as pd
6 from qiskit.circuit.library.data_preparation.state_preparation import
StatePreparation
7 from dlqpiller.ast import FullCode, RegisterExpressionDefinition,
RegisterSetDefinition
8 from dlqpiller import utils
9 from typing import *
10
11 def reg_init_gate(values: Set[int], size: int) -> qiskit.circuit.Gate:
12     """Returns the quantum initialization gate for a set of values
13
14     :param values: Values with which the register should be
initialized
15     :type values: Set[int]
16     :param size: Register size
17     :type size: int
18     :return: StatePreparation gate
19     :rtype: qiskit.circuit.Gate
20     """
21     if utils.is_none(values) or len(values)==0:
22         qc = qiskit.QuantumCircuit(size)
23         return qc.to_gate()
24     else:
25         return StatePreparation(utils.set_to_statevector(values, size))
26
27 def organize_qiskit_result(result_counts: Dict[str, int],
registers_names: List[str], test_function: Callable[[dict], str] =
None) -> pd.DataFrame:

```

```

28     """Organize the results of the execution of a quantum circuit in a
    DataFrame.
29
30     :param result_counts: Counts dict returned by Qiskit.
31     :type result_counts: Dict[str, int]
32     :param registers_names: List with the names of the registers.
33     :type registers_names: List[str]
34     :param registers_dtypes: List with the data types of the registers.
35     :type registers_dtypes: List[QQDTypes]
36     :param test_function: A function that receives a dict with a value
    for each register and return a status about it. Default to None.
37     :type test_function: Callable[[dict], str], optional.
38     :return: DataFrame containing the value of each register in each
    outcome and the frequencies of the outcomes.
39     :rtype: pd.DataFrame
40     """
41     out_dict = {key:[] for key in registers_names+['$freq']} + (['
    $comment'] if isinstance(test_function, Callable) else [])}
42
43     for full_bit_string in result_counts.keys():
44         freq = result_counts[full_bit_string] #absolute frequency of the
    current bit-string
45         reg_bit_string = full_bit_string.split(' ') #separate registers
46
47         #Convert bit-strings to naturals, integers or booleans
48         reg_data_list = []
49         for i in range(len(reg_bit_string)):
50             reg_data_list.append(utils.binary_to_natural([True if c=='1'
    else False for c in reg_bit_string[i]][::-1]))
51
52         #Append results to the output dictionary
53         for i in range(len(reg_bit_string)):
54             out_dict[registers_names[i]].append(reg_data_list[-1-i])
55
56         #Append tests to the output dict
57         if isinstance(test_function, Callable):
58             d = {registers_names[i]:reg_data_list[-1-i] for i in range(
    len(reg_bit_string))}
59             tr = test_function(d)
60             out_dict['$comment'].append(tr)
61
62             out_dict['$freq'].append(freq)
63
64     return pd.DataFrame(out_dict, ).sort_values('$freq', ascending=False
    ).reset_index(drop=True)
65
66 class QuantumEvaluator():

```

```

67     def __init__(self, code: FullCode) -> None:
68         """
69         :param code: Root ASTNode generated by the PLY analysis
70         :type code: FullCode
71         """
72         self.quantum_circuit = qiskit.QuantumCircuit()
73         code.check_definition_errors()
74         self.code = code
75
76         # --- Main registers ---
77         self.main_registers_list = [(name, size, qiskit.QuantumRegister(
size, f'q_{name}')), reg_init_gate(values, size)) for name, size,
values in code.get_reg_names_sizes_and_sets()]
78         self.main_classical_registers_list = [(name, size, qiskit.
ClassicalRegister(size, name), reg_init_gate(values, size)) for name,
size, values in code.get_reg_names_sizes_and_sets()]
79         for i in range(len(self.main_registers_list)):
80             qr = self.main_registers_list[i][2]
81             cr = self.main_classical_registers_list[i][2]
82             self.quantum_circuit.add_register(qr)
83             self.quantum_circuit.add_register(cr)
84
85         # --- Phase qubits ---
86         phase_reg = qiskit.QuantumRegister(size=1, name='phase')
87         self.quantum_circuit.add_register(phase_reg)
88         self.phase_qubit = phase_reg[0]
89
90         # --- Target qubit ---
91         self.target_qubit = self.get_qiskit_register(self.code.
terminator.target)[-1]
92
93         # --- Ancilla qubits ---
94         self.ancilla_qubits = dict() # id-to-object mapping
95         self.clean_ancillas = []
96
97     def get_qiskit_register(self, label: str) -> qiskit.QuantumRegister:
98         """Returns the respective circuit register
99
100         :param label: Register's label (name)
101         :type label: str
102         :return: Qiskit register objects
103         :rtype: qiskit.QuantumRegister
104         """
105         for name, size, reg, ig in self.main_registers_list:
106             if name == label:
107                 return reg
108         return None

```

```

109
110 def get_register_size(self, label: str) -> int:
111     """Returns the respective register's size
112
113     :param label: Register's label (name)
114     :type label: str
115     :return:
116     :rtype: int
117     """
118     for name, size, reg, ig in self.main_registers_list:
119         if name == label:
120             return size
121     return None
122
123 def alloc_ancilla(self) -> qiskit.circuit.AncillaQubit:
124     """Allocate an ancilla qubit.
125
126     :return: Qubit object
127     :rtype: qiskit.circuit.AncillaQubit
128     """
129     if len(self.clean_ancillas) > 0: #If there are available clean
ancillas
130         #Get an existent clean ancilla
131         qubit = self.clean_ancillas[0]
132         del self.clean_ancillas[0]
133     else:
134         reg = qiskit.QuantumRegister(1)
135         qubit = reg[0]
136         self.quantum_circuit.add_register(reg)
137         self.ancilla_qubits[id(qubit)] = qubit
138     return qubit
139
140 def free_ancilla(self, qubit: qiskit.circuit.AncillaQubit):
141     """Release a clean ancilla qubit
142
143     :param qubit: Ancilla to release
144     :type qubit: qiskit.circuit.AncillaQubit
145     """
146     assert id(qubit) in self.ancilla_qubits.keys(), f'The ancilla
qubit {id(qubit)} does not belong to the circuit'
147     assert qubit not in self.clean_ancillas, f'The ancilla qubit {id
(qubit)} is not in use'
148     self.clean_ancillas.append(qubit)
149
150 def initialize_registers(self):
151     """Append the initialization gates to the quantum circuit
152     """

```

```

153         for regdef in self.code.regdefseq:
154             if isinstance(regdef, RegisterSetDefinition):
155                 self.quantum_circuit.append(reg_init_gate(regdef.values,
156                                                             regdef.n), self.get_qiskit_register(regdef.name))
157
158     def revert_registers_initialization(self):
159         """Append the inverce initialization gates to the quantum
160         circuit
161         """
162         for regdef in self.code.regdefseq[::-1]:
163             if isinstance(regdef, RegisterSetDefinition):
164                 self.quantum_circuit.append(reg_init_gate(regdef.values,
165                                                             regdef.n).inverse(), self.get_qiskit_register(regdef.name))
166
167     def build_evaluator(self):
168         """Build a quantum circuit to evaluate the entire code
169         """
170         for regdef in self.code.regdefseq:
171             if isinstance(regdef, RegisterExpressionDefinition):
172                 regdef.build(self)
173
174     def revert_evaluator(self):
175         """Build the inverse evaluation quantum circuit
176         """
177         for regdef in self.code.regdefseq[::-1]:
178             if isinstance(regdef, RegisterExpressionDefinition):
179                 regdef.reverse(self)
180
181     def append_measurements(self):
182         """Append measurement gates
183         """
184         self.quantum_circuit.barrier()
185         for i in range(len(self.main_registers_list)):
186             qr = self.main_registers_list[i][2]
187             cr = self.main_classical_registers_list[i][2]
188             self.quantum_circuit.measure(qr, cr)
189
190     def simulate(self, simulator: AerSimulator, shots=1024,
191                  test_function: Callable[[dict], str] = None) -> pd.DataFrame:
192         """Execute the circuit using a qiskit simulator.
193
194         :param simulator: Qiskit simulator.
195         :type simulator: AerSimulator
196         :param shots: Number of simulation shots, defaults to 1024
197         :type shots: int, optional
198         :param test_function: A function that receives a dict with a
199                             value for each register and return a status about it. Default to

```

```

None.
195         :type test_function: Callable[[dict], str], optional
196         :return: DataFrame generated by the organize_qiskit_result
function.
197         :rtype: pd.DataFrame
198         """
199         result_counts = qiskit.execute(self.quantum_circuit, simulator,
shots=shots).result().get_counts()
200         return organize_qiskit_result(
201             result_counts,
202             registers_names=[reg[0] for reg in self.
main_registers_list],
203             test_function=test_function
204         )
205
206     def get_qubits(self) -> List[qiskit.circuit.Qubit]:
207         """Returns a list with all the qubits in the circuit (except the
phase qubit)
208
209         :return: List of qubits
210         :rtype: List[qiskit.circuit.Qubit]
211         """
212         qubits = []
213         for name, size, reg, gate in self.main_registers_list:
214             for qubit in reg:
215                 qubits.append(qubit)
216
217         for key in self.ancilla_qubits.keys():
218             qubits.append(self.ancilla_qubits[key])
219
220         return qubits
221
222     def build_grover_search(self, iterations: int = 0):
223         """Build the Grover's quantum search algorithm
224
225         :param iterations: number of search iterations, defaults to 0
226         :type iterations: int, optional
227         """
228         assert iterations >= 0
229
230         self.quantum_circuit.h(self.phase_qubit)
231         self.initialize_registers()
232         qubits = self.get_qubits()
233
234         for i in range(iterations):
235             self.build_evaluator()
236             self.quantum_circuit.barrier()

```

```

237         self.quantum_circuit.cz(self.target_qubit, self.phase_qubit)
238         self.quantum_circuit.barrier()
239         self.revert_evaluator()
240
241         #Diffusion operator
242         self.quantum_circuit.barrier()
243         self.revert_registers_initialization()
244         self.quantum_circuit.x(qubits)
245         self.quantum_circuit.z(self.phase_qubit)
246         self.quantum_circuit.mcx(qubits, self.phase_qubit)
247         self.quantum_circuit.z(self.phase_qubit)
248         self.quantum_circuit.x(qubits)
249         self.initialize_registers()
250         self.quantum_circuit.barrier()
251
252
253     self.build_evaluator()
254
255     def build_all(self):
256         """Build the entire quantum circuit
257         """
258         for regdef in self.code.regdefseq:
259             if isinstance(regdef, RegisterExpressionDefinition):
260                 regdef.pre_build(self)
261
262         self.build_grover_search(self.code.terminator.it)
263         self.append_measurements()

```

Listing B.6 – synth.py

## B.7 Módulo *main.py*

```

1  #Filipe Chagas, 2023
2  from typer import Typer
3  from dlqpiler import synth
4  from dlqpiler import parser
5  from ply import yacc
6  from qiskit import Aer
7  import pandas as pd
8  from matplotlib import pyplot as plt
9
10 app = Typer()
11
12 def psim(code: str, shots: int) -> pd.DataFrame:
13     qe = synth.QuantumEvaluator(yacc.parse(code))
14     qe.build_all()
15     return qe.simulate(Aer.get_backend('aer_simulator'), shots=shots)
16

```

```

17 def pplot(code: str):
18     qe = synth.QuantumEvaluator(yacc.parse(code))
19     qe.build_all()
20     qe.quantum_circuit.draw(output='mpl')
21     plt.show()
22
23 def get_qqc(code: str):
24     qe = synth.QuantumEvaluator(yacc.parse(code))
25     qe.build_all()
26     return qe.quantum_circuit
27
28 @app.command()
29 def sim(codefn: str, destfn: str, shots: int):
30     """Execute a simulation of the given code and save it's results to a
31     xlsx file
32
33     :param codefn: Path to the code file
34     :type codefn: str
35     :param destfn: Path to the XLSX file
36     :type destfn: str
37     :param shots: Number of simulation shots
38     :type shots: int
39     """
40     with open(codefn, 'r') as f:
41         code = f.read()
42         result = psim(code, shots)
43         result.to_excel(destfn)
44
45 @app.command()
46 def plot(codefn: str):
47     """Plot the quantum circuit generated for the given code
48
49     :param codefn: Path to the code file
50     :type codefn: str
51     """
52     with open(codefn, 'r') as f:
53         code = f.read()
54         pplot(code)

```

Listing B.7 – main.py